

Geschäftsgründung 1833

Preisgekrönt:

Mainz 1842 · Berlin 1844 · London 1854 · Paris 1855 · London 1862
Paris 1867 · Sidney 1879 · Bologna 1881 · Antwerpen 1885
Chicago 1893 · Brüssel 1897

D^R F. KRANTZ
RHEINISCHES MINERALIEN-CONTOR

VERLAG MINERALOGISCHER UND GEOLOGISCHER
LEHRMITTEL

IN

BONN A. RH.

Katalog Nr 1^b

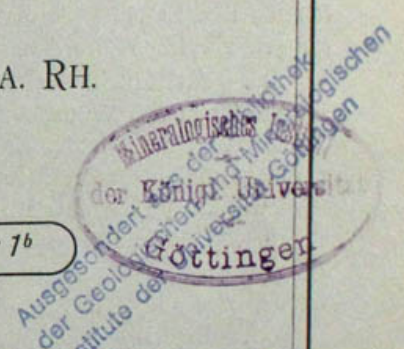
Krystallmodelle und krystallographische Apparate

Crystal-models and crystallographic apparatus

Modèles de cristaux et Appareils cristallographiques

—><—
Es stehen auf Wunsch kostenfrei zur Verfügung:

- Katalog Nr 1^a: Mineralien, Mineralpräparate etc.
" " 2: Palaeontologie, Allgemeine Geologie (ill.)
" " 3: Gypsmodelle (ill.)
" " 4: Gesteine, Dünnschliffe, petrographische Apparate
und Utensilien
nebst Supplement 1. 2. 3.



BEZUGS-BEDINGUNGEN

1. Die Preise verstehen sich ohne Verbindlichkeit und loco Bonn. Die Rechnungsbeträge sind nach drei Monaten in Bonn zahlbar. Für Baarzahlung innerhalb der ersten vier Wochen wird $1\frac{1}{2}\%$ Sconto vergütet. Nach Ablauf der Zahlungsfrist werden die fälligen Beträge durch Sichtwechsel oder Postauftrag eingezogen. Die Beträge der Rechnungen für noch unbekannte Abnehmer werden unter Abzug von $1\frac{1}{2}\%$ Sconto auf die Sendungen nachgenommen.

2. Bei Lieferungen für öffentliche Institute können den Etats-Fonds entsprechende besondere Zahlungsbedingungen vereinbart werden.

3. Ansichtsendungen einzelner Mineralien oder Petre-facten stehen auf Wunsch zur Verfügung. Die nicht gewählten Stücke sind unbeschädigt innerhalb 14 Tagen nach Empfang gut verpackt und kostenfrei zurückzusenden.

4. Krystallmodelle, Mineralpräparate, Dünnschliffe, Gesteine, Gypsummodelle, geologische Modelle aller Art, sowie alle Apparate, Instrumente, Werkzeuge und Utensilien werden nur auf feste Bestellungen geliefert.

5. In den eigenen Werkstätten des Geschäftes können alle nicht in den Katalogen angeführten Krystallmodelle aus Holz, Glas oder Pappe, nach eingesandten krystallographischen Zeichnungen auf Wunsch hergestellt werden. Ebenso werden Gesteinsdünnschliffe und orientirte Mineralschliffe von eingesandtem Material sorgfältig und pünktlich angefertigt.

6. Die Verpackung geschieht unter besonderer Aufsicht und mit grösster Sorgfalt.

7. Das Verpackungsmaterial wird zum Selbstkostenpreise berechnet.

GESCHÄFTSGRÜNDUNG 1833

Preisgekrönt: Mainz 1842 · Berlin 1844 · London 1854
Paris 1855 · London 1862 · Paris 1867 · Sidney 1879
Bologna 1881 · Antwerpen 1885 · Chicago 1893
Brüssel 1897

DR. F. KRANTZ
RHEINISCHES MINERALIEN-CONTOR
VERLAG MINERALOGISCHER UND GEOLOGISCHER
LEHRMITTEL
IN
BONN A. RH.



Katalog Nr 1a

Krystallmodelle und krystallographische Apparate.

Crystal-models and crystallographic apparatus.

Modèles de cristaux et Appareils
cristallographiques.

Es stehen auf Wunsch kostenfrei zur Verfügung:

Katalog Nr 1a: Mineralien und Mineralpräparate
" " 2: Palaeontologie, Allgemeine Geologie (ill.)
" " 3: Gypsummodelle (ill.)
" " 4: Gesteine, Dünnschliffe, petrographische Apparate und
Utensilien
nebst Supplement 1. 2. 3.

CONDITIONS DE VENTE

1. Les **prix** indiqués sont conditionnels; ils s'entendent sur place (à Bonn). Les factures sont payables dans trois mois; sur les payements au comptant dans les quatre premières semaines nous faisons $1\frac{1}{2}\%$ d'escompte. Après l'expiration du délai nous opérons nos rentrées par des traites à vue ou bien nous faisons recouvrer par la poste. Si l'acheteur est inconnu nous envoyons contre remboursement sous deduction de l'escompte de $1\frac{1}{2}\%$.

2. Nous pouvons accorder aux **Etablissements publics** des conditions de paiement compatibles avec leurs budgets.

3. Nous envoyons sur demande des échantillons de minéraux et de pétrifications. Les pièces qui ne conviennent pas, doivent être renvoyées dans 15 jours en bon état, bien emballées et tous frais payées.

4. Nous ne fournissons des **modèles de cristaux**, plaques minces de minéraux, des modèles en plâtre, modèles géologiques, des échantillons de roches et tous les appareils, instruments et ustensiles que sur commande définitive.

5. Sur demande nous ferons exécuter dans notre atelier, d'après les dessins cristallographiques qu'on nous aura envoyés, tous les modèles de cristaux qui ne se trouvent pas dans le catalogue, soit en verre soit en bois soit en carton.

6. **L'emballage** est l'objet des plus grands soins et d'une surveillance toute spéciale.

7. Les frais **d'emballage** sont facturés aux prix de revient.

CONDITIONS OF SALE

1. Our **prices** are fixed without liability and payable at Bonn at three months, with $1\frac{1}{2}\%$ discount on payments made within thirty days. After the expiration of three months, we will draw a draft or postal order for the amounts not then liquidated. Persons not known to us must pay in advance but are allowed a discount of $1\frac{1}{2}\%$ for so doing.

2. **Public institutions** will be given special terms of payment according to their resp. funds.

3. Consignees may return single specimens out of a lot and which do not suit them, within thirty days after their receipt and exchange them for other specimens or receive an allowance therefore, but the return carriage must be at their own expense.

4. **Trial consignments** will be sent to responsible persons with the privilege of examination; those not retained must be returned, well packed, and in good order, and at the expense and risk of the consignee, within two weeks after receipt.

5. **Crystal-models**, rocks, plates of minerals, sections of rocks, plaster-models, geological models and all apparatus, instruments, tools and utensils will be sent only on a positive order.

6. Orders for wooden, glass or paste board-models of crystals not found in the catalogue, but accompanied by accurate drawings, will be promptly executed.

7. Specimens will be **packed** with great care, by experienced workmen and in the best manner and the material used in packing will be charged for at cost.

VORWORT.

Das Studium der Krystallographie hat in neuerer Zeit durch das Erscheinen zahlreicher Abhandlungen und grösserer zusammenfassender Werke wesentlich an Interesse gewonnen.

Damit ist zugleich auch dem methodischen Unterricht in verschiedener Hinsicht eine grössere Wichtigkeit beigelegt worden, und zwar ganz besonders dadurch, dass man bestrebt ist, die Krystallographie von ganz neuen Gesichtspunkten aus zu betrachten. In Folge davon ist auch die Zahl und Art der Lehrmittel, insbesondere der Krystallmodelle sehr gewachsen, da ja grade der Unterricht in der Krystallographie nur durch Zuhilfenahme geeigneter Modelle mit Erfolg betrieben werden kann.

Ich habe mich nun bemüht neue Modelle herzustellen, die insbesondere denjenigen Methoden entsprechen, welche den neuen Lehrbüchern zu Grunde liegen. In diesem Bestreben ist mir die freundliche Unterstützung zahlreicher Fachgelehrten zu Theil geworden, denen ich auch an dieser Stelle meinen verbindlichsten Dank auszusprechen mir erlaube.

Der besseren Uebersicht wegen und um weiteren Kreisen davon Kenntniss zu geben, schien es mir an der Zeit, alle diese Modelle in dem vorliegenden Kataloge gesammelt zum Abdruck zu bringen. Dabei habe ich mich darauf beschränkt, nur dasjenige ausführlich anzuführen, was nicht bereits durch kleinere Specialkataloge bekannt geworden ist, auf die in diesem Kataloge nur verwiesen wird.

Bonn, im Sommer 1899.

DR F. KRANTZ.

PREFACE.

The interest of the study of crystallography has lately been largely improved by the publication of many essays and voluminous text-books.

At the same time the methodical instruction has in many respects received greater attention, specially so by endeavouring to treat the study of crystallography from perfectly new points of view.

Consequently the number and kind of means of instruction, especially of crystal models has been greatly increased, as the successful instruction in crystallography depends particularly on good crystal models.

It has been my aim, to construct new models which are suited for the teaching upon the lines of those methods, on which the lately published text books are based.

In this I have to a great extent been favoured by the aid of many professors of mineralogy; and I take the opportunity to express to them my sincerest thanks.

In order to obtain a better synopsis and also to make these models known to a wider Public, I have compiled this catalogue of models. In the same only those are mentioned which are not already known to the public through special catalogues.

Bonn, Summer 1899.

DR F. KRANTZ.

PRÉFACE.

L'étude de la cristallographie a bien gagné d'intérêt dernièrement par de nombreux traités et d'oeuvres plus étendues.

L'instruction méthodique a en même temps reçu plus d'attention et surtout parce qu'on s'applique à investiguer la cristallographie de tout différents points de vue.

En conséquence la quantité et l'espèce de moyens d'instruction et surtout de modèles de cristaux se sont augmentées considérablement, puisque l'instruction de la cristallographie est presque impossible sans l'aide de bons modèles.

J'ai tâché de construire de nouveaux modèles qui correspondent surtout avec les méthodes sur lesquelles les œuvres modernes sont fondées. Ce travail a été rendu possible par l'aimable aide de bien des professeurs de minéralogie, à qui je prends la liberté d'exprimer ici mes sincères remerciements.

Pour faciliter le choix et pour introduire ces modèles chez le public le temps me parut venu de les énumérer dans ce catalogue.

Je me suis limité à ne mentionner que les modèles qui ne sont pas encore devenus connus par des catalogues spéciaux.

Bonn, 1899.

DR F. KRANTZ.

1. KRYSTALLMODELLE IN HOLZ

Crystal-Models of Wood

Modèles de cristaux en bois

A. Sammlung von 30 Krystallmodellen:

Collection of 30 Crystal-Models :

Collection de 30 modèles de cristaux :

Einfache Hauptformen.

	Grösse
	5 cm 10 cm
	\mathcal{M} \mathcal{M}
I. Reguläres System.	
Nr. 1. O, (111), das Oktaëder	1.— 2.—
" 2. $\infty\infty$, (100), das Hexaëder	1.— 1.65
" 3. ∞O , (110), das Dodekaëder	1.— 2.50
" 4. 202 , (211), ein Ikositetraëder	1.35 3.—
" 5. 20 , (221), ein Triakisoktaëder	1.35 3.—
" 6. ∞O^2 , (210), ein Tetrakishexaëder	1.35 3.—
" 7. $30^{3/2}$, (321), ein Hexakisoktaëder	2.— 4.20
" 8. $\left[\frac{\infty O^2}{2}\right]$, π (210), ein Pentagondodekaëder	1.— 2.50
" 9. $\left[\frac{30^{3/2}}{2}\right]$, π (321), ein Dyakisdodekaëder oder Diploëder	1.35 3.—
" 10. $\frac{O}{2}$, π (111), das Tetraëder	0.85 1.65
" 11. $\frac{202}{2}$, π (211), ein Trigondodekaëder oder Triakistetraëder	1.35 3.—
" 12. $\frac{20}{2}$, π (221), ein Deltoiddodekaëder	1.35 2.50
" 13. $\frac{30^{3/2}}{2}$, π (321), ein Hexakistetraëder	1.35 3.35
II. Hexagonales System.	
" 14. P, (1011), eine hexagonale Pyramide	1.— 2.—
" 15. $P^{3/2}$, (2133), eine dihexagonale Pyramide	1.35 3.35
" 16. ∞P , (1010), oP(0001), das hexagonale Prisma mit der Basis	1.— 1.65
" 17. $\infty P^{3/2}$, (2130), oP(0001), ein dihexagonales Prisma mit der Basis	1.— 2.—
" 18. R, π (1011), ein Rhomboëder	1.— 2.—
" 19. R3, π (2131), ein hexagonales Skalenoëder	1.— 2.50
III. Tetragonales System.	
" 20. P, (111), eine tetragonale Pyramide	1.— 2.—
" 21. P3(313), eine ditetragonale Pyramide	1.35 3.35
" 22. ∞P (110), oP(001), das tetragonale Prisma mit der Basis	0.85 1.65
" 23. $\infty P 3$ (310), oP(001), ein ditetragonales Prisma mit der Basis	1.— 2.—
IV. Rhombisches System.	
" 24. P, (111), eine tetragonale Pyramide	1.— 2.—
" 25. ∞P (110), oP(001), ein rhombisches Prisma mit der Basis	0.85 1.65
" 26. $P\bar{\infty}$ (101), $P\bar{\infty}$ (011), ein Makrodoma mit einem Brachydoma	1.— 2.—
" 27. $\infty P\bar{\infty}$ (100), $\infty P\bar{\infty}$ (010), oP(001), die drei Pinakoïde	1.— 1.65

	Grösse	
	5 cm	10 cm
	M	M
V. Monosymmetrisches System.		
Nr. 28. $\infty P\infty$ (010), die Symmetrieebene mit zwei zu ihr senkrechten Flächen (nach Belieben als Basis $\circ P$ (001), Orthopinakoid $\infty P\infty$ (100) oder als Hemidomen $\pm P\infty$ (101) zu stellen)	0.85	2.—
" 29. $\infty P\infty$ (010), die Symmetrieebene mit zwei zu ihr schiefwinkeligen Flächenpaaren (nach Belieben als Hemipyramiden $\pm P$ (111), oder Prisma ∞P (110), oder Klinodomen $P\infty$ (011) zu stellen)	1.—	3.35
VI. Asymmetrisches System.		
30. $\circ P$ (001), $\infty P\infty$ (100), $\infty P\infty$ (010), die drei Pinakoide (Axenebenen eines asymmetrischen Krystals)	0.85	2.—
Sammlung von 30 Holzmodellen nach vorstehender Aufstellung: Collection of 30 wooden models according to the above arrangement: Collection de 30 modèles en bois d'après l'arrangement précédent:		
Durchschnittsgrösse 5 cm = Nr. 1 M 20.—		
" 10 " = " 2 " " 55.—		

B. Sammlung von 50 Krystallmodellen
mit besonderer Berücksichtigung des mineralogischen Unterrichts
auf höheren Schulen zusammengestellt:
Collection of 50 crystal models
selected for the teaching of mineralogy in public schools
Collection de 50 modèles de cristaux
choisis exprès pour l'instruction dans les écoles secondaires.

	Grösse	
	5 cm	10 cm
I. Reguläres System.		
a) Holoëdrische Formen:		
Nr. 1. O (111), das Oktaeder	1.—	2.—
2. $\infty O\infty$ (100), das Hexaeder	1.—	1.65
3. ∞O (110), das Dodekaeder	1.—	2.50
4. 202, (211), ein Ikositetraeder	1.35	3.—
5. 20, (221), ein Triakisoktaeder	1.35	3.—
6. ∞O_2 , (210), ein Tetrakishexaeder	1.35	3.—
7. 30°_g (321), ein Hexakisoktaeder	2.—	4.20
8. O (111), $\infty O\infty$ (100), ∞O (110)	1.35	3.35
9. $\infty O\infty$ (100), ∞O (110), O (111)	1.35	3.35
10. $\infty O\infty$ (100), 402 (421)	1.65	5.—
11. ∞O (110), 202 (211)	1.65	3.70
12. O (111), Zwilling nach O	2.50	5.—
b) Hemiëdrische Formen:		
" 13. $\frac{O}{2}$, $\infty (111)$, das Tetraeder	0.85	1.65
" 14. $\frac{202}{2}$, $\infty (211)$, ein Trigondodekaeder	1.35	3.—
" 15. $\frac{20}{2}$, $\infty (221)$, ein Deltoiddodekaeder	1.35	2.50
" 16. $\frac{30^{\circ}_g}{2}$, $\infty (321)$, ein Hexakistetraeder	1.65	3.35
" 17. $\left[\frac{\infty O_2}{2}\right]$, $\infty (210)$, ein Pentagondodekaeder	1.—	2.50
" 18. $\left[\frac{30^{\circ}_g}{2}\right]$, $\infty (321)$, ein Dyakisdodekaeder	1.35	3.—

	Grösse	
	5 cm	10 cm
	M	M
II. Hexagonales System.		
a) Holoëdrische Formen:		
Nr. 19. P (1011), hexagonale Pyramide	1.—	2.—
" 20. $P^3/2$ (2133), eine dihexagonale Pyramide	1.35	3.35
" 21. ∞P (1010), $\circ P$ (0001), das hexagonale Prisma mit der Basis	1.—	1.65
" 22. $\infty P^{3/2}$ (2130), $\circ P$ (0001), ein dihexagonales Prisma mit der Basis	1.—	2.—
b) Hemiëdrische Formen:		
" 23. R, $\infty (10\bar{1}1)$, das von der hexagonalen Pyramide Nr. 19 abgeleitete Rhomboëder	1.—	2.—
" 24. R3, $\infty (21\bar{3}1)$, hexagonales Skalenoëder	1.35	3.35
" 25. ∞R , (1011), $-1/2R$, $\infty (01\bar{1}2)$, Kalkspath	1.—	3.—
" 26. R, $\infty (10\bar{1}1)$, Kalkspath, Zwilling nach $-1/2R$, $\infty (0112)$	2.—	5.—
" 27. ∞R (1010) trigonal, $\infty P2$ (1120), $-2R$, $\infty (02\bar{2}1)$, R, $\infty (10\bar{1}1)$, hemimorph, am andern Pol R, $\infty (10\bar{1}1)$, $-1/2R$, $\infty (0112)$	1.35	5.—
" 28. $+R$, $\infty (10\bar{1}1)$, $-R$, $\infty (0111)$, ∞R (1010), $\frac{2P2}{4}$, $\infty (1121)$, $\frac{6P6/5}{4}$, $\infty (5161)$ Quarz, optisch rechtsdrehender Krystall	1.35	4.20
III. Tetragonales System.		
29. P (111), tetragonale Pyramide	1.—	2.—
30. P3 (133), ditetragonale Pyramide	1.35	3.35
" 31. ∞P (110), $\circ P$ (001), das tetragonale Prisma mit der Basis	0.85	1.65
" 32. $\infty P3$ (310), $\circ P$ (001), ditetragonales Prisma mit der Basis	1.—	2.—
" 33. ∞P (110), P (111), Prisma mit Pyramide von derselben Ordnung (Zirkon)	1.—	2.50
" 34. ∞P (110), $\infty P\infty$ (100), P (111), $P\infty$ (101), $\circ P$ (001) (Vesuvian)	1.35	4.20
" 35. P (111), ∞P (110), $\infty P\infty$ (100), Zwilling nach $P\infty$ (101) (Kassiterit)	2.50	5.85
IV. Rhombisches System.		
36. P (111), rhombische Pyramide	1.—	2.—
" 37. ∞P (110), $\circ P$ (001), ein rhombisches Prisma mit der dazu senkrechten Symmetrieebene: nach den vorstehenden Symbolen als Vertikalprisma mit Basis aufgestellt	0.85	1.65
" 38. $P\infty$ (101), $P\infty$ (011); Combination von zwei rhombischen Prismen, nach den vorstehenden Symbolen als Makrodoma und Brachydoma aufgestellt	1.—	2.—
" 39. $\infty P\infty$ (100), $\infty P\infty$ (010), $\circ P$ (001); Combination der drei Symmetrieebenen als Krystallflächen, deren jede beliebig als Makropinakoid (Querfläche), Brachypinakoid (Längsfläche) und Basis gestellt werden kann	1.—	1.65
" 40. P (111), $1/3P$ (113), $\circ P$ (001), $P\infty$ (011) (Schwefel)	1.35	3.70
" 41. $\circ P$ (001), ∞P (110), $P\infty$ (011), $1/2P\infty$ (102) (Baryt)	1.35	3.—
" 42. $\infty P\infty$ (120), ∞P (110), $\circ P$ (001), $P\infty$ (011), P (111), $1/2P$ (112), $1/3P$ (113) (Topas)	1.35	4.20
V. Monosymmetrisches System.		
" 43. Die Symmetrieebene $\infty P\infty$ (010), mit zwei zu ihr senkrechten Flächen, die nach Belieben je als Basis $\circ P$ (001), als Orthopinakoid (Querfläche) $\infty P\infty$ (100), oder als Hemidomen (Orthodomen) $+P\infty$ (101) resp. $-P\infty$ (101) zu stellen sind	0.85	2.—
" 44. Ein zur Symmetrieebene schiefwinkeliges Flächenpaar mit einer zur Symmetrieebene senkrechten Fläche (vergl. Nr. 43); ersteres nach Belieben als Vertikalprisma ∞P (110), als Klinodoma $P\infty$ (011), oder als eine Hemipyramide $+P$ (111) resp. $-P$ (111) zu stellen	0.85	2.—
" 45. $\infty P\infty$ (010), ∞P (110), $-P$ (111); Zwilling nach $\infty P\infty$ (100) (Gyps)	2.—	4.20
" 46. $\infty P\infty$ (100), ∞P (110), $\infty P\infty$ (010), P (111) (Augit)	1.35	3.—

		Grösse
		5 cm 10 cm
	M	M
Nr. 47.	$\infty P(110)$, $\infty P3(130)$, $\infty P\infty(010)$, $P\infty(\bar{1}01)$, $\infty P(001)$ (Adular)	1.35 3.35
" 48.	$\infty P\infty(010)$, $\infty P(110)$, $\infty P(001)$, $2P\infty(201)$; Zwilling nach $\infty P\infty(100)$ (Orthoklas)	2.50 5.—
" 49.	$\infty P(110)$, $\frac{1}{2}P\infty(\bar{1}02)$, $P\infty(\bar{1}01)$, $\infty P(001)$; Durchwachstungszwilling nach $\infty P(001)$ (Titantit [Sphen])	1.65 4.20

VI. Asymmetrisches System.

Nr. 50.	$P_{\bar{1}}(11\bar{1})$, $\infty P'(110)$, $\infty P(\bar{1}\bar{1}0)$, $\infty P\infty(100)$, $\infty P\infty(010)$, $\infty P(001)$ (Kupferservitriol)	1.35 3.35
---------	--	-----------

Sammlung von 50 Holzmodellen nach vorstehender Aufstellung:

Collection of 50 crystal-models according to the above arrangement:

Collection de 50 modèles de cristaux d'après l'arrangement précédent:

Durchschnittsgrösse 5 cm = Nr. 3 . . . M 36.—
10 " = " 4 . . . " 100.—

C. Sammlung von 80 Krystallmodellen

enthaltend die holoëdrischen, hemiëdrischen und tetartoëdrischen Formen, unter gleichzeitiger Hinzufügung der, der neuen, besonders von Groth (Physikal. Krystallographie 1894) und Liebisch (Grundr. der physikal. Krystallographie 1896) angenommenen Eintheilung entsprechenden Bezeichnungen,

zusammengestellt von Professor Dr. C. Hintze

Collecton of 80 crystal-models

containing the holohedral, hemihedral and tetartohedral forms, to which are added the designations of the new arrangement accepted by P. Groth (Physikal. Krystallographie 1894) and Th. Liebisch (Grundriss der physikal. Krystallographie 1896.)

Collection de 80 modèles de cristaux

comprenant les formes holoédrique, hémiédrique et tetartoédrique. On y a ajouté les signes correspondants avec le nouvel arrangement accepté par P. Groth (Physikal. Krystallographie 1894) et Th. Liebisch (Grundriss der physikal. Krystallographie 1896.)

I. Reguläres System.

a) Holoëdrie (hexakisoktaëdrische Klasse):

Nr.	Grösse
	5 cm 10 cm
1. O(111), das Oktaëder	1.— 2.—
2. $\infty O\infty(100)$, das Hexaëder	1.— 1.65
3. $\infty O(110)$, das Dodekaëder	1.— 2.50
4. $202(211)$, ein Ikositetraëder	1.35 3.—
5. $20(221)$, ein Triakisoktaëder	1.35 3.—
6. $\infty O2(210)$, ein Tetrakisoktaëder	1.35 3.—
7. $30^3/2(321)$, ein Hexakisoktaëder	2.— 4.20
8. O(111), $\infty O\infty(100)$	1.15 2.50
9. $\infty O\infty(100)$, O(111)	1.15 2.50
10. $\infty O\infty(100)$, $\infty O(110)$, O(111)	1.15 2.50
11. O(111), 20(221)	1.35 3.35
12. $\infty O\infty(100)$, $\infty O2(210)$ (Fluorit)	1.65 3.35
13. $\infty O\infty(100)$, $202(210)$ (Analcim)	1.35 3.35
14. $\infty O\infty(100)$, $4O2(421)$ (Fluorit)	1.35 3.35
15. $\infty O(110)$, $202(211)$ (Granat)	1.65 5.—
16. O(111), Zwilling nach O(111) (Spinell)	1.65 3.70
	2.50 5.—

	Grösse	
	5 cm 10 cm	
	M	M
b) Tetraëdrische Hemiëdrie (hexakistetraëdrische Klasse):		
Nr. 17. $O\frac{1}{2}, z(111)$, das Tetraëder	0.85 1.65	
" 18. $2O\frac{1}{2}, z(211)$, ein Triakisitetraëder	1.35 3.—	
" 19. $2O\frac{1}{2}, z(221)$, ein Deltoiddodekaëder	1.35 2.50	
" 20. $3O^3/2\frac{1}{2}, z(321)$, ein Hexakisitetraëder	1.65 3.35	
" 21. $O\frac{1}{2}, z(111), \infty O\infty(100)$	1.15 2.50	

c) Pentagonale Hemiëdrie (dyakisdodekaëdrische Klasse):

22. $\left[\infty O2\frac{1}{2}\right], \pi(210)$, ein Pentagondodekaëder	1.— 2.50
" 23. $\left[\frac{3O^3/2}{2}\right], \pi(321)$, ein Dyakisdodekaëder	1.35 3.—
" 24. $\infty O\infty(100)$, $\left[\infty O2\frac{1}{2}\right], \pi(210)$ (Eisenkies)	1.35 3.—
" 25. O(111), $\left[\infty O2\frac{1}{2}\right], \pi(210)$ (Kobaltglanz)	1.35 3.35

d) Plagiëdrie (plagonikositetraëdrische Klasse):

26. $3O^3/2\frac{1}{2}r, \gamma(312)$, rechtes Pentagon-Isokitetraëder	1.35 4.20
---	-----------

e) Tetartoëdrie (tetraëdrisch-pentagondodekaëdrische Klasse):

27. $3O^3/2\frac{1}{4}r, z\pi(123)$, rechtes tetraëdrisches Pentagondodekaëder	1.35 4.20
" 28. $3O^3/2\frac{1}{4}, z\pi(321)$, linkes tetraëdrisches Pentagondodekaëder	1.35 4.20

II. Hexagonales (und trigonales) System.

a) Holoëdrie (dihexagonal-bipyramidal Klasse):

29. P(1011), hexagonale Pyramide (Bipyramide)	1.— 2.—
" 30. P(1011), P2(1122), hexagonale Pyramide mit einer Pyramide der andern Ordnung. Deutbar, den vorstehenden krystallographischen Symbolen entsprechend, als Pyramide erster Ordnung mit der Pyramide zweiter Ordnung von gleicher Höhe, oder als $4/3P2(2243)$ mit P(1011)	1.35 3.—

" 31. $P^3/2(2133)$, dihexagonale Pyramide (Bipyramide)	1.35 3.35
" 32. $\infty P(1010)$, $\infty P(0001)$, das hexagonale Prisma mit der Basis	1.— 1.65

" 33. $\infty P^3/2(2130)$, $\infty P(0001)$, dihexagonales Prisma mit der Basis	1.— 2.—
" 34. $\infty P(1010)$, P(1011). Prisma mit Pyramide von derselben Ordnung	1.35 3.—

" 35. $\infty P(1010)$, $\infty P(0001)$, P(1011), 2P(2021), 2P2(1121), $3P^3/2(2131)$, Beryll	2.— 6.70
---	----------

b) Trapezoëdrische Hemiëdrie (hexagonal-trapezoëdrische Klasse):

36. $P^3/2\frac{1}{2}r, \tau(21\bar{3}3)$, rechtes hexagonales Trapezoëder	1.— 3.—
---	---------

* Eine ungleiche Ausbildung beider Krystallenden würde der „hemimorphen Hemiëdrie“ oder „dihexagonal-pyramidalen Klasse“ entsprechen.

		Grösse	
		5 cm	10 cm
		M	M
c) Pyramidale Hemiëdrie (hexagonal-bipyramidal Klasse):			
Nr. 37.	$\infty P(10\bar{1}0)$, $\circ P(0001)$, $P(10\bar{1}1)$, $2P2(11\bar{2}1)$, $\left[\frac{3P^3/2}{2}\right]$, $\pi(21\bar{3}1)$	1.35	4.20
	(Pyramide, resp. Bipyramide dritter Ordnung) (Apatit).		
d) Rhomboëdrische Hemiëdrie (ditrigonal-skalenoëdrische Klasse):			
" 38.	$R = \frac{P}{2}$, $\pi(10\bar{1}1)$, das der hexagonalen Pyramide Nr. 29 entsprechende Rhomboëder	1.-	2.-
" 39.	$\frac{1}{3}R3 = \frac{P^3/2}{2}$, $\pi(21\bar{3}3)$, das der dihexagonalen Pyramide Nr. 31 entsprechende ditrigonale Skalenoëder	1.35	3.35
" 40.	$\infty R(10\bar{1}0)$, $-1/2R$, $\pi(01\bar{1}2)$ (Kalkspat)	1.-	3.-
" 41.	$R3 \pi(21\bar{3}1)$, $R \pi(10\bar{1}1)$ (Kalkspat)	1.35	3.-
" 42.	$\infty R(10\bar{1}0)$ trigonal, $\infty P2(11\bar{2}0)$, $-2R \pi(02\bar{2}1)$, $R \pi(10\bar{1}1)$, Hemimorph*; am andern Pol $R \pi(10\bar{1}1)$ mit $-1/2R \pi(01\bar{1}2)$, Turmalin	1.35	5.-
e) Trapezoëdrische Tetartoëdrie (trigonal-trapezoëdrische Klasse):			
" 43.	$\frac{P^3/2}{4}r$, $\pi\pi(21\bar{3}3)$, rechtes trigonales Trapezoëder	1.-	3.35
" 44.	$\frac{P^2}{4}$, $\pi\pi(12\bar{2}2)$, trigonale Pyramide (Bipyramide)	1.-	3.35
" 45.	$\frac{\infty P^3/2}{4}$, $\pi\pi(21\bar{3}0)$, $\circ P(0001)$, ditrigonales Prisma mit der Basis	1.-	2.50
" 46.	$\frac{\infty P^2}{4}$, $\pi\pi(11\bar{2}0)$, $\circ P(0001)$, trigonales Prisma mit Basis	0.85	1.65
" 47.	$+R$, $\pi(10\bar{1}1)$, $-R$, $\pi(01\bar{1}1)$, $\infty R(10\bar{1}0)$, $\frac{2P2}{4}r$, $\pi\pi(11\bar{2}1)$, $\frac{6P^6/5}{4}r$, $\pi\pi(51\bar{6}1)$ (Quarz, optisch rechtsdrehender Krystall)	1.35	4.20
f) Rhomboëdrische Tetartoëdrie** (rhomboëdrische Klasse):			
" 48.	$\infty P2(11\bar{2}0)$, $-2R$, $\pi(02\bar{2}1)$, $\frac{-2R^7/6}{2} \left(\frac{7/3P^{11/13}}{4}\right)$, $\pi\pi(14\bar{1}3\bar{1}6)$ (Dioptras)	1.35	4.20
III. Tetragonales System.			
a) Holoëdrie (ditetragonal-bipyramidal Klasse):			
" 49.	$P(111)$, tetragonale Pyramide (Bipyramide)	1.-	2.-
" 50.	$P(111)$, $\circ P(101)$, tetragonale Pyramide mit einer Pyramide der andern Ordnung: deutbar, den vorstehenden krystallographischen Symbolen entsprechend, als Pyramide erster Ordnung mit der Pyramide zweiter Ordnung von gleicher Höhe, oder als $2P\infty(201)$ mit $P(111)$	1.35	3.35
" 51.	$P3(13\bar{3})$, ditetragonale Pyramide (Bipyramide)	1.35	3.35
" 52.	$\infty P(110)$, $\circ P(101)$, das tetragonale Prisma mit der Basis	0.85	1.65

* Zur „ditrigonal-pyramidalen Klasse“ (Groth) oder „zweiten hemimorphen Tetartoëdrie“ (Liebisch) gehörig, wobei die halben Rhomboëder als trigonale Pyramiden (erster Art) und die halben Skalenoëder als ditrigonale Pyramiden bezeichnet werden. Die „erste hemimorphe Tetartoëdrie“ würde geometrisch der Hemimorphie der trapezoëdrischen oder pyramidalen Hemiëdrie entsprechen, wobei die halben Trapezoëder oder halben Bipyramiden dritter Art als hexagonale Pyramiden dritter Art erscheinen würden.

** Der Hemimorphie der rhomboëdrischen oder trapezoëdrischen Tetartoëdrie würde geometrisch die „Ogdoëdrie“ (trigonal-pyramidal Klasse) entsprechen.

	Grösse	
	5 cm	10 cm
	M	M
Nr. 53. $\infty P3(310)$, $\circ P(001)$, ditetragonales Prisma mit der Basis		
" 54.* $\infty P(110)$, $P(111)$, Prisma mit Pyramide von derselben Ordnung (Zirkon)	1.-	2.50
b) Trapezoëdrische Hemiëdrie (trapezoëdrische Klasse):		
" 55. $\frac{P3}{2}r$, $\pi(13\bar{3})$, rechtes tetragonales Trapezoëder	1.-	3.-
c) Pyramidale Hemiëdrie (bipyramidal Klasse):		
" 56. $\infty P\infty(101)$, $P(111)$, $\left[\frac{3P3}{2}\right]$, $\pi(13\bar{1})$ (Pyramide, resp. Bipyramide dritter Ordnung) (Scheelit)	1.35	3.70
d) Sphenoëdrische (sphenoidische) Hemiëdrie (skalenoëdrische Klasse):		
" 57. $\frac{P}{2}r$, $\pi(11\bar{1})$, das der Pyramide Nr. 49 entsprechende Sphenoëder (Bisphenoid)	0.85	3.-
" 58. $\frac{P3}{2}$, $\pi(31\bar{3})$, das der ditetragonalen Pyramide Nr. 51 entsprechende tetragonale Skalenoëder	1.35	3.70
IV. Rhombisches System.		
a) Holoëdrie (bipyramidal Klasse):		
" 59. $P(111)$, eine rhombische Pyramide	1.-	2.-
" 60. $\infty P(110)$, $\circ P(001)$, ein rhombisches Prisma mit der dazu senkrechten Symmetrieebene; nach den vorstehenden Symbolen als Vertikalprisma mit Basis aufgestellt	0.85	1.65
" 61. $P\bar{\infty}(101)$, $P\bar{\infty}(011)$; Combination von zwei rhombischen Prismen; nach den vorstehenden Symbolen als Makrodoma und Brachydoma aufgestellt	1.-	2.-
" 62. $\infty P\bar{\infty}(100)$, $\infty P\bar{\infty}(010)$, $\circ P(001)$; Combination der drei Symmetrieebenen als Krystallflächen, deren jede beliebig als Makropinakoid (Querfläche), Brachypinakoid (Längsfläche) oder Basis gestellt werden kann	1.-	1.65
" 63. $\infty P(110)$, $P(111)$, $\circ P\bar{\infty}(010)$ (Antimonglanz)	1.35	3.35
" 64. $\infty P\bar{\infty}(010)$, $\infty P(110)$, $P\bar{\infty}(011)$, Zwilling nach $\infty P(110)$ (Aragonit)	2.-	5.-
" 65. $\circ P(001)$, $\infty P(110)$, $P\bar{\infty}(011)$, $\frac{1}{2}P\bar{\infty}(102)$ (Baryt)	1.35	3.-
" 66. $\infty P2(120)$, $\infty P(110)$, $\circ P(001)$, $P\bar{\infty}(011)$, $P(111)$, $\frac{1}{2}P(112)$, $\frac{1}{3}P(113)$ (Topas)	1.35	4.20
b) Sphenoidische Hemiëdrie (bisphenoidische Klasse):		
" 67. $\frac{P}{2}r$, $\pi(11\bar{1})$, rechtes rhombisches Sphenoid (Bisphenoid)	1.-	3.35
V. Monosymmetrisches (monoklines) System.		
" 68. Die Symmetrieebene $\infty P\infty(010)$, mit zwei zu ihr senkrechten Flächen, die nach Belieben je als Basis $\circ P(001)$, als Orthopinakoid (Querfläche) $\infty P\infty(100)$ oder als Hemidomen (Orthodomen) $+P\infty(101)$, resp. $-P\infty(101)$ zu stellen sind	0.85	2.-

* Eine ungleiche Ausbildung beider Krystallenden würde der „hemimorphen Hemiëdrie“ oder ditetragonal-pyramidalen Klasse entsprechen.

- Nr. 69. Ein zur Symmetrieebene schiefwinkeliges Flächenpaar mit einer zur Symmetrieebene senkrechten Fläche (vergl. Nr. 68); ersteres nach Belieben als *Vertikalprisma* $\infty P(110)$, als *Klinodoma* $P\infty(011)$, oder als eine Hemipyramide $+P(\bar{1}11)$ resp. $-P(111)$ zu stellen
- " 70. Zwei zur Symmetrieebene schiefwinkelige Flächenpaare (vgl. Nr. 69)
- " 71. $\infty P\infty(010)$, $\infty P(110)$, $-P(111)$, Zwilling nach $\infty P\infty(100)$ (Gyps)
- " 72. $\infty P\infty(100)$, $\infty P(110)$, $\infty P\infty(010)$, $P(\bar{1}11)$ (Augit)
- " 73. $\infty P(110)$, $\infty P\infty(010)$, $P(\bar{1}11)$, $\infty P(001)$ (Hornblende)
- " 74. $\infty P\infty(010)$, $\infty P(110)$, $\infty P(001)$, $P\infty(101)$ (Orthoklas)
- " 75. $\infty P(110)$, $\infty P\bar{3}(130)$, $\infty P\infty(010)$, $P\infty(\bar{1}01)$, $\infty P(001)$ (Adular)
- " 76. $\infty P\infty(010)$, $\infty P(110)$, $\infty P(001)$, $2P\infty(201)$, (Karlsbader) Zwilling nach $\infty P\infty(100)$ (Orthoklas)
- " 77. $\infty P\infty(100)$, $\infty P(001)$, $P\infty(\bar{1}01)$, $\infty P(110)$, hemimorph * (nur links): $P\infty(011)$, $-P(111)$ (Rohrzucker)

VI. Asymmetrisches (triklines) System.

- Nr. 78.** $\infty P(001)$, $\infty P\infty(100)$, $\infty P\bar{3}(010)$. Drei Pinakoide, nach vorstehenden Symbolen den gewählten Axenebenen eines Krystals entsprechend
- " 79. $P(\bar{1}11)$, $\infty P'(110)$, $\infty P(\bar{1}\bar{1}0)$, $\infty P\bar{x}(100)$, $\infty P\bar{x}(010)$, $\infty P(001)$ (Kupfervitriol)
- " 80. $\infty P\bar{x}(010)$, $\infty P(001)$, $\infty P'(110)$, $\infty P(\bar{1}\bar{1}0)$, $P\bar{x}(101)$, $P(\bar{1}1\bar{1})$, $P(\bar{1}11)$, Zwilling nach $\infty P\bar{x}(010)$ (Albit)

Sammlung von 80 Krystallmodellen nach vorstehender Aufstellung:

Collection of 80 crystal-models according to the above arrangement:

Collection de 80 modèles de cristaux d'après l'arrangement précédent:

Durchschnittsgrösse 5 cm = Nr. 5 M 72.—
" 10 " = " 6 " 210.—

D. Sammlung von 150 Krystallmodellen nach Prof. Dr. C. Hintze in Breslau.

Siehe Special-Katalog Nr. 8a.

Zweite revidirte und vermehrte Auflage des älteren, im Jahre 1881 erschienenen Katalogs von 132 Modellen.

Collection of 150 crystal-models
arranged by Prof. Dr. C. Hintze of Breslau.
(cf. Spec. Cat. Nr. 8a.)

IInd revised and improved edition of the catalogue of 132 models (1881).

Collection of 150 modèles de cristaux
arrangée par le Prof. Dr. C. Hintze (Breslau).
(cf. Catal. spec. Nr. 8a.)

II^{me} édition du catalogue de 132 modèles, paru en 1881.

* Zur „sphenoödischen Klasse“ gehörig. Eine ungleiche Ausbildung nach einer in der Symmetrieebene liegenden Richtung (ungleich oben und unten, oder vorn und hinten, aber rechts und links gleich) würde der „monoklinen Hemiëdrie“ oder „domatischen Klasse“ entsprechen. Die Modelle Nr. 67—76 gehören der „monoklinen Holoëdrie“ oder „prismatischen Klasse“ an.

** Nr. 78—80 gehören alle der „triklin-holoëdrischen“ oder „pinakoidalen Klasse“ an. Bei der triklinen Hemiëdrie, der völlig asymmetrischen „hemipinakoidal“ oder „pedialen Klasse“ würden zu den einzelnen Flächen auch keine parallelen Gegenflächen gehören.

Grösse	
5 cm	10 cm
M	M
0.85	2.—
1.—	3.35
2.—	4.20
1.35	3.—
1.35	3.—
1.35	2.50
1.35	3.35
2.50	5.—
1.35	3.—

Sammlung von 150 Krystallmodellen nach diesem Katalog:

In Durchschnittsgrösse von 5 cm = Nr. 7 M 142.—
" " " " 10 " = " 8 " 425.—

E. Sammlung von 56 Modellen verzerrter und pseudosymmetrischer Krystallformen. Zusammengestellt von Prof. Dr. J. Hirschwald.

Diese Sammlung enthält für Uebungszwecke besonders geeignete einfache Krystallmodelle, die theils die gleichwerthigen Flächen in ungleichem Centralabstande zeigen, theils in ihren Combinationsverhältnissen eine pseudosymmetrische Entwicklung darstellen, so dass das System erst unter Anwendung des Anlegegoniometers festgestellt werden kann.

Zu diesen Uebungen eignen sich besonders die mit einem * versehenen Modelle, während die übrigen Combinationen zur ergänzenden Erläuterung der verschiedenen Ausbildungsformen dienen.

Die für eine kleinere Uebungssammlung zu empfehlenden Modelle sind mit ** bezeichnet.

Collection of 56 models
of distorted and pseudosymmetrical crystals
arranged by Prof. Dr. J. Hirschwald.

This collection contains specially instructive models of simple crystals, some of which show the faces belonging to the same form, in various sizes, while others are complex crystals of pseudosymmetrical development.

Those models marked with * are particularly suited for practical investigations, while the others are chiefly provided for the demonstration of different development of forms.

The models marked with ** are recommended for a less comprehensive collection.

Collection de 56 modèles de cristaux
défigurés et pseudosymétriques
arrangée par le Prof. Dr. J. Hirschwald

Cette collection contient des modèles de simples cristaux spécialement instructifs, qui démontrent ou les faces de la même forme en différente largeur ou des combinaisons d'un développement pseudosymétrique.

Les modèles avec * sont surtout recommandés pour l'étude pratique, pendant que les autres combinaisons peuvent servir à la démonstration des différents développements des formes.

Les modèles choisis pour une collection moins compréhensive sont marqués avec **.

I. Reguläres System.

	Durchschnittsgrösse 5 cm
*	4
** 1. Bleiglanz: $\infty\infty\infty$. O. Ungleiche Centraldistanz der einzelnen Flächen	1 —
* 2. Alaun: O. Tafelförmig; hexagonal-rhomboëdrischer Habitus	— 80
** 3. Spinell: O. Monokliner Habitus	— 80
* 4. Spinell: O. Rhombischer "	1 —
** 5. Bleinitrat: O. $\infty\infty\infty$. Tetragonaler Habitus	1 —
** 6. Bleiglanz: O. $\infty\infty\infty$. Stark verzerrt parallel einer Oktaëderkante	1 —
** 7. Granat: $\infty\infty$. Rhombischer Habitus	1 —
* 8. Granat: $\infty\infty$. Tetragonaler "	1 —
* 9. Granat: $\infty\infty$. Monokliner "	1 —

	Durchschnittsgröße 5 cm	M	N
*10. Granat: ∞O . Hexagonal-rhomboödrischer Habitus	1	—	
11. Salmiak: 202. Tetragonaler Habitus	1	35	
12. Silber: 202. Hexagonal-rhomboödrischer Habitus	1	35	
*13. Boracit: O $\infty \infty \infty$. Ungleiche Centraldistanz der Würfelflächen	1	35	
*14. Eisenkies: $\left[\infty O^2 \right]$. Rhombischer Habitus	1	—	
II. Tetragonales System.			
*15. Apophyllit: oP. $\infty P\infty$. P. Ungleiche Centraldistanz der einzelnen Flächen	—	80	
16. Kupferkies: $\frac{P}{2} \frac{P}{2}$. Tafelförmig; hexagonal-rhomboödr. Habitus	—	80	
*17. Scheelit: P. Verzerrung nach einer Polkante. Monokliner Habitus	—	80	
18. Apophyllit: P. oP. $\infty P\infty$. Regulärer Habitus	1	—	
*19. Zirkon: P. $\infty P\infty$. Regulärer Habitus	1	—	
*20. Zirkon: P. $\infty P\infty$. Monokliner Habitus	1	—	
21. Vesuvian: P. $\infty P\infty$. Monokliner Habitus	1	35	
22. Vesuvian: P. $\infty P\infty$. Rhombisch-sphenoidischer Habitus	1	35	
23. Zinnstein: P. $3P\frac{1}{2}$	1	35	
24. Kupferkies: $\frac{2P}{2} \frac{P^2}{2}$. Regulärer Habitus	1	35	
*25. Ammonium-Kupferchlorid: P. oP. $2P \infty P\infty$. Verzerrung nach einer Pyramiden-Polkante	1	35	
III. Rhombisches System.			
26. Bournonit: P. oP. $\infty P\overline{x}$. $\infty P\overline{x}$	1	—	
*27. Bournonit: ∞P . oP. $\infty P\overline{x}$. $\infty P\overline{x}$. $P\overline{x}$. $P\overline{x}$. Tetragonaler Habitus	1	—	
*28. Topas: ∞P . P. ∞P^2 . Monokliner Habitus	1	35	
29. Arsenkies: ∞P . $\frac{1}{4}P\overline{x}$	—	80	
30. Schwerspath: ∞P . oP. $P\overline{x}$. $P\overline{x}$. Monokliner Habitus	1	—	
31. Witherit: ∞P . $P2P\overline{x}$. $\infty P\overline{x}$. Hexagonaler Habitus	1	—	
*32. Schwerspath: ∞P . oP. $P\overline{x}$. Monokliner Habitus	—	80	
*33. Ideelles Modell: ∞P . P. $\infty P\overline{x}$. $\infty P\overline{x}$. oP. Nahezu tetragonale Axenwerthe	1	—	
IV. Monoklines System.			
*34. Titanit: ∞P . $P\infty$. Hexagonal-rhomboödrischer Habitus	—	80	
*35. Augit: $\infty P\infty$. $\infty P\infty$. $P\infty$. $2P$	1	—	
*36. Titanit: ∞P . oP. $P\infty$. Rhombischer Habitus	1	—	
37. Orthoklas: ∞P . oP. $P\infty$. $\infty P\infty$. Rhombischer Habitus	1	—	
38. Hornblende: ∞P . oP. P. $\infty P\infty$. Hexagonal-rhomboödrischer Habitus	1	—	
*39. Hornblende: ∞P . oP. P. $\infty P\infty$. Trikliner Habitus	1	—	
40. Stilbit: $\infty P\infty$. $\infty P\infty$. oP. $P\infty$. $2P$	1	—	
41. Orthoklas: oP. ∞P . $P\infty$. $\infty P\infty$. Verzerrung nach der klinodiagonalen Axe	—	80	
42. Pyrophosphorsaures Natrium: ∞P . — $P\infty$. $P\infty$	1	—	
V. Triklines System.			
*43. Kupferservitriol: ∞P . $\infty P'$. P'	—	80	
**44. Anorthit: ∞P . $\infty P'$. oP. $P\overline{x}$. $\infty P\overline{x}$	1	—	
*45. Dichromsaures Kalium: ∞P . $\infty P'$. $\infty P\overline{x}$. $\infty P\overline{x}$. $P\overline{x}$. $P\overline{x}$. $P\overline{x}$. oP	1	35	
46. Periklin: ∞P . $\infty P'$. oP. $P\overline{x}$. $\infty P\overline{x}$. Monokliner Habitus	1	—	

	Durchschnittsgröße 5 cm	M	N
VI. Hexagonales System.			
*47. Quarz: ∞P . R. — R. Rhombischer Habitus	1	35	
*48. Quarz: ∞P . R. — R. "	1	35	
*49. Quarz: ∞P . R. — R. Monokliner "	1	35	
50. Quarz: ∞P . R. — R. Verzerrung nach einer Dihexaëder-Polkante	1	35	
51. Quarz: ∞P . R. — R. Monokliner Habitus	1	35	
**52. Kalkspath: —2R. "	—	80	
*53. Antimonsilberblende: R. ∞P^2	1	—	
**54. Eisenglanz: oR. R. Tafelförmig nach oR	1	—	
*55. Kalkspath: $-1/2R$. $R2$. ∞R	1	35	
*56. Kalkspath: $R2$. $2/5R$. Monokliner Habitus	1	35	

Anm. Bei den Modellen Nr. 16, 19, 20, 24, 26, 27, 31, 37, 44, 45, 46 sind die Winkelunterschiede derjenigen Kanten, welche an den betreffenden Mineral-species nur wenig differieren, etwas stärker hervorgehoben worden, um die Abweichung mittelst des Anlegegoniometers bestimbar zu machen.

Rem. The differences of those angles, which in nature are very similar to one another, have been emphasized in the models Nr. 16, 19, 20, 24, 26, 27, 31, 37, 44, 45, 46, in order to make it perceptible with the use of the contact goniometer.

Rem. Les différences des angles, qui en réalité sont à peu près égaux, ont été exagérées dans les modèles Nr. 16, 19, 20, 24, 26, 27, 31, 37, 44, 45, 46, pour les rendre perceptible en mesurant les angles avec le contact goniomètre.

Sammlung von 56 Holz-Krystallmodellen nach vorstehender Aufstellung:

Collection of 56 crystal-models according to the above arrangement:

Collection de 56 modèles de cristaux d'après l'arrangement précédent:

Durchschnittsgröße 5 cm = Nr. 9 . . . M 45.—

Einzelne Modelle

können zu den der Liste beigefügten Preisen in beliebiger Auswahl bezogen werden.
Bei Entnahme von mindestens 5 bzw. 10 Stück derselben Nummer tritt eine Preisermäßigung von 10% bzw. 15% ein.

Any single models can be obtained at the above prices.
If 5 resp. 10 models of the same number ar purchased, a discont of 10% resp. 15% is given.

Chaque modèle se vend au prix fixé dans la liste précédente. A l'acheteur de 5 ou 10 modèles du même numéro, nous faisons 10% ou 15% d'escompte.

F. Systematisch-krystallographische Sammlung von 396 Holzmodellen

enthaltend sämmtliche in Prof. P. Groth's Lehrbuch der physikalischen Krystallographie (3. Aufl. Leipzig 1895) abgebildeten Krystallformen und Combinationen. Zusammengestellt von Prof. Dr. P. Groth.

Hierzu Special-Katalog Nr. VIa.

Systematic crystallographical Collection of 396 wooden crystal models containing all the crystal forms and complex crystals reproduced in Prof P. Groth's "Lehrbuch der physikalischen Krystallographie" (3. Aufl. Leipzig 1895).

(Cf. Spec. Cat. Nr. VIa.)

Collection cristallographique systématique de 396 modèles en bois comprenant toutes les formes et combinaisons reproduites dans le "Lehrbuch der physikalischen Krystallographie" (3. Aufl. Leipzig 1895) par Prof. P. Groth.

(Cf. cat. spéc. Nr. VIa.)

Sammlung von 396 Holzmodellen nach diesem Katalog:

Collection of 396 models according to this catalogue:

Collection de 396 modèles d'après ce catalogue:

Durchschnittsgrösse 5 cm = Nr. 10 . . M 500.—
10 " = " 11 . . " 1400.—

**G. Systematisch-kristallographische Sammlung
von 88 colorirten Holzmodellen**
zur Ableitung der hemiédrischen und tetartoédrischen
Formen,
enthaltend sämmtliche diesbezügliche in Prof. Dr. P. Groth's Lehrbuch
der physikalischen Krystallographie (2. Aufl. Leipzig 1885)
abgebildeten Krystalsformen.

Zusammengestellt von Prof. Dr. P. Groth.

Systematic crystallographical collection of 88 coloured crystal models
illustrating the derivation of the hemihedral and tetartoedral forms, containing all
these forms reproduced in Prof. P. Groth's „Lehrbuch der physikalischen Krystallo-
graphie“ (2. Aufl. Leipzig 1885).

Collection crystallographique systématique de 88 modèles en bois colorés
pour illustrer la dérivation des formes hémédriques et tetartoédriques, comprenant
toutes les formes relatives reproduites dans le „Lehrbuch der physikalischen Krystallo-
graphie“ (2. Aufl. Leipzig 1885) par le Prof. P. Groth.

I. Reguläres System.

a) Tetraëdrisch-hemiédrische Formen:

- Nr. 1. Ableitung des Hexakistetraeders aus dem Hexakisoktaeder $3O^{3/2}(321)$. Fig. 186.
- " 2. Ableitung des Triakistetraeders aus dem Icositetraeder $2O2(211)$. Fig. 188.
- " 3. Ableitung des Deltoiddodekaeders aus dem Triakisoktaeder $2O(221)$. Fig. 190.
- " 4. Ableitung des hemiédrischen Tetrakishexaëders $\infty O2 \times (210)$. Fig. 192.
- " 5. Ableitung des hemiédrischen Dodekaeders $\infty O \times (110)$. Fig. 193.
- " 6. Ableitung des hemiédrischen Hexaëders $\infty O\infty \times (100)$. Fig. 194.
- " 7. Ableitung des Tetraeders aus dem Oktaeder $O(111)$. Fig. 195.

b) Pentagonal-hemiédrische Formen:

- " 8. Ableitung des Dyakisdodekaeders aus dem Hexakisoktaeder $3O^{3/2}(321)$. Fig. 209.
- " 9. Ableitung des hemiédrischen Ikositetraeders $2O2 \pi (211)$. Fig. 211.
- " 10. Ableitung des hemiédrischen Triakisoktaeders $2O \pi (221)$. Fig. 212.
- " 11. Ableitung des Pentagondodekaeders aus dem Tetrakishexaëder $\infty O2(210)$. Fig. 213.
- " 12. Ableitung des hemiédrischen Dodekaeders $\infty O \pi (110)$. Fig. 216.
- " 13. Ableitung des hemiédrischen Hexaëders $\infty O\infty \pi (100)$. Fig. 217.
- " 14. Ableitung des hemiédrischen Oktaeders $O \pi (111)$. Fig. 218.

c) Plagiédrisch-hemiédrische Formen:

- " 15. Ableitung des Pentagonikositetraeders aus dem Hexakisoktaeder $3O^{3/2}(321)$. Fig. 225.
- " 16. Ableitung des hemiédrischen Ikositetraeders $2O2\gamma(211)$. Fig. 227.
- " 17. Ableitung des hemiédrischen Triakisoktaeders $2O\gamma(221)$. Fig. 228.
- " 18. Ableitung des hemiédrischen Tetrakishexaëders $\infty O2\gamma(201)$. Fig. 229.
- " 19. Ableitung des hemiédrischen Dodekaeders $\infty O \gamma (110)$. Fig. 230.
- " 20. Ableitung des hemiédrischen Hexaëders $\infty O\infty \gamma (100)$. Fig. 231.
- " 21. Ableitung des hemiédrischen Oktaeders $O \gamma (111)$. Fig. 232.

e) Tetartoëdrische Formen:

- Nr. 22. Ableitung des tetraëdrischen Pentagondodekaeders aus dem Hexakisoktaeder $3O^{3/2}(321)$. Fig. 235—237.
- " 23. Ableitung des tetraëdrischen Pentagondodekaeders aus dem Hexakistetraeder $\frac{3O^{3/2}}{2} \times (321)$. Fig. 238.
- " 24. Ableitung des tetartoëdrischen Triakistetraeders aus dem Icositetraeder $2O2(211)$. Fig. 240.
- " 25. Ableitung des tetartoëdrischen Triakistetraeders aus dem hemiédrischen Triakistetraeder $\frac{2O2}{2} \times (211)$. Fig. 241.
- " 26. Ableitung des tetartoëdrischen Deltoiddodekaeders aus dem Triakisoktaeder $2O(221)$. Fig. 242.
- " 27. Ableitung des tetartoëdrischen Deltoiddodekaeders aus dem hemiédrischen Deltoiddodekaeders $\frac{2O}{2} \times (221)$. Fig. 243.
- " 28. Ableitung des rechten tetartoëdrischen Pentagondodekaeders aus dem Tetrakishexaëder $\infty O2(201)$. Fig. 244.
- " 29. Ableitung des rechten tetartoëdrischen Pentagondodekaeders aus dem hemiédrischen Pentagondodekaeders $\frac{\infty O2}{2} \pi (120)$. Fig. 245.
- " 30. Ableitung des linken tetartoëdrischen Pentagondodekaeders aus dem hemiédrischen Pentagondodekaeders $\left[\frac{\infty O2}{2}\right] \pi (210)$. Fig. 246.
- " 31. Ableitung des tetartoëdrischen Dodekaeders $\infty O \times \pi (110)$. Fig. 247.
- " 32. Ableitung des tetartoëdrischen Hexaëders $\infty O\infty \times \pi (100)$. Fig. 248.
- " 33. Ableitung des tetartoëdrischen Tetraeders aus dem Oktaeder $O(111)$. Fig. 249.
- " 34. Ableitung des tetartoëdrischen Tetraeders aus dem hemiédrischen Tetraeder $\frac{O}{2} \times (111)$. Fig. 250.

II. Hexagonales Krystalsystem.

a) Rhomboëdrisch-hemiédrische Formen:

- " 35. Ableitung des Skalenoeders aus der dihexagonalen Pyramide $P^{3/2}(2133)$. Fig. 291.
- " 36. Ableitung des Rhomboeders aus der hexagonalen Pyramide erster Ordnung $P(10\bar{1}1)$. Fig. 293.
- " 37. Ableitung der hemiédrischen Pyramide zweiter Ordnung $P2(11\bar{2}1)$. Fig. 303.
- " 38. Ableitung des hemiédrischen dihexagonalen Prisma $\infty P^{3/2}(2130)$. Fig. 304.
- " 39. Ableitung des hemiédrischen hexagonalen Prisma erster Ordnung $\infty R(10\bar{1}0)$. Fig. 306.
- " 40. Ableitung des hemiédrischen hexagonalen Prisma zweiter Ordnung $\infty P2(11\bar{2}0)$. Fig. 310.

b) Pyramidal-hemiédrische Formen:

- " 41. Ableitung der hexagonalen Pyramide dritter Ordnung aus der dihexagonalen Pyramide $P^{3/2}(2133)$. Fig. 334.
- " 42. Ableitung der hemiédrischen Pyramide erster Ordnung $P(10\bar{1}1)$. Fig. 337.
- " 43. Ableitung der hemiédrischen Pyramide zweiter Ordnung $P2(11\bar{2}1)$. Fig. 338.
- " 44. Ableitung des hexagonalen Prisma dritter Ordnung aus dem dihexagonalen Prisma $\infty P^{3/2}(2130)$. Fig. 339.
- " 45. Ableitung des hemiédrischen hexagonalen Prisma erster Ordnung $\infty P(10\bar{1}0)$. Fig. 340.
- " 46. Ableitung des hemiédrischen hexagonalen Prisma zweiter Ordnung $\infty P2(11\bar{2}0)$. Fig. 341.

c) Trapezoödrisch-hemiëdrische Formen:

- Nr. 47. Ableitung des hexagonalen Trapezoödes aus der dihexagonalen Pyramide $P_{3/2}^3$ (2133). Fig. 343.
 - " 48. Ableitung der hemiëdrischen hexagonalen Pyramide erster Ordnung P (1011). Fig. 345.
 - " 49. Ableitung der hemiëdrischen hexagonalen Pyramide zweiter Ordnung P2 (1122). Fig. 346.
 - " 50. Ableitung des hemiëdrischen dihexagonalen Prisma $\infty P_{3/2}^3$ (2130). Fig. 347.
 - " 51. Ableitung des hemiëdrischen hexagonalen Prisma erster Ordnung ∞P (1010). Fig. 348.
 - " 52. Ableitung des hemiëdrischen hexagonalen Prisma zweiter Ordnung ∞P_2 (1120). Fig. 349.
- d) Rhomboödrisch-tetartoödrische Formen:
- " 53. Ableitung des Rhomboöders dritter Ordnung aus der dihexagonalen Pyramide $P_{3/2}^3$ (2133). Fig. 353.
 - " 54. Ableitung des Rhomboöders dritter Ordnung aus dem Skalenoöder $\frac{P_{3/2}^3}{2}$ (2133). Fig. 354.
 - " 55. Ableitung des tetartoödrischen Rhomboöders erster Ordnung aus der Pyramide erster Ordnung P (1011). Fig. 355.
 - " 56. Ableitung des tetartoödrischen Rhomboöders erster Ordnung aus dem hemiëdrischen Rhomboöder $\frac{P}{2}$ (1011). Fig. 356.
 - " 57. Ableitung des tetartoödrischen Rhomboöders zweiter Ordnung aus der hexagonalen Pyramide zweiter Ordnung P2 (1122). Fig. 356.
 - " 58. Ableitung des tetartoödrischen Prisma dritter Ordnung aus dem dihexagonalen Prisma $\infty P_{3/2}^3$ (2130). Fig. 358.
 - " 59. Ableitung des tetartoödrischen hexagonalen Prisma erster Ordnung ∞P (1010). Fig. 359.
 - " 60. Ableitung des tetartoödrischen hexagonalen Prisma zweiter Ordnung ∞P_2 (1120). Fig. 360.
- e) Trapezoödrisch-tetartoödrische Formen:
- " 61. Ableitung des trigonalen Trapezoödes aus der dihexagonalen Pyramide $P_{3/2}^3$ (2133). Fig. 362.
 - " 62. Ableitung des Trapezoöders aus dem Skalenoöder $\frac{P_{3/2}^3}{2}$ (2133). Fig. 363.
 - " 63. Ableitung des tetartoödrischen Rhomboöders aus der Pyramide erster Ordnung P (1011). Fig. 365.
 - " 64. Ableitung des tetartoödrischen Rhomboöders aus dem hemiëdrischen Rhomboöder Rx (1011). Fig. 366.
 - " 65. Ableitung der trigonalen Pyramide aus der hexagonalen Pyramide zweiter Ordnung P2 (1122). Fig. 367.
 - " 66. Ableitung des tetartoödrischen ditrigonalen Prisma aus dem dihexagonalen $\infty P_{3/2}^3$ (2130). Fig. 369.
 - " 67. Ableitung des tetartoödrischen hexagonalen Prisma erster Ordnung ∞P (1010). Fig. 371.
 - " 68. Ableitung des trigonalen Prisma aus dem hexagonalen Prisma zweiter Ordnung ∞P_2 (1120). Fig. 372.

III. Tetragonales Krystallsystem.

a) Sphenoidisch-hemiëdrische Formen:

- " 69. Ableitung des Skalenoöders aus der ditetragonalen Pyramide P2 (212). Fig. 409.
- " 70. Ableitung des Sphenoids aus der tetragonalen Pyramide erster Ordnung P (111). Fig. 411.

- Nr. 71. Ableitung der hemiëdrischen Pyramide zweiter Ordnung $P\infty$ (101). Fig. 414.
- " 72. Ableitung des hemiëdrischen ditetragonalen Prisma ∞P_2 (210). Fig. 415.
 - " 73. Ableitung des hemiëdrischen tetragonalen Prisma erster Ordnung ∞P (110). Fig. 416.
 - " 74. Ableitung des hemiëdrischen tetragonalen Prisma zweiter Ordnung $\infty P\infty$ (100). Fig. 417.

b) Pyramidal-hemiëdrische Formen:

- " 75. Ableitung der tetragonalen Pyramide dritter Ordnung aus der ditetragonalen Pyramide P2 (212). Fig. 422.
- " 76. Ableitung der hemiëdrischen Pyramide erster Ordnung P (111). Fig. 424.
- " 77. Ableitung der hemiëdrischen Pyramide zweiter Ordnung $P\infty$ (101). Fig. 425.
- " 78. Ableitung des tetragonalen Prisma dritter Ordnung aus dem ditetragonalen Prisma ∞P_2 (210). Fig. 426.
- " 79. Ableitung des hemiëdrischen tetragonalen Prisma erster Ordnung ∞P (110). Fig. 427.
- " 80. Ableitung des hemiëdrischen tetragonalen Prisma zweiter Ordnung $\infty P\infty$ (100). Fig. 428.

b) Trapezoödrisch-hemiëdrische Formen:

- " 81. Ableitung des tetragonalen Trapezoödes aus der ditetragonalen Pyramide P2 (212). Fig. 435.
- " 82. Ableitung der hemiëdrischen tetragonalen Pyramide erster Ordnung P (111). Fig. 437.
- " 83. Ableitung der hemiëdrischen tetragonalen Pyramide zweiter Ordnung $P\infty$ (101). Fig. 438.
- " 84. Ableitung des hemiëdrischen ditetragonalen Prisma ∞P_2 (210). Fig. 439.
- " 85. Ableitung des hemiëdrischen tetragonalen Prisma erster Ordnung ∞P (110). Fig. 440.
- " 86. Ableitung des hemiëdrischen tetragonalen Prisma zweiter Ordnung $\infty P\infty$ (100). Fig. 441.

IV. Rhombisches Krystallsystem.

- " 87. Ableitung der rhombischen Sphenoide an der rhombischen Pyramide P (111). Fig. 493.
- " 88. Ableitung des hemiëdrischen rhombischen Prisma ∞P (110). Fig. 495.

Sammlung von 88 colorirten Holzmodellen nach vorstehender Aufstellung:

Collection of 88 coloured wooden models according to the above arrangement:
Collection de 88 modèles en bois colorés d'après l'arrangement précédent:

Durchschnittsgrösse 5 cm = Nr. 12 . . . M 200.—
" 10 " = " 13 . . . " 500.—

**H. Mineralogisch-krystallographische Sammlung
von 743 Krystallmodellen**

enthält typische Modelle fast sämmtlicher krystallisirter Mineralien.
Zusammengestellt von Prof. Dr. P. Groth (1880).

Mineralogical crystallographical collection of 743 wooden crystal models
containing typical crystals of nearly all crystallized minerals
arranged by Prof. P. Groth.

Collection cristallographique minéralogique à 743 modèles en bois
comprénant des cristaux typiques de presque tous les minéraux cristallisés
arrangé par le Prof. P. Groth (1880).

Hierzu Special-Katalog Nr. 5 (Zweite Auflage).

(cf. Spec. Cat. Nr. 5, IInd ed.)

(cf. Cat. spéc. Nr. 5, II^{me} éd.)

Sammlung von 743 Krystallmodellen nach diesem Katalog:
Durchschnittsgrösse 5 cm = Nr. 14 . . . M 1200.

I. Mineralogisch-krystallographische Sammlung von 213 Krystallmodellen

enthält die interessantesten seit dem Erscheinen der 2. Auflage des zu vorstehender Sammlung gehörigen Kataloge (1880) bekannt gewordenen Combinationen. Zusammengestellt von Prof. Dr. P. Groth (1887). Sie bildet mithin ein Supplement zu der Sammlung von 743 Krystallmodellen.

Mineralogical crystallographical collection of 213 wooden crystal models containing the most interesting newly discovered complex crystals which have been described since the IInd edition of the catalogue of 743 models, of which it forms a supplement

arranged by Prof. P. Grothe (1887).

Collection cristallographique minéralogique de 213 modèles en bois comprenant les nouvelles combinaisons les plus intéressantes, décrites dès la IInd édition du catalogue de la collection de 743 modèles, dont elle forme le supplément arrangée par le Prof. P. Groth.

Hierzu Special-Katalog Nr. 7.

(cf. Spec. Cat. Nr. 7.)

(cf. Cat. sp. Nr. 7.)

Sammlung von 213 Krystallmodellen nach diesem Katalog:

Durchschnittsgrösse 5 cm = Nr. 15 . . . M 650.

K. Petrographisch-krystallographische Sammlung von 100 Krystallmodellen

zur krystallographischen Erläuterung der petrographisch wichtigen Mineralien, nach der „Mikroskopischen Physiographie der petrographisch wichtigen Mineralien“ von Prof. Dr. H. Rosenbusch, III. Aufl., Stuttgart 1893. Zusammengestellt von Prof. Dr. K. Busz.

Petrographic Crystallographical Collection of 100 crystal models to demonstrate the crystallographic forms of the rock-forming minerals, according to Prof. Dr. H. Rosenbusch's: „Microscopy Physiographic“, IIIrd ed. arranged by Prof. Dr. K. Busz.

Collection cristallographique pétrographique de 100 modèles de cristaux pour la démonstration des propriétés cristallographique des minéraux de roches d'après la „Physiographie microscopie des minéraux des roches“ par le Prof. Dr. Rosenbusch, arrangée par le Prof. Dr. K. Busz.

I. Reguläres System.

Nr. 1.	Pyrit $\infty\infty\infty(100)$, $\left[\frac{\infty O^2}{2}\right] \times (210)$	M 1.35
" 2.	Magnetit $O(111)$	1.—
" 3.	Spinell $O(111)$, Zwilling nach $O(111)$	2.50
" 4.	Pleonast $O(111)$, $\infty\infty(110)$, 303 (311)	1.65
" 5.	Fluorit $\infty\infty\infty(100)$	1.—
" 6.	Sodalith $\infty\infty(110)$	1.—

Nr. 7.	Nosean $\infty O(110)$, verzerrt nach einer hexaëdrischen Nebenaxe	M 1.—
" 8.	" $\infty O(110)$, Durchkreuzungszwillling nach $O(111)$	2.50
" 9.	Granat 202 (211)	1.35
" 10.	" $\infty O(110)$, 202 (211)	1.35
" 11.	" 202 (211), $\infty O(110)$	1.65
" 12.	Analcim $\infty\infty\infty(100)$, 202 (211)	1.35
" 13.	Perowskit $\infty\infty\infty(100)$, $\infty O(110)$	1.35
" 14.	" $\infty\infty\infty(100)$, $\infty O(110)$, $O(111)$	1.35

II. Tetragonales System.

15.	Rutil $\infty P(110)$, $\infty\infty\infty(100)$, $P(111)$	1.—
" 16.	" $\infty P(110)$, $\infty\infty\infty(100)$, $P(111)$, Zwillinge nach $P\infty(101)$	2.—
" 17.	" $\infty P(110)$, $\infty\infty\infty(100)$, $P(111)$, $P\infty(101)$, Zwilling nach $3P\infty(301)$	2.50
" 18.	Anatas $P(111)$, $\frac{5}{11}P(5.5.11)$	1.35
" 19.	Zirkon $\infty P(110)$, $P(111)$	1.—
" 20.	" $P(111)$, $\infty P(110)$	1.—
" 21.	" $\infty P(110)$, $P(111)$, $2P(331)$, $3P(131)$	1.35
" 22.	Skapolith $\infty\infty\infty(100)$, $\infty P(110)$, $P(111)$	1.35
" 23.	Vesuvian $\infty P(110)$, $\infty\infty\infty(100)$, $P(111)$, $OP(001)$	1.35
" 24.	Melilit $\infty P\infty(100)$, $\infty P(110)$, $\infty P(310)$, $OP(001)$, $P(111)$	1.35

III. Hexagonales System.

25.	Ilmenit $R \times (10\bar{1}0)$, $OR(0001)$	1.—
" 26.	Eisenglanz $\infty R(0001)$, $R \times (10\bar{1}0)$	1.—
" 27.	" $OR(0001)$, $R \times (10\bar{1}0)$, $\frac{4}{3}P2(2243)$, $\infty P2(11\bar{2}0)$	1.35
" 28.	Korund $\infty Ps(11\bar{2}0)$, $OR(0001)$, $R \times (10\bar{1}1)$	1.—
" 29.	" $OR(0001)$, $\frac{8}{3}P2(4483)$, $R \times (10\bar{1}1)$	1.35
" 30.	" $OR(0001)$, $\infty P2(11\bar{2}0)$, $\frac{4}{3}P2(2243)$, $R \times (10\bar{1}1)$	1.35
" 31.	Quarz $+R \times (10\bar{1}1)$, $-R \times (01\bar{1}1)$, $\infty R(1010)$	1.—
" 32.	" $\infty R(1010)$, $+R \times (10\bar{1}1)$, $-R \times (01\bar{1}1)$	1.—
" 33.	Tridymit $\infty P(0001)$, $\infty P(1010)$, $\infty P2(1120)$, $P(1011)$	1.35
" 34.	Kalkspat $R \times (10\bar{1}1)$, Zwilling nach $-\frac{1}{3}R(011\bar{2})$	0.85
" 35.	Dolomit $R \times (10\bar{1}1)$	1.35
" 36.	Apatit $\infty P(10\bar{1}0)$, $P(10\bar{1}0)$, $\infty P(0001)$	0.85
" 37.	Nephelin $\infty P(10\bar{1}0)$, $P(10\bar{1}0)$	1.—
" 38.	" $\infty P(10\bar{1}0)$, $\infty P(0001)$, $P(10\bar{1}0)$	1.—
" 39.	Cancrinit $\infty P(10\bar{1}0)$, $P(10\bar{1}1)$	1.—
" 40.	Turmalin $\frac{\infty R}{2}(01\bar{1}0)$, $R \times (10\bar{1}1)$, am andern Pol $\infty R(0001)$	1.—
" 41.	" $\infty P2(11\bar{2}0)$, $\frac{\infty R}{2}(01\bar{1}0)$, $-2R \times (0221)$, $R \times (10\bar{1}1)$, $-\frac{1}{2}R \times (10\bar{1}2)$, am andern Pol $\infty R(000\bar{1})$, $R \times (10\bar{1}1)$	1.35
" 42.	Eudialyt $R \pi(10\bar{1}1)$, $\infty R(0001)$, $\infty P2(11\bar{2}0)$, $\infty R(10\bar{1}0)$, $-\frac{1}{2}R \times (10\bar{1}2)$, $\frac{1}{4}R \times (10\bar{1}4)$	1.35

IV. Rhombisches System.

43.	Brookit $\infty P\infty(100)$, $\infty P(110)$, $\infty P\infty(010)$, $P\bar{2}(122)$, $P(111)$, $2P\infty(021)$, $\frac{1}{2}P\infty(102)$, $\frac{1}{4}P\infty(104)$, $\frac{1}{2}P(112)$	1.65
" 44.	Pseudbrookit $\infty P\infty(100)$, $\infty P(110)$, $\infty P\infty(010)$, $P\infty(101)$, $\frac{1}{3}P\infty(103)$	1.35
" 45.	Andalusit $\infty P(110)$, $\infty P(001)$, $P\infty(101)$	1.—
" 46.	Sillimanit $\infty P\frac{3}{2}(230)$, $\infty P(110)$, $\infty P(001)$	1.35
" 47.	Topas $\infty P(110)$, $\infty P2(120)$, $2P\infty(021)$, $P(111)$, $\infty P(001)$	1.35
" 48.	" $\infty P\bar{2}(120)$, $\infty P(110)$, $2P\infty(021)$, $\infty P(001)$, $P(111)$	1.35

Nr. 49.	Topas $\infty P\bar{2}$ (120), ∞P (110), $\circ P$ (001), P (111), $2P\bar{x}$ (021), $\frac{2}{3}P$ (223)	M 1.35
" 50.	Staurolith ∞P (110), $\infty P\bar{x}$ (010), $\circ P$ (001), $P\bar{o}$ (101)	" 1.15
" 51.	∞P (110), $\infty P\bar{x}$ (010), $\circ P$ (001), Durchkreuzungszwilling nach $\frac{3}{2}P\bar{x}$ (032)	" 3.—
" 52.	Hypersthen $\infty P\bar{x}$ (010), $\infty P\bar{x}$ (100), ∞P (110), P (111), $P\bar{2}$ (212)	" 1.35
" 53.	$\infty P\bar{x}$ (010), $\infty P\bar{x}$ (100), ∞P (110), $\frac{1}{2}P\bar{x}$ (012), $2P\bar{2}$ (211)	" 1.35
" 54.	Autophyllit $\circ P$ (110), $\infty P\bar{x}$ (100), $\circ P$ (001)	" 1.—
" 55.	Olivin, $\infty P\bar{x}$ (100), $\infty P\bar{x}$ (010), ∞P (110), $P\bar{o}$ (101), P (111), $\circ P$ (001)	" 1.35
" 56.	" ∞P (110), $\infty P\bar{2}$ (120), $\infty P\bar{x}$ (010), $2P\bar{x}$ (021), $P\bar{x}$ (101), P (111)	" 1.35
" 57.	Cordierit ∞P (110), $\infty P\bar{3}$ (130), $\infty P\bar{x}$ (010), $\circ P$ (001)	" 1.—
" 58.	Zoisit, ∞P (110), $\infty P\bar{4}$ (140), $\infty P\bar{x}$ (010), $2P\bar{x}$ (021), P (111)	" 1.35
" 59.	Astrombyllit $\infty P\bar{x}$ (100), $P\bar{2}$ (122), P (111), $\frac{2}{3}P\bar{o}$ (203)	" 1.65
" 60.	Talk $\circ P$ (001), ∞P (110), $\infty P\bar{x}$ (010)	" 0.85
V. Monoklines System.		
" 61.	Gyps $\infty P\bar{o}$ (010), ∞P (110), $-P$ (111)	" 1.—
" 62.	Monazit $\infty P\bar{o}$ (100), ∞P (110), $P\bar{o}$ (101), $-P\bar{o}$ (101), $P\bar{o}$ (011)	" 1.35
" 63.	Lazulith P (111), $-P$ (111), $-P\bar{o}$ (101), $P\bar{o}$ (101), $\circ P$ (001), $\infty P\bar{o}$ (010)	" 1.35
" 64.	Sapphirin $\infty P\bar{o}$ (010), $P\bar{o}$ (011), ∞P (110), $\infty P\bar{o}$ (100)	" 1.35
" 65.	Wollastonit $\infty P\bar{o}$ (100), ∞P (110), $\infty P\bar{2}$ (120), $\circ P$ (001), $P\bar{o}$ (101), $-P\bar{o}$ (101)	" 1.—
" 66.	Rosenbuschit $2P\bar{o}$ (201), $\infty P\bar{o}$ (100), $\circ P$ (001), $\infty P\bar{5}/4$ (540)	" 1.—
" 67.	Diopsid $\infty P\bar{o}$ (100), $\infty P\bar{o}$ (010), ∞P (110), $2P$ (221), $-P$ (111), $\circ P$ (001)	" 1.35
" 68.	Augit $\infty P\bar{o}$ (100), ∞P (110), $\infty P\bar{o}$ (010), P (111)	" 1.—
" 69.	$\infty P\bar{o}$ (100), ∞P (110), $\infty P\bar{o}$ (010), P (111), Zwilling nach $\infty P\bar{o}$ (100)	" 1.—
" 70.	Augit $\infty P\bar{o}$ (100), ∞P (110), $\infty P\bar{o}$ (010), P (111), Durchkreuzungszwilling nach $P\bar{2}$ (122)	" 2.—
" 71.	Augit $\infty P\bar{o}$ (100), ∞P (110), $\infty P\bar{o}$ (010), P (111), Durchkreuzungszwilling nach $-P\bar{o}$ (101)	" 3.35
" 72.	Fassait ∞P (110), $2P$ (221), $2P\bar{o}$ (021)	" 3.35
" 73.	Akmit $\infty P\bar{o}$ (100), ∞P (110), $\infty P\bar{o}$ (010), $6P$ (661), $-6P\bar{3}$ (261), P (111)	" 1.35
" 74.	Lävenit ∞P (110), $\infty P\bar{o}$ (100), $\infty P\bar{2}$ (210), $-P$ (111), $P\bar{o}$ (011), $-P\bar{o}$ (101)	" 1.35
" 75.	Wöhlerit $\infty P\bar{o}$ (100), $\infty P\bar{o}$ (010), ∞P (110), $\infty P\bar{2}$ (120), $\circ P$ (001), $P\bar{o}$ (101), $P\bar{o}$ (011), P (111), $-P$ (111)	" 1.35
" 76.	Hornblende ∞P (110), $\infty P\bar{o}$ (010), $P\bar{o}$ (011)	" 1.—
" 77.	" ∞P (110), $\infty P\bar{o}$ (010), $\circ P$ (001), P (111)	" 1.—
" 78.	" ∞P (110), $\infty P\bar{o}$ (010), $\circ P$ (001), P (111), Zwilling nach $\infty P\bar{o}$ (100)	" 2.—
" 79.	Glimmer $\circ P$ (001), ∞P (110), $\infty P\bar{o}$ (010), $-\frac{1}{2}P$ (112)	" 1.—
" 80.	" $\circ P$ (001), ∞P (110), $\infty P\bar{o}$ (010), $Zwilling$ nach ∞P (110)	" 1.65
" 81.	Chlorit $\circ P$ (001), $4P\bar{o}$ (401), $-\frac{3}{2}P\bar{3}$ (132)	" 0.85
" 82.	" $\circ P$ (001), $-\frac{1}{2}P$ (112), $\frac{7}{2}P$ (7.7.25), $\frac{4}{17}P$ (4.4.17), $\frac{11}{24}P\bar{o}$ (0.11.24), $\frac{1}{3}P\bar{o}$ (043)	" 1.35
" 83.	Epidot $\infty P\bar{o}$ (100), $P\bar{o}$ (101), $\circ P$ (001), $\infty P\bar{o}$ (010)	" 1.—
" 84.	Epidot $\infty P\bar{o}$ (100), $\circ P$ (001), $P\bar{o}$ (101), ∞P (110)	" 1.—
" 85.	Rinkit $\infty P\bar{o}$ (100), $\infty P\bar{2}$ (120), ∞P (110), $\infty P\bar{8}/2$ (320), $-P\bar{o}$ (101), $P\bar{o}$ (101), $4P\bar{4}/3$ (341)	" 1.—
" 86.	Titanit $\frac{2}{3}P\bar{2}$ (123), $\circ P$ (001), $P\bar{o}$ (101), $\frac{1}{2}P\bar{o}$ (102), $P\bar{o}$ (011)	" 1.35
" 87.	" $\frac{2}{3}P\bar{2}$ (123), ∞P (110)	" 1.—
" 88.	" $P\bar{o}$ (011), $\circ P$ (001), $43P\bar{2}$ (123), $P\bar{o}$ (101), $Zwilling$ nach $\circ P$ (001)	" 1.65
" 89.	Orthoklas $\infty P\bar{o}$ (010), ∞P (110), $\circ P$ (001), $P\bar{o}$ (101), $2P\bar{o}$ (201), P (111)	" 1.35

Nr. 90.	Orthoklas $\circ P$ (001), $\infty P\bar{o}$ (010), ∞P (110), $2P\bar{o}$ (201)	M 1.15
" 91.	Zwilling nach $\infty P\bar{o}$ (100)	" 2.50
" 92.	Orthoklas, $\circ P$ (001), $\infty P\bar{o}$ (010), ∞P (110), $2P\bar{o}$ (201), (Manebacher)	" 2.50
" 93.	Zwilling nach $\circ P$ (001)	" 2.50
" 93.	Orthoklas $\circ P$ (001), $\infty P\bar{o}$ (010), ∞P (110), $2P\bar{o}$ (201), (Bavenočr)	" 2.50

VI. Triklines System.

" 94.	Plagioklas $\infty P\bar{x}$ (010), $\infty P'$ (110), ∞P (110), $\circ P$ (001), $P\bar{x}$ (101)	" 1.35
" 95.	" $\infty P'$ (110), ∞P (110), $2P\bar{x}$ (201)	" 0.85
" 96.	" $\infty P\bar{x}$ (010), $\infty P'$ (110), ∞P (110), $\circ P$ (001), $P\bar{x}$ (101), Zwilling nach $\infty P\bar{x}$ (010)	" 2.—
" 97.	Plagioklas $\infty P\bar{x}$ (010), $\infty P'$ (110), ∞P (110), $\circ P$ (001), $P\bar{x}$ (101), zwei Zwillinge nach $\infty P\bar{x}$ (010) verwachsen nach dem Karlsbader Gesetz	" 3.35
" 98.	Cyanit, $\infty P\bar{x}$ (100), $\infty P\bar{x}$ (010), $\circ P$ (001), ∞P (110), $\infty P^{1/2}$ (210)	" 1.35
" 99.	Axinit ∞P (110), $\infty P'$ (110), P (111), P (111), $2P\bar{x}$ (102), $\infty P\bar{x}$ (100)	" 1.35
" 100.	Hjortdahlit $\infty P\bar{x}$ (100), $\infty P\bar{x}$ (010), P (111), P (111), $\infty P\bar{2}$ (210), $\infty P^{1/2}$ (210)	" 1.35

Sammlung von 100 Holz-Krystallmodellen nach vorstehender Aufstellung:

Collection of 100 crystal models in wood according to the above arrangement
Collection de 100 modèles de cristaux en bois d'après l'arrangement précédent

Durchschnittsgröße 5 cm = Nr. 16 . . . M 95.—

L. Sammlung von Krystallmodellen

darstellend die Formen des Calciumoxalates in den Pflanzen.

Collection of 10 crystal models showing the forms of Calciumoxalate, occurring in plantes.

Collection de 10 modèles des cristaux de l'oxalate de calcium, qui se trouvent dans les plantes.

I. Tetragonales Calciumoxalat ($CaC_2O_4 + 6H_2O$).

Nr. 1.	P (111)
2.	P (111), ∞P (110), Pyramide herrschend.
3.	∞P (110), $\frac{1}{4}P$ (114), Prisma herrschend.
4.	$\frac{1}{4}P$ (114), ∞P (110) Pyramide herrschend.

II. Monosymmetrisches Calciumoxalat ($CaC_2O_4 + 2H_2O$).

5.	∞P (110), $\circ P$ (001), Prisma herrschend.
6.	∞P (110), $\circ P$ (001), Prisma zurücktretend.
7.	∞P (110), $\circ P$ (001), $\infty P\bar{o}$ (010).
8.	∞P (110), $\circ P$ (001), $\infty P\bar{o}$ (010), Symmetrieebene lang gedehnt.
9.	∞P (110), $\circ P$ (001), $\infty P\bar{o}$ (010), Zwilling nach $\circ P$ (001).
10.	∞P (110), $+P$ (111), $\circ P$ (001).

Sammlung von 10 Krystallmodellen nach vorstehender Aufstellung:

Collection of 10 models according to the above arrangement

Collection de 10 modèles d'après l'arrangement précédent

Durchschnittsgröße 5 cm = Nr. 17 . . . M 12.—

II. KRYSTALLMODELLE IN GLAS

mit eingezogenen farbigen Axen zur Erläuterung der Axenrichtungen in den verschiedenen Systemen. Die Grösse dieser Modelle beträgt je nach ihrer Form 15—25 cm; sie eignen sich daher vorzüglich zu Demonstrationen vor einem grossen Auditorium.

Dieselben sind aus fehlerfreiem Spiegelglas angefertigt; die einzelnen Scheiben sind an den Seiten abgeschliffen, so dass sie in scharfen Kanten aneinanderstossen, wodurch die Modelle sowohl an Correctheit als an Festigkeit und elegantem Aussehen gewinnen. Die Scheiben sind mit schwarzem Calico mit einander verbunden.

Glass-Crystall-Models

having the crystallographic axis illustrated by coloured silk threads. The size of these models varies from 15 to 25 cm; they are therefore especially suited for the demonstration in large lecture rooms.

They are constructed of the best colourless and flawless glass; the single glass sections are cut at the sides, which thus form sharp edges where they meet. The models are therefore very accurate and of elegant appearance.

Modèles de cristaux en verre

Les axes cristallographiques sont représentés par des fils de soie colorée. Ces modèles ont une largeur de 15 à 25 cm, ils sont donc bien recommandables pour l'usage dans des grandes auditoires.

Ils sont construits de verre superfin et les bords des plaques sont coupés afin de former des arêtes aiguës. Les modèles sont donc très exacts et élégants.

M. Sammlung von 15 Glas-Krystallmodellen.

Kleine Unterrichts-Sammlung, enthaltend einige der wichtigsten Grundformen der sechs Krystallsysteme, mit eingezogenen farbigen Axen, bezw. mit eingeschlossenen Grundformen aus Carton.

Collection of 15 Glass-Models, containing some of the most important fundamental forms of the six crystalsystems

Collection of 15 modèles en verre comprenant les formes fondamentales les plus importantes des six systèmes

I. Reguläres System.

Nr. 1.	O (111), das Oktaeder	M 1.80
" 2.	$\infty\infty(100)$, das Hexaeder	2.40
" 3.	$\infty\infty(110)$, das Dodekaeder	3.30
" 4.	2O (221), ein Triakisoktaeder	5.30
" 5.	O	5.30
" 6.	$\frac{1}{2} \times (111)$, das Tetraeder, über dem Oktaeder O (111)	2.00

II. Hexagonales System.

" 6.	P (1011), Hexagonale Pyramide erster Ordnung	2.65
" 7.	$\infty P (1010)$, $\infty P (0001)$, das hexagonale Prisma erster Ordnung mit der Basis	2.90

Nr. 8.	R ∞ (1011), Rhomboeder über der hexagonalen Pyramide P (1011)	M 2.70
" 9.	$\frac{P^3/2}{2} \times (2133)$ Hexagonales Skalenoeder über der dihexagonalen Pyramide $P^{3/2} (2133)$	5.30

III. Tetragonales System.

" 10.	P (111), tetragonale Pyramide erster Ordnung	1.80
" 11.	$\infty P (110)$, $\infty P (001)$, das tetragonale Prisma erster Ordnung mit der Basis	2.—

IV. Rhombisches System.

" 12.	P (111), rhombische Pyramide	1.80
" 13.	$\infty P (110)$, $\infty P (001)$, rhombisches Prisma mit der Basis	2.—

V. Monoklines (monosymmetrisches) System.

" 14.	Die Symmetrieebene mit zwei zu ihr schiefwinkeligen Flächenpaaren; entweder als positive und negative Hemipyramide, oder als Prisma und Klinodoma, oder Prisma und Hemipyramide, oder Klinodoma und Hemipyramide aufzufassen	1.80
-------	--	------

VI. Triklines (asymmetrisches) System.

" 15.	Die drei Pinakoide (Axenebenen) eines asymmetrischen Krystalles	2.—
-------	---	-----

Sammlung von 15 Glas-Krystallmodellen nach vorstehender Aufstellung:

Collection of 15 Glass-models according to the above arrangement

Collection de 15 modèles en verre d'après l'arrangement précédent

Grösse 15—25 cm = Nr. 18 M 36.—

N. Sammlung von 30 Glas-Krystallmodellen

enthaltend die einfachen Grundformen der sechs Krystallsysteme, mit eingezogenen farbigen Axen.

Collection of 30 Glass-models containing the simple fundamental forms of the six systems, with coloured Axes.

Collection de 30 modèles en verre contenant les simples formes fondamentales des six systèmes, avec des axes colorés.

I. Reguläres System.

Nr. 1.	O (111), das Oktaeder	M 1.80
" 2.	$\infty\infty(100)$, das Hexaeder	2.40
" 3.	$\infty\infty(110)$, das Dodekaeder	3.30
" 4.	2O (211), ein Ikositetraeder	5.50
" 5.	2O (221), ein Triakisoktaeder	5.30
" 6.	$\infty O_2 (210)$, ein Tetrakisoktaeder	5.30
" 7.	$3O^{3/2} (321)$, ein Hexakisoktaeder	10.—

II. Hexagonales System.

" 8.	P (1011), hexagonale Pyramide erster Ordnung	2.65
" 9.	P ₂ (1122), hexagonale Pyramide zweiter Ordnung	2.65
" 10.	$\infty P (1010)$, $\infty P (0001)$, das hexagonale Prisma erster Ordnung mit der Basis	2.90
" 11.	$\infty P_2 (1120)$, $\infty P (0001)$, das hexagonale Prisma zweiter Ordnung mit der Basis	3.50
" 12.	$P^{3/2} (2133)$, eine dihexagonale Pyramide	5.30
" 13.	$\infty P^{3/2} (2130)$, $\infty P (0001)$, ein dihexagonales Prisma mit der Basis	5.30

III. Tetragonales System.

Nr. 14. P (111), tetragonale Pyramide erster Ordnung	M 1.80
" 15. ∞P (101), tetragonale Pyramide zweiter Ordnung	" 1.80
" 16. ∞P (110), oP (001), das tetragonale Prisma erster Ordnung mit der Basis	" 2.—
" 17. $\infty \infty P$ (100), oP (001), das tetragonale Prisma zweiter Ordnung mit der Basis	" 2.50
" 18. P $\bar{3}$ (133), eine ditetragonale Pyramide	" 3.50
" 19. ∞P (120), oP (001), ein ditetragonales Prisma mit der Basis	" 3.75

IV. Rhombisches System.

" 20. P (111), rhombische Pyramide	" 1.80
" 21. ∞P (110), oP (001), rhombisches Prisma mit der dazu senkrechten Symmetrieebene; nach vorstehendem Symbol vertikales Prisma mit der Basis	" 2.—
" 22. $P\bar{x}$ (101), $\infty P\bar{x}$ (010); ein Makrodoma mit dem Brachypinakoid und eingezogenen Kanten der Pyramide P (111)	" 3.10
" 23. $P\bar{x}$ (011), $\infty P\bar{x}$ (100), ein Brachydoma mit dem Makropinakoid und eingezogenen Kanten der Pyramide P (111)	" 3.10
" 24. $\infty P\bar{x}$ (100), $\infty P\bar{x}$ (010), oP (001), Combination der drei rhombischen Pinakoide (Symmetrieebenen)	" 2.50

V. Monoklines (monosymmetrisches) System.

" 25. +P (111), -P (111), Combination von zwei monoklinen Hemipyramiden	" 1.80
" 26. ∞P (110), oP (001), monoklines Prisma mit der Basis	" 2.—
" 27. $\infty \infty P$ (100), ∞P (010), oP (001), das Orthopinakoid, Klinopinakoid und Basis	" 2.65

VI. Triklines (asymmetrisches) System.

" 28. P' (111), P (111), P (111), P (111), Combination von vier Viertelpyramiden mit gleichen Axenlängen	" 2.—
" 29. ∞P (110), $\infty P'$ (110), oP (001), triklines Prisma mit der Basis	" 2.25
" 30. $\infty P\bar{x}$ (100), $\infty P\bar{x}$ (010), oP (001), die drei Pinakoide (Axenebenen eines asymmetrischen Krystals)	" 2.—

Sammlung von 30 Glass-Krystallmodellen nach vorstehender Aufstellung:

Collection of 30 Glass-models according to the above arrangement
Collection de 30 modèles en verre, d'après l'arrangement précédent
Grösse 15—25 cm = Nr. 19 M 90.—

O. Sammlung von 34 Glas-Krystallmodellen

enthaltend die einfachen hemiédrischen und tetartoëdrischen Formen mit eingeschlossener holoëdrischer Grundform aus Pappe.
Collection of 34 Glass-models containing the simple hemihedral and tetartohedral forms, with the enclosed holohedral form made of card-board.
Collection de 34 modèles en verre comprenant les simples formes hémédriques et tetartoëdriques avec les formes holodriques de papier cartonné enfermées dedans.

I. Reguläres System.

a) Tetraëdrische Hemiëdrie:

Nr. 1. $\frac{O}{2} \times (111)$, des Tetraëder über dem Oktaëder O (111)	M 2.—
" 2. $\frac{202}{2} \times (211)$, ein Triakistetraëder über dem Ikositetraëder 2O2 (211)	" 5.35

b) Pentagonale Hemiëdrie:

" 5. $\left[\frac{\infty O2}{2} \right] \pi (210)$, ein Pentagondodekaëder über dem Tetrakis-hexaëder $\infty O2$ (210)	5.50
" 6. $\left[\frac{3O^3/2}{2} \right] \pi (321)$, ein Dyakisdodekaëder über dem Hexakisoktaëder $3O^3/2$ (321)	10.45
c) Plagiëdrische Hemiëdrie:	
" 7. $\frac{3O^3/2}{2} r \gamma (123)$, Rechtes Pentagonikositetraëder über dem Hexakisoktaëder $3O^3/2$ (321)	10.45
" 8. $\frac{3O^3/2}{2} l \gamma (213)$, Linkes Pentagonikositetraëder über dem Hexakisoktaëder $3O^3/2$ (321)	10.45

d) Tetartoëdrie:

" 9. $\frac{3O^3/2}{4} r \pi (123)$, ein Rechtes tetraëdrisches Pentagondodekaëder über dem Hexakistetraëder $\frac{3O^3/2}{2} \times (321)$	6.50
" 10. $\frac{3O^3/2}{2} l \pi (213)$, ein Linkes tetraëdrisches Pentagondodekaëder über dem Hexakistetraëder $\frac{3O^3/2}{2} \times (321)$	6.50

II. Hexagonales System.

a) Rhomboëdrische Hemiëdrie:

" 11. R3, $\times (2131)$, Hexagonales Skalenoëder über der dihexagonalen Pyramide $3P^3/2$ (2131)	5.35
" 12. R, $\times (1011)$, ein Rhomboëder über der hexagonalen Pyramide P (1011)	2.70
" 13. R3 $\times (2131)$, Hexagonales Skalenoëder über dem Rhomboëder R $\times (1011)$	5.—
" 14. $\frac{\infty P^3/2}{4} \times (2130)$, oR (0001), Ditrigonales (rhomboëdrisch-hemimorphes) Prisma mit der Basis, über dem dihexagonalen Prisma $\infty P^3/2$ (2130) mit der Basis oP (0001)	5.—
" 15. $\frac{\infty R}{2} \times (1010)$, oR (0001), Trigonales (rhomboëdrisch-hemimorphes) Prisma mit der Basis, über dem hexagonalen Prisma erster Ordnung ∞P (1010) mit der Basis oP (0001)	2.35

b) Pyramidale Hemiëdrie:

" 16. $\left[\frac{P^3/2}{2} \right] \times (2133)$, Hexagonale Pyramide dritter Ordnung über der dihexagonalen Pyramide $P^3/2$ (2133)	5.35
---	------

- Nr. 17. $\left[\frac{\infty P^3/2}{2} \right] \pi (2\bar{1}\bar{3}0), oP(0001)$, Hexagonales Prisma dritter Ordnung mit der Basis über dem dihexagonalen Prisma $\infty P^3/2 (2\bar{1}\bar{3}0)$ mit der Basis $oP (0001)$ M 5.—
c) Trapezoëdrische Hemiëdrie:
- " 18. $\frac{P^3/2}{2} r \tau (2\bar{1}\bar{3}3)$ Rechtes hexagonales Trapezoëder über der dihexagonalen Pyramide $P^3/2 (2\bar{1}\bar{3}3)$ 5.35
- " 19. $\frac{P^3/2}{2} l \tau (3\bar{1}\bar{2}3)$ Linkes hexagonales Trapezoëder über der dihexagonalen Pyramide $P^3/2 (2\bar{1}\bar{3}3)$ 5.35
d) Rhomboëdrische Tetartoëdrie:
- " 20. $\frac{P^3/2}{4} z\pi (2\bar{1}\bar{3}3)$, Rhomboëder dritter Ordnung über der dihexagonalen Pyramide $P^3/2 (2\bar{1}\bar{3}3)$ 4.—
- " 21. $\frac{P^3/2}{4} z\pi (2\bar{1}\bar{3}3)$ Rhomboëder dritter Ordnung über dem hexagonalen Skalenoëder $1/3R3 \left(\frac{P^3/2}{2} \right) z (2\bar{1}\bar{3}3)$ 3.—
e) Trapezoëdrische Tetartoëdrie:
- " 22. $\frac{P^3/2}{4} r z\tau (2\bar{1}\bar{3}3)$, Rechtes trigonales Trapezoëder über dem hexagonalen Skalenoëder $1/3R3 \left(\frac{P^3/2}{2} \right) z (2\bar{1}\bar{3}3)$ 2.70
- " 23. $\frac{P^3/2}{4} l z\tau (3\bar{1}\bar{2}3)$, linkes trigonales Trapezoëder, über dem hexagonalen Skalenoëder $1/3R3 \left(\frac{P^3/2}{2} \right) z (2\bar{1}\bar{3}3)$ 2.70
- " 24. $\frac{P^2}{4} r z\tau (1\bar{1}\bar{2}2)$, Trigonale Pyramide über der hexagonalen Pyramide zweiter Ordnung $P2 (1\bar{1}\bar{2}2)$ 2.70
- " 25. $\frac{\infty P^2}{4} r z\tau (1\bar{1}\bar{2}0)$, oR (0001), Trigonales Prisma mit der Basis über dem hexagonalen Prisma zweiter Ordnung $\infty P2 (1\bar{1}\bar{2}0)$ mit der Basis $oP (0001)$ 2.35
- " 26. $\frac{\infty P^3/2}{4} r z\tau (2\bar{1}\bar{3}0)$, oR (0001), Tetartoëdrisches ditrigonales Prisma mit der Basis über dem dihexagonalen Prisma $\infty P^3/2 (2\bar{1}\bar{3}0)$ mit der Basis $oP (0001)$ 5.—
- III. Tetragonales System.
- a) Sphenoëdrische Hemiëdrie:
- " 27. $\frac{P^2}{2} z (212)$, Tetragonales Skalenoëder über der ditetragonalen Pyramide $P2 (212)$ 3.50
- " 28. $\frac{P}{2} z (111)$, Tetragonales Sphenoid über der tetragonalen Pyramide erster Ordnung $P (111)$ 2.—
b) Pyramidale Hemiëdrie:
- " 29. $\left[\frac{P^2}{2} \right] \pi (212)$ Tetragonale Pyramide dritter Ordnung über der ditetragonalen Pyramide $P2 (212)$ 3.50

- Nr. 30. $\left[\frac{\infty P^2}{2} \right] \pi (210), oP (001)$, Tetragonales Prisma dritter Ordnung mit der Basis über dem ditetragonalen Prisma $\infty P2 (210)$ mit der Basis $oP (001)$ 3.20
c) Trapezoëdrische Hemiëdrie:
- " 31. $\frac{P^2}{2} r \tau (122)$, Rechtes tetragonales Trapezoëder über der ditetragonalen Pyramide $P2 (212)$ 4.—
- " 32. $\frac{P^2}{2} l \tau (212)$ Linkes tetragonales Trapezoëder über der ditetragonalen Pyramide $P2 (212)$ 4.—
- IV. Rhombisches System.
- " 33. $+\frac{P}{2} z (111)$, Rechtes rhombisches Sphenoid über der rhombischen Pyramide $P (111)$ 2.—
- " 34. $-\frac{P}{2} z (1\bar{1}1)$, Linkes rhombisches Sphenoid über der rhombischen Pyramide $P (111)$ 2.—

Sammlung von 34 Glas-Krystallmodellen nach vorstehender Aufstellung:

Collection of 34 Glass-models according to the above arrangement

Collection de 34 modèles en verre d'après l'arrangement précédent

Grösse 15—25 cm = Nr. 20 M 150.—

P. Die beiden Sammlungen Nr 19 und Nr. 20 combiniren sich zu einer grösseren Sammlung von 64 Modellen enthaltend die einfachen Grundformen der 6 Krystallsysteme und die Ableitungen der einfachen hemiëdrischen und tetartoëdrischen Formen mit eingeschlossener holoëdrischer Grundform aus Pappe.

P. The two collections Nr. 19 and 20 combined form a larger collection of 64 models, containing the simple fundamental forms of the six systems as well as the derivations of the simple hemihedral and tetartoëdrical forms with the enclosed holohedral form made of card-board.

P. Les deux collections Nr. 19 et 20 jointes ensembles forment une plus grande collection de 64 modèles, comprenant toutes les formes fondamentales des six systèmes aussi bien que les formes hémidiéiques et tetartoëdriques avec la forme holodriique de papier cartonné enfermée dedans.

Sammlung von 64 Glas-Krystallmodellen nach vorstehender Aufstellung:

Collection of 64 Glass-models according to the above arrangement

Collection de 64 modèles en verre d'après les arrangement précédent

Grösse 15—25 cm = Nr. 21 M 240.—

Q. Sammlung von 60 Glas-Krystallmodellen.
Zusammengestellt von Prof. Dr. K. Busz.

Zur Demonstration einfacher Combinationen holoëdrischer, hemiëdrischer und tetartoëdrischer Formen, der gewöhnlichsten hemimorphen Krystalle, sowie der Zwillingsbildung. (Die Zwillingsindividuen drehbar um die Zwillingsaxe.)

Diese Modelle sollen darstellen, in welcher Weise die Flächen einer Form an einer anderen, Kanten oder Ecken abstumpfend oder zuschräfend auftreten. In

vielen Fällen ist es bekanntlich für den Anfänger nicht gerade leicht, sich eine Vorstellung davon zu machen, was für eine Form von an einer Combination auftretenden zusammengehörigen Flächen gebildet wird, und zumal ist dieses bei hemihedrischen Formen der Fall.

Um nun das Verständniss der Combinationen zu erleichtern, sind diese Modelle in folgender Weise hergestellt. Die fertige Combination liegt vor in einem Pappmodell, an welchem die Kanten durch schwarze Linien deutlich kenntlich gemacht sind. Um dieses Pappmodell schliesst sich ein Glasmodell herum, dessen Flächen den an einer Combination auftretenden, zu einer Form gehörigen Flächen entsprechen und zusammen zu einer vollständigen Form sich vereinigen.

Um ein Beispiel anzuführen, nehmen wir das Modell No. 28, einen Eisen-glanz-Krystall der gewöhnlichen Combination $R \times (10\bar{1}1)$, $\frac{4}{3}P2(22\bar{4}3)$, $\frac{1}{4}R \times (10\bar{1}4)$ darstellend. Dem Anfänger wird es häufig Schwierigkeiten bereiten, zu erkennen, dass die Flächen der Form $\frac{4}{3}P2 \times (22\bar{4}3)$ in der That einer hexagonalen Pyramide zweiter Ordnung und nicht etwa einem Skalenoheder angehören; das umgebende Glasmodell entspricht nur mit seinen Flächen denen dieser Deuteropyramide, wodurch natürlich sofort die Natur dieser Form unmittelbar erkannt werden kann.

Die Combinationen sind durchweg solche, wie sie sich an gewöhnlichen Mineralien in der Natur häufig finden.

Collection of 60 Glass Crystal-Models
arranged by Prof. Dr. K. Busz

specially suited for the demonstration of complex crystals of holohedral, hemihedral and tetartohedral forms, of hemimorphous and twin-crystals. The twin-crystals are so arranged that each separate part can be twisted round the twinning-axis.

These models are prepared to show in what manner the faces of one form appear on another either truncating or bevelling its edges or corners.

In many cases it is difficult for the student to see to what form the faces belong which occur together and appear on complex crystals. This must be specially said of hemihedral forms.

In order to assist the student in the investigation, these models are made in the following way. The complex crystal is constructed of card-board, the edges being made conspicuous by black lines. This model is enclosed in a glass model the faces of which correspond with such faces of the complex crystal as belong to one simple form.

Take for instance model No. 28, showing a hematite-crystal; the combination of $R \times (10\bar{1}1)$, $\frac{4}{3}P2(22\bar{4}3)$, $\frac{1}{4}R \times (10\bar{1}4)$. The student may at first sight not notice, that the faces of $\frac{4}{3}P2(22\bar{4}3)$, really, belong to a secondary hexagonal pyramid and not to a Scalenohedron; now the Glass-model of $\frac{4}{3}P2(22\bar{4}4)$ pound the complex crystal shows clearly how these faces would join to form this hexagonal pyramid.

The combinations are throughout such as are commonly found on ordinary crystals in nature.

Collection de 50 modèles de cristaux en verre
arrangée par le Prof. Dr. K. Busz

spécialement recommandable pour la démonstration des combinaisons des formes holédriques, hemihédriques, et tetartohédriques; des cristaux hémimorphiques et des macles.

Les macles sont ainsi arrangées que chaque part peut être tournée autour de la plane de jonction.

Ces modèles montrent de quelle manière les faces d'une forme tronquent ou coupent les arêtes d'une autre. En bien des cas il n'est point facile pour l'étudiant de distinguer à quelle forme appartiennent les faces qui se trouvent ensemble à une des ces combinaisons, et c'est surtout le cas lorsqu'il s'agit de formes hémiédriques.

Pour faciliter l'étude des combinaisons on a construit ces modèles de la manière suivante.

La combinaison complète est reproduite en papier cartonné et les arêtes sont marquées par des lignes noires. Ce modèle est enfermé dans un autre en verre,

dont les faces correspondent avec ces faces-ci de la combinaison qui appartient à une forme simple.

Regardons p. e. le modèle 28 représentant un cristal de l'hematite de la combinaison ordinaire $R \times (10\bar{1}1)$, $\frac{4}{3}P2(22\bar{4}3)$, $\frac{1}{4}R \times (10\bar{1}4)$.

A première vue l'étudiant trouvera difficile de discerner que les faces de la forme $\frac{4}{3}P2(22\bar{4}3)$ sont celle d'une pyramide hexagonale secondaire et non pas celles d'un scalénoèdre. Le modèle en verre enveloppant l'autre montre distinctement, comment ces faces se rencontraient pour former une pyramide hexagonale.

Les modèles produits sont tous des combinaisons qui se trouvent dans des minéraux ordinaires de la nature.

I. Reguläres System.

a) Holoëdrische Formen:

Nr. 1.*	$\infty\infty\infty(100)$, $O(111)$ aus Pappe in Glasmodell	$O(111)$	4.20
2.*	$O(111)$, $\infty\infty\infty(100)$	" " "	$\infty\infty\infty(100)$
"	$\infty O(110)$, $O(111)$	" " "	$O(111)$
"	$O(111)$, $\infty O(110)$	" " "	$\infty O(110)$
"	$\infty\infty\infty(100)$, $\infty O(110)$	" " "	$\infty O(110)$
"	$\infty O(110)$, $202(211)$	" " "	$202(211)$
"	$O(111)$, $202(211)$	" " "	$202(211)$
"	$\infty\infty\infty(100)$, $202(211)$	" " "	$202(211)$
"	$O(111)$, $20(221)$	" " "	$20(211)$
"	$O(111)$, $\infty O2(210)$	" " "	$\infty O2(210)$
"	$\infty\infty\infty(100)$, $\infty O2(210)$	" " "	$\infty O2(210)$
"	$\infty O(110)$, $30^3/2(321)$	" " "	$30^3/2(321)$
"	$\infty\infty\infty(100)$, $30^3/2(321)$	" " "	$30^3/2(321)$

b) Tetraëdrische Hemiëdrie:

" 14.*	$\frac{O}{2} \times (111)$, $\infty\infty\infty(100)$ aus Pappe in Glasmodell	$\infty\infty\infty(100)$	4.20
" 15.*	$\frac{O}{2} \times (111)$, $\infty O(110)$	" " "	$\infty O(110)$
" 16	$\frac{O}{2} \times (111)$, $\frac{202}{2} \times (211)$	" " "	$\frac{202}{2} \times (211)$

c) Pentagonale Hemiëdrie:

" 17.*	$\infty\infty\infty(100)$, $\left[\frac{\infty O2}{2}\right]_{\pi}(210)$ aus Pappe in Glasmodell	$\left[\frac{\infty O2}{2}\right]_{\pi}(210)$	6.70
" 18.*	$O(111)$, $\left[\frac{\infty O2}{2}\right]_{\pi}(210)$ aus Pappe in Glasmodell	$\left[\frac{\infty O2}{2}\right]_{\pi}(210)$	6.70
" 19.	$\infty\infty\infty(100)$, $\left[\frac{30^3/2}{2}\right]_{\pi}(321)$ aus Pappe in Glasmodell	$\left[\frac{30^3/2}{2}\right]_{\pi}(321)$	7.50
" 20.	$\left[\frac{30^3/2}{2}\right]_{\pi}(321)$, $\infty\infty\infty(100)$ aus Pappe in Glasmodell	$\infty\infty\infty(100)$	5.-
" 21.*	$\left[\frac{\infty O2}{2}\right]_{\pi}(210)$, $\left[\frac{30^3/2}{2}\right]_{\pi}(321)$ aus Pappe in Glasmodell	$\left[\frac{30^3/2}{2}\right]_{\pi}(321)$	7.50

II. Hexagonales System.

a) Holoëdrische Formen:

" 22.*	$\infty P(10\bar{1}0)$, $P(10\bar{1}1)$, $\infty P(0001)$, $2P2(11\bar{2}1)$, (Beryll)		10.-
--------	--	--	------

b) Rhomboëdrische Hemiëdrie:

" 23.*	$R \times (10\bar{1}1)$, $-\frac{1}{2}R \times (01\bar{1}2)$, aus Pappe in Glasmodell	$-\frac{1}{2}R \times (01\bar{1}2)$	4.20
--------	---	-------------------------------------	------

Nr. 24.*	$R \times (10\bar{1})$, $-2R \times (02\bar{2}1)$ aus Pappe in Glasmmodell	$-2R \times (02\bar{2}1)$	M	4.20
" 25.*	$4R \times (40\bar{1})$, aus Pappe in Glasmmodell	$R3 \times (21\bar{3}1)$, (Rhomboeder		
	der schärferen [kürzeren] Polkanten)	"	5.-	
" 26.*	$-5R \times (05\bar{5}1)$, aus Pappe in Glasmmodell	$R3 \times (21\bar{3}1)$, (Rhomboeder		
	der stumpferen [längerem] Polkanten)	"	5.-	
" 27.*	$R \times (10\bar{1})$, $\infty P_2 (11\bar{2}0)$ aus Pappe in Glasmmodell	$\infty P_2 (11\bar{2}0)$	"	4.20
	$\circ R (0001)$	"	"	
" 28.	$R \times (10\bar{1})$, $\frac{4}{3}P_2 (22\bar{4}3)$, $\frac{1}{4}R \times (10\bar{1}4)$ aus Pappe in Glasmmodell	$\frac{4}{3}P_2 (22\bar{4}5)$, (Eisenglanz)	"	4.20
	a) Pyramidale Hemiëdrie:			
" 29.*	$\infty P (10\bar{1}0)$, $\circ P (0001)$, $P (10\bar{1}1)$, $2P (20\bar{2}1)$, $\left[\frac{3P^3/2}{2}\right] \pi (21\bar{3}1)$ aus			
	Pappe in Glasmmodell	$\left[\frac{3P^3/2}{2}\right] \pi (21\bar{3}1)$, (Apatit)	"	7.50
	d) Rhomboëdrische Tetartoëdrie:			
" 30.*	$\infty P_2 (11\bar{2}0)$, $-2R \times (02\bar{2}1)$, $\frac{-2R^7/6}{2} \pi \times (14. 13. \bar{1}. 6)$ aus Pappe			
	in Glasmmodell	$\frac{-2R^7/6}{2} \pi \times (14. 13. \bar{1}. 6)$, (Dioptas)	"	5.-
	e) Trapezoëdrische Tetartoëdrie:			
" 31.*	$\infty R (10\bar{1}0)$, $+R \times (10\bar{1}1)$, $-R \times (01\bar{1}1)$, $\frac{4P^4/3}{4} r \times (31\bar{4}1)$, aus Pappe			
	in Glasmmodell	$\frac{4P^4/3}{4} r \times (31\bar{4}1)$, (Quarz, optisch rechtsdrehender		
	Krystall)	"	"	5.85
" 32.	$\infty R (10\bar{1}0)$, $+R \times (10\bar{1}1)$, $-R \times (01\bar{1}1)$, $\frac{4P^4/3}{4} l \times (41\bar{3}1)$, aus Pappe			
	in Glasmmodell	$\frac{4P^4/3}{4} l \times (41\bar{3}1)$, (Quarz, optisch linksdrehender		
	Krystall)	"	"	5.85
	III. Tetragonales System.			
	a) Holoëdrische Formen:			
" 33.*	$P (111)$, $\infty P (110)$, $\circ P (001)$ aus Pappe in Glasmmodell	$\infty P (110)$, $\circ P (001)$	"	4.20
" 34.*	$P (111)$, $\infty P_\infty (100)$, $\circ P (001)$, aus Pappe in Glasmmodell	$\infty P_\infty (100)$, $\circ P (001)$	"	4.20
" 35.*	$\infty P_\infty (100)$, $P (111)$, $\circ P (001)$, aus Pappe in Glasmmodell	$P (111)$, $\circ P (001)$	"	4.20
" 36.	$P (111)$, $P_\infty (101)$, aus Pappe in Glasmmodell	$P_\infty (101)$	"	5.-
" 37.*	$\infty P (110)$, $\infty P_\infty (100)$, $P (111)$, $\circ P (001)$, $P_\infty (101)$, (Vesuvian)	"	"	8.35
	b) Sphenoëdrische Hemiëdrie:			
" 38.*	$+\frac{P}{2} \times (112)$, $-\frac{P}{2} \times (1\bar{1}1)$, $2P_\infty (201)$, aus Pappe in Glasmmodell	$2P_\infty (201)$, (Kupferkies).	"	5.-
	c) Pyramidale Hemiëdrie:			
" 39.*	$P_\infty (101)$, $P (111)$, $\left[\frac{3P^3}{2}\right] \pi (311)$ aus Pappe in Glasmmodell	$\left[\frac{3P^3}{2}\right] \pi (311)$, (Scheelit)	"	5.-
	IV. Rhombisches System.			
" 40.*	$\infty P_\infty (010)$, $\infty P (110)$, $P_\infty (011)$, (Aragonit)	"	"	4.20
" 41.*	$P (111)$, $\frac{1}{3}P (113)$, $\circ P (001)$, $P_\infty (011)$, (Schwefel)	"	"	5.-

Nr. 42.	$\infty P (110)$, $\infty P_\infty (100)$, $\infty P_\infty (010)$, $\circ P (001)$, $P (111)$, $P_\infty (101)$, $P_\infty (011)$, (Olivin)	"		M 5.85
V. Monoklines System.				
" 43.*	$\infty P (110)$, $\infty P_\infty (010)$, $P_\infty (101)$, $\circ P (001)$, $2P_\infty (021)$ (Orthoklas)	"		4.20
" 44.*	$\infty P (110)$, $\infty P_\infty (100)$, $\infty P_\infty (010)$, $P (111)$ (Augit)	"		4.20
VI. Triklines System.				
" 45.*	$\infty P' (110)$, $\infty P' (1\bar{1}0)$, $\infty P_\infty (100)$, $P' (111)$, $P (1\bar{1}1)$, $2P' \infty (201)$ (Axinit, Aufstellung nach Des Cloizeaux)	"		5.-
VII. Hemimorphe Krystalle.				
" 46.	$\frac{\infty R}{2} (10\bar{1}0)$, $R \times (10\bar{1}1)$, $-2R \times (02\bar{2}1)$; am andern Pol			
	$R \times (10\bar{1}1)$, $\circ R (0001)$	"	"	4.20
" 47.	Struvit, $\infty P_\infty (010)$, $P_\infty (101)$, $P_\infty (011)$; am andern Pol $\circ P (001)$, $\frac{1}{3}P_\infty (103)$	"	"	4.20
" 48.	Kieselzinkerz, $\infty P_\infty (010)$, $\infty P (110)$, $\circ P (001)$, $3P_\infty (301)$, $3P_\infty (031)$; am andern Pol $2P_2 (121)$	"	"	5.-
VIII. Zwillings-Krystalle.				
	a) Reguläres System.			
" 49.	O (111), Zwilling nach O (111)	"	"	5.-
" 50.	$\infty O_\infty (100)$, Zwilling nach O (111)	"	"	5.-
" 51.	$\infty O (110)$, Zwilling nach O (111)	"	"	5.85
	b) Hexagonales System.			
" 52.	Kalkspath, $R \times (10\bar{1}1)$, Zwilling nach $\circ R (0001)$	"	"	5.-
" 53.	Kalkspath, $R \times (10\bar{1}1)$, Zwilling nach $-\frac{1}{2}R \times (0112)$	"	"	5.-
	c) Tetragonales System.			
" 54.	Rutil, $\infty P (110)$, $P (111)$, Zwilling nach $P_\infty (101)$	"	"	5.85
	d) Rhombisches System.			
" 55.	Aragonit, $\infty P_\infty (010)$, $\infty P (110)$, $P_\infty (011)$, Zwilling nach $\infty P (110)$	"		6.70
	e) Monoklines System.			
" 56.	Augit, $\infty P_\infty (100)$, $\infty P_\infty (010)$, $\infty P (110)$, $P (1\bar{1}1)$, Zwilling nach $\infty P_\infty (100)$	"		6.70
" 57.	Adular, $\infty P (110)$, $\circ P (001)$, $P_\infty (101)$, Zwilling nach $2P_\infty (021)$	"		6.70
" 58.	Orthoklas, $\circ P (001)$, $\infty P_\infty (010)$, $\infty P (110)$, $2P_\infty (201)$, Zwilling nach $2P_\infty (021)$	"		6.70
" 59.	Orthoklas, $\circ P (001)$, $\infty P_\infty (010)$, $\infty P (110)$, $2P_\infty (201)$, Zwilling nach $\circ P (001)$	"		6.70
	f) Triklines System.			
" 60.	Albit, $\infty P_\infty (010)$, $\infty P' (110)$, $\infty P' (1\bar{1}0)$, $\circ P (001)$, $P_\infty (10\bar{1})$, Zwilling nach $\infty P_\infty (010)$	"		6.70
Sammlung von 60 Glas-Krystallmodellen nach vorstehender Aufstellung:				
Collection of 60 Glass-models according to the above arrangement:				
Collection de 60 modèles en verre d'après l'arrangement précédent:				
Grösse 15—25 cm = Nr. 22 . . . M 300.—				

R. Aus dieser Sammlung wird eine kleinere von 36 Modellen abgegeben bestehend aus den mit * bezeichneten Nummern. Diese enthält nur die einfachsten Combinationen holoëdrischer und hemiëdrischer Formen.

R. From this collection we also select a smaller one of 36 models only consisting of the numbers marked *; and this collection contains only the simplest combinations of holohedral and hemihedral forms.

R. Les numéros de cette collection marquées *, forment une plus petite collection de 36 modèles, qui ne contient que les plus simples combinaisons des formes holœdriques et hemiédriques.

Sammlung von 36 Glas-Krystallmodclien nach vorstehender Aufstellung:
Grösse 15-25 cm = Nr. 23 . . . M 200.-

S. Grosse Sammlung von 135 Glas-Krystallmodellen,
enthaltend die sämmtlichen einfachen holoëdrischen, hemiëdrischen
und tetartoëdrischen Formen, sowie die am häufigsten in der Natur
vorkommenden Combinationen und Zwillingsskristalle.

Large collection of 135 Glass-models containing all the simple holohedral, hemihedral and tetartohedral forms as well as the principal complex and twin crystals occurring in nature.

Grande collection de 135 modèles en verre comprenant tous les formes simples holédriques hémidiériques et tétardédiériques aussi bien que les principales combinaisons et macles des minéraux naturels.

I. Reguläres System.

a) Holoëdrie :

Nr.		M
1.	O (111), das Oktaëder	1.80
"	$\infty\infty\infty$ (100), das Hexaëder	2.40
"	$\infty\infty$ (110), das Dodekaëder	3.35
4.	202 (211), ein Icositetraëder	5.20
"	20 (221), ein Triakisoktaëder	5.30
"	$\infty\infty 2$ (210), ein Tetrakishexaëder	5.30
7.	30^3_{-2} (321), ein Hexakisoktaëder	10. -
"	$\infty\infty\infty$ (100), O (111) aus Pappe in Glasmodell O (111)	4.20
9.	O (111), $\infty\infty\infty$ (100)	4.20
10.	$\infty\infty$ (110), O (111)	5. -
"	O (111), $\infty 0$ (110)	5. -
12.	$\infty\infty\infty$ (100), $\infty 0$ (110)	5. -
"	O (111), 202 (211)	8.35
14.	$\infty\infty\infty$ (100), 202 (211)	8.35
"	$\infty 0$ (110), 202 (211)	8.35
16.	$\infty\infty\infty$ (100), $\infty 0 2$ (210)	8.35
"	$\infty\infty\infty$ (100), 30^3_{-2} (321)	13.35
"	$\infty 0$ (110), 30^3_{-2} (321)	13.35

b) Tetraedrische Hemikäride:

" 19.	$\frac{O}{2} \times (111)$, das Tetraëder über dem Oktaëder O (111)	" 2.-
" 20.	$-\frac{O}{2} \times (\bar{1}\bar{1}\bar{1})$, das negative Tetraëder über dem Oktaëder O (111)	" 2.-
" 21.	$\frac{2O^2}{2} \times (211)$, ein Triakistetraëder über dem Ikositetraëder $2O^2 (211)$	" 5.30
" 22.	$\frac{2O}{2} \times (221)$, ein Deltoiddodekaëder über d. Triakisoktaëder $2O(221)$	" 5.50
" 23.	$3O^3 \frac{1}{2} \times (321)$, ein Hexakistetraëder über dem Hexakisoktaëder $3O^3 \frac{1}{2}(321)$	" 10.50
" 24.	$+\frac{O}{2} \times (111)$, $-\frac{O}{2} \times (\bar{1}\bar{1}\bar{1})$ aus Pappe in Glasmodell O (111)	" 4.20

- | | | | |
|---------|---|---|------|
| Nr. 25. | $\frac{O}{2} \times (111)$, $\infty O \infty$ (100) aus Pappe in Glasmodell $\infty O \infty$ (100) . . . | M | 4.20 |
| " 26. | $\frac{O}{2} \times (111)$, ∞O (110) aus Pappe in Glasmodell ∞O (110) . . . | | 5.- |
| " 27. | $\frac{O}{2} \times (111)$, $-\frac{O}{2} \times (1\bar{1}\bar{1})$ aus Pappe in Glasmodell $\frac{O}{2} \times (111)$. . . | | 3.35 |
| " 28. | $\frac{O}{2} \times (111)$, $\frac{202}{2} \times (211)$ aus Pappe in Glasmodell $\frac{202}{2} \times (211)$. . . | | 5.85 |

c) Pentagonale Hemiedrie:

- | | | |
|-------|--|-------|
| " 29. | $\left[\frac{\infty O2}{2} \right] \pi$ (201), ein Pentagondodekaeder über dem Tetrakis-hexäeder $\infty O2$ (120) | 5.50 |
| " 30. | $-\left[\frac{\infty O2}{2} \right] \pi$ (210), ein negatives Pentagondodekaeder über dem Tetrakishexäeder $\infty O2$ (120) | 5.50 |
| " 31. | $\left[\frac{3O^{3/2}}{2} \right] \pi$ (321), ein Dyakisdodekaeder über dem Hexakisoktaeder $3O^{3/2}$ (321) | 10.50 |
| " 32. | $\infty O\infty$ (100), $\left[\frac{\infty O2}{2} \right] \pi$ (201), aus Pappe in Glasmodell $\left[\frac{\infty O2}{2} \right]$ π (201) | 6.70 |

$\pi(210)$ aus Pappe in Glasmodell $\left[\frac{\infty}{2}\right] \pi(210)$, 6.70

d) Plagiēdrische Hemiēdrie:

e) Tetartoëdrie:

- | | | |
|-------|--|------|
| " 39. | $\frac{30^{3/2}}{4} r \pi\pi$ (123), ein rechtes tetraedrisches Pentagondodekaeder
über dem Hexakistetraeder $\frac{30^{3/2}}{2} \pi(321)$ | 6.50 |
| " 40. | $\frac{30^{3/2}}{2} l \pi\pi$ (213), ein linkes tetraedrisches Pentagondodekaeder
über dem Hexakistetraeder $\frac{30^{3/2}}{2} \pi(321)$ | 6.50 |
| " 41. | $\frac{30^{3/2}}{2} r \pi\pi$ (123), ein rechtes tetraedrisches Pentagondodekaeder
über dem Hexakisoktaeder $30^{3/2} (321)$ | 7.50 |

- Nr. 42. $\frac{30^{3/2}}{4} r \times \pi (123)$, ein rechtes tetraëdrisches Pentagondodekaëder
über dem Dyakisdodekaëder $\left[\frac{30^{3/2}}{2}\right] \pi (321) M 7.50$

II. Hexagonales System.

a) Holoëdrie:

- " 43. P (1011), hexagonale Pyramide erster Ordnung " 2.65
" 44. P2 (1122), hexagonale Pyramide zweiter Ordnung " 2.65
" 45. $\infty P (10\bar{1}0)$, oP (0001), das hexagonale Prisma erster Ordnung mit der Basis " 2.90
" 46. $\infty P2 (11\bar{2}0)$, oP (0001), das hexagonale Prisma zweiter Ordnung mit der Basis " 3.50
" 47. $P^{3/2} (21\bar{3}3)$, eine dihexagonale Pyramide " 5.30
" 48. $\infty P^{3/2} (21\bar{3}0)$, oP (0001) ein dihexagonales Prisma mit der Basis " 5.30
" 49. $\infty P (1010)$, P (1011), oP (0001), 2P2 (1121) (Beryll) " 10.—

a) Rhomboëdrische Hemiëdrie:

- " 50. R3, $\pi (21\bar{3}1)$, hexagonales Skalenoëder über der dihexagonalen Pyramide $3P^{3/2} (21\bar{3}1) " 5.30$
" 51. R, $\pi (10\bar{1}1)$, ein Rhomboëder über der hexagonalen Pyramide P (1011) " 2.70
" 52. R3 $\pi (21\bar{3}1)$, hexagonales Skalenoëder über dem Rhomboëder R $\pi (10\bar{1}1) " 5.—$
" 53. R3 $\pi (21\bar{3}1)$, hexagonales Skalenoëder über dem Rhomboëder 4R $\pi (40\bar{1}1)$ (Rhomboëder der schärferen [kürzeren] Polkanten) " 5.—
" 54. R3 $\pi (21\bar{3}1)$, hexagonales Skalenoëder über dem Rhomboëder $-5R (05\bar{5}1)$ (Rhomboëder der stumpferen [längerer] Polkanten) " 5.—
" 55. R $\pi (10\bar{1}1)$, $-1/2R \pi (0112)$ aus Pappe in Glasmodell $-1/2R \pi (0112) " 4.20$
" 56. R $\pi (10\bar{1}1)$, $-2R \pi (0221)$ " $-2R \pi (0221) " 4.20$
" 57. R $\pi (10\bar{1}1)$, $\infty P2 (11\bar{2}0)$ " $\infty P2 (11\bar{2}0)$, oR (0001) " 4.20
" 58. R $\pi (10\bar{1}1)$, $4/3P2 (224\bar{3})$, $1/4R \pi (10\bar{1}4)$ aus Pappe in Glasmodell $4/3P2 (224\bar{3})$ (Eisenglanz) " 4.20
" 59. $\frac{\infty P^{3/2}}{4} \pi (21\bar{3}0)$, oR (0001), ditrigonales (rhomboëdrisch-hemimorphes) Prisma mit der Basis, über dem dihexagonalen Prisma $\infty P^{3/2} (21\bar{3}0)$ mit der Basis " 5.—
" 60. $\frac{\infty R}{2} \pi (1010)$, oR (0001), trigonales (rhomboëdrisch-hemimorphes) Prisma mit der Basis, über dem hexagonalen Prisma erster Ordnung $\infty P (1010)$ mit der Basis oP (0001) " 2.35
" 61. $\frac{\infty R}{2} (1010)$, R $\pi (10\bar{1}1)$, $-2R \pi (0221)$, am andern Pol R $\pi (10\bar{1}1)$, oR (0001) (Turmalin) " 4.20

b) Pyramidale Hemiëdrie:

- " 62. $\frac{P^{3/2}}{2} \pi (21\bar{3}3)$, hexagonale Pyramide dritter Ordnung über der dihexagonalen Pyramide $P^{3/2} (21\bar{3}3) " 5.30$

- Nr. 63. $\frac{\infty P^{3/2}}{2} \pi (21\bar{3}0)$, oP (0001), hexagonales Prisma dritter Ordnung mit der Basis über dem dihexagonalen Prisma $\infty P^{3/2} (21\bar{3}0)$ mit der Basis oP (0001) " 5.—
" 64. $\infty P 10\bar{1}0$, oP (0001), P (10\bar{1}1), 2P (20\bar{2}1), $\left[\frac{3P^{3/2}}{2}\right] \pi (21\bar{3}1)$ aus Pappe in Glasmodell $\left[\frac{3P^{3/2}}{2}\right] \pi (21\bar{3}1)$ (Apatit) " 7.50
d) Trapezoëdrische Hemiëdrie:
" 65. $\frac{P^{3/2}}{2} r \pi (21\bar{3}3)$, rechtes hexagonales Trapezoëder über der dihexagonalen Pyramide $P^{3/2} (21\bar{3}3) " 5.—$
" 66. $\frac{P^{3/2}}{2} l \pi (31\bar{2}3)$, linkes hexagonales Trapezoëder über der dihexagonalen Pyramide $P^{3/2} (21\bar{3}3) " 5.—$
e) Rhomboëdrische Tetartoëdrie:
" 67. $\frac{P^{3/2}}{4} \pi (21\bar{3}3)$, Rhomboëder dritter Ordnung über der dihexagonalen Pyramide $P^{3/2} (21\bar{3}3) " 4.—$
" 68. $\frac{P^{3/2}}{4} \pi (21\bar{3}3)$, Rhomboëder dritter Ordnung über dem hexagonalen Skalenoëder $1/3R3 \left(\frac{P^{3/2}}{2}\right) \pi (21\bar{3}3) " 4.—$
" 69. $\infty P2 (11\bar{2}0)$, $-2R \pi (0221)$, $\frac{-2R^7/6}{2} \pi (14. \bar{13}. \bar{1}. 6)$ aus Pappe in Glasmodell $\frac{-2R^7/6}{2} \pi (14. \bar{13}. \bar{1}. 6)$ (Dioptas) " 5.—
f) Trapezoëdrische Tetartoëdrie:
" 70. $\frac{P^{3/2}}{4} r \pi (21\bar{3}3)$, rechtes trigonales Trapezoëder über der dihexagonalen Pyramide $P^{3/2} (21\bar{3}3) " 3.35$
" 71. $\frac{P^{3/2}}{4} r \pi (21\bar{3}3)$, rechtes trigonales Trapezoëder über dem hexagonalen Skalenoëder $1/3R3 \left(\frac{P^{3/2}}{2}\right) \pi (21\bar{3}3) " 2.70$
" 72. $\frac{P^{3/2}}{4} l \pi (31\bar{2}3)$, linkes trigonales Trapezoëder über dem hexagonalen Skalenoëder $1/3R3 \left(\frac{P^{3/2}}{2}\right) \pi (21\bar{3}3) " 2.70$
" 73. $\frac{P2}{4} r \pi (11\bar{2}2)$, eine trigonale Pyramide über der hexagonalen Pyramide zweiter Ordnung P2 (11\bar{2}2) " 2.70
" 74. $\frac{\infty P2}{4} r \pi (11\bar{2}0)$, oR (0001), ein trigonales Prisma mit der Basis über dem hexagonalen Prisma zweiter Ordnung $\infty P2 (11\bar{2}0)$ mit der Basis oP (0001) " 2.55
" 75. $\frac{\infty P^{3/2}}{4} r \pi (21\bar{3}0)$, oR (0001), ein ditrigonales Prisma mit der Basis über dem dihexagonalen Prisma $\infty P^{3/2} (21\bar{3}0)$, mit der Basis oP (0001) " 5.—

- Nr. 76. $\infty R(10\bar{1}0)$, $+Rz(10\bar{1}\bar{1})$, $-Rz(01\bar{1}\bar{1})$, $\frac{4P^4/3}{4} r z \tau(3141)$ aus Pappe
in Glasmodell $\frac{4P^4/3}{4} r z \tau(3141)$ (Quarz, optisch rechtsdrehender Krystall) M 5.85
- " 77. $\infty R(1010)$, $+Rz(10\bar{1}\bar{1})$, $-Rz(01\bar{1}\bar{1})$, $\frac{4P^4/3}{4} l z \tau(41\bar{3}1)$ aus Pappe
in Glasmodell $\frac{4P^4/3}{4} l z \tau(41\bar{3}1)$ (Quarz, optisch linksdrehender Krystall) " 5.85

III. Tetragonales System.

a) Holoëdrische Formen:

- " 78. P(111), tetragonale Pyramide erster Ordnung " 1.80
- " 79. $\infty P(101)$, tetragonale Pyramide zweiter Ordnung " 1.80
- " 80. $\infty P(110)$, oP(001), das tetragonale Prisma erster Ordnung mit der Basis " 2.—
- " 81. $\infty P\infty(100)$, oP(001), das tetragonale Prisma zweiter Ordnung mit der Basis " 2.50
- " 82. P 3 (133), eine ditetragonale Pyramide " 3.50
- " 83. $\infty P2(120)$, oP(001), ein ditetragonales Prisma mit der Basis " 3.75
- " 84. P(111), $\infty P(110)$, oP(001), aus Pappe in Glasmodell $\infty P(110)$, oP(001) " 4.20
- " 85. P(111), $\infty P\infty(100)$, oP(001), aus Pappe in Glasmodell $\infty P\infty(100)$, oP(001) " 4.20
- " 86. $\infty P\infty(100)$, P(111), oP(001), aus Pappe in Glasmodell P(111) " 4.20
- " 87. P(111), $P\infty(101)$, aus Pappe in Glasmodell $P\infty(101)$ " 5.—
- " 88. oP(110), $\infty P\infty(100)$, P(111), oP(001), $P\infty(101)$ (Vesuvian) " 8.35

b) Sphenoëdrische Hemiëdrie:

- " 89. $\frac{P_2}{2} z(212)$, tetragonales Skalenödeder über der ditetragonalen Pyramide P2(212) " 3.60
- " 90. $\frac{P}{2} z(111)$, tetragonales Sphenoid über der tetragonalen Pyramide erster Ordnung P(111) " 2.—
- " 91. $+\frac{P}{2} z(111)$, $-\frac{P}{2} z(1\bar{1}\bar{1})$, $2P\infty(201)$, aus Pappe in Glasmodell $2P\infty(201)$ (Kupferkies) " 5.—

b) Pyramidale Hemiëdrie:

- " 92. $\left[\frac{P_2}{2}\right] z(212)$, tetragonale Pyramide dritter Ordnung über der ditetragonalen Pyramide P2(212) " 3.60
- " 93. $\left[\infty P2\right] z(210)$, oP(001), tetragonales Prisma dritter Ordnung mit der Basis über dem ditetragonalen Prisma $\infty P2(210)$, mit der Basis oP(001) " 3.15
- " 94. $P\infty(101)$, P(111), $\left[\frac{3P_3}{2}\right] z(311)$, aus Pappe in Glasmodell $\left[\frac{3P_3}{2}\right] z(011)$ (Scheelit) " 5.—

e) Trapezoëdrische Hemiëdrie:

- " 95. $\frac{P_2}{2} r \tau(122)$, rechtes tetragonales Trapezoëdeder über der ditetragonalen Pyramide P2(212) " 4.—

- Nr. 96. $\frac{P_2}{2} 1 \tau(212)$, linkes tetragonales Trapezoëdeder über der ditetragonalen Pyramide P2(212) " 4.—
- e) Sphenoidische Tetartoëdrie:
- " 97. $\frac{P_2}{4} z\tau(122)$, tetragonales Sphenoid dritter Ordnung über der ditetragonalen Pyramide P2(212) " 2.50

IV. Rhombisches System.

a) Holoëdrische Formen:

- " 98. P(111), rhombische Pyramide " 1.80
- " 99. $\infty P(110)$, oP(001), rhombisches Prisma mit der dazu senkrechten Symmetrieebene; nach vorstehendem Symbol vertikales Prisma mit der Basis " 2.—
- " 100. $P\infty(101)$, $\infty P\infty(010)$, ein Makrodoma mit dem Brachypinakoid und eingezogenen Kanten der Pyramide P(111) " 3.10
- " 101. $P\infty(011)$, $\infty P\infty(100)$, ein Brachydoma mit dem Makropinakoid und eingezogenen Kanten der Pyramide P(111) " 3.10
- " 102. $\infty P\infty(100)$, $\infty P\infty(010)$, oP(001), Combination der drei rhombischen Pinakoide (Symmetrieebenen) " 2.50
- " 103. $\infty P\infty(010)$, $\infty P(110)$, $P\infty(011)$ (Aragonit) " 4.20
- " 104. P(111), $\frac{1}{3}P(113)$, oP(001), $P\infty(011)$ (Schwefel) " 5.—
- " 105. $\infty P(110)$, $\infty P\infty(100)$, $\infty P\infty(010)$, oP(001), P(111), $P\infty(101)$, $P\infty(011)$ (Olivin) " 5.85
- " 106. $\infty P\infty(010)$, $P\infty(101)$, $P\infty(011)$, am andern Pol oP(001), $\frac{1}{3}P\infty(103)$ (Struvit)* " 4.20
- " 107. $\infty P\infty(010)$, $\infty P(110)$, oP(001), $3P\infty(301)$, $3P\infty(031)$, am andern Pol 2P 2 (121) (Kieselzinkerz)* " 5.—

b) Hemiëdrische Formen:

- " 108. $+\frac{P}{2} z(111)$, rechtes rhombisches Sphenoid über der rhombischen Pyramide P(111) " 2.—
- " 109. $-\frac{P}{2} z(111)$, linkes rhombisches Sphenoid über der rhombischen Pyramide P(111) " 2.—
- " 110. $\infty P(110)$, $\frac{P}{2} z(111)$ (Epsomit) " 3.—

V. Monoklines System.

- " 111. $+P(\bar{1}11)$, $-P(11\bar{1})$, Combination von zwei monoklinen Hemipyramiden " 1.80
- " 112. $\infty P(110)$, oP(001), monoklines Prisma mit der Basis " 2.—
- " 113. $\infty P\infty(100)$, $\infty P\infty(010)$, oP(001), das Orthopinakoid, Klinopinakoid und die Basis " 2.65
- " 114. $\infty P\infty(010)$, $\infty P(110)$, $-P(11\bar{1})$, $+P(\bar{1}1\bar{1})$ (Gyps) " 4.20
- " 115. $\infty P(110)$, oP(001), $P\infty(101)$ (Adular) " 3.—
- " 116. $\infty P(110)$, $\infty P\infty(010)$, $P\infty(101)$, oP(001), $2P\infty(021)$ (Orthoklas) " 4.20
- " 117. $\infty P(110)$, $\infty P\infty(100)$, $\infty P\infty(010)$, P(111) (Augit) " 4.20
- " 118. $\infty P\infty(100)$, oP(001), $P\infty(101)$, $\infty P(110)$, P(111) (Epidot) " 4.20

VI. Triklines System.

- " 119. P'(111), P'(11\bar{1}) , P(1\bar{1}\bar{1}), P(\bar{1}\bar{1}\bar{1}) , Combination von vier Viertelpyramiden mit gleichen Axenlängen " 2.—
- " 120. $\infty' P(110)$, $\infty' P'(110)$, oP(001), triklines Prisma mit der Basis " 2.25

*) Hemimorph.

Nr. 121.	$\alpha P\bar{\infty}$ (100), $\alpha P\bar{\infty}$ (010), αP (001), die drei Pinakoide (Axenebenen eines triklinen Krystals)	M 2.—
" 122.	$\alpha P\bar{\infty}$ (100), $\alpha P'$ (110), αP (110), αP (001), $P\bar{\infty}$ (101) (Abit)	" 4.20
" 123.	$\alpha P'$ (110), αP (110), $\alpha P\bar{\infty}$ (100), P (111), P (111), $2P'\bar{\infty}$ (201) (Axinit, Aufstellung nach Des Cloizeaux).	" 4.20

VII. Zwillings-Kristalle.

a) Reguläres System.

" 124.	O(111), Zwilling nach O(111)	" 5.—
" 125.	$\infty O\infty$ (100), Zwilling nach O(111)	" 5.—
" 126.	∞O (110), Zwilling nach O(111)	" 5.85

b) Hexagonales System.

" 127.	Kalkspat Rz(1011), Zwilling nach oR(0001)	" 5.—
" 128.	" Rz(1011), " $-1/2R$ (0112)	" 5.—

c) Tetragonales System.

" 129.	Rutil, ∞P (110), P(111), Zwilling nach $P\infty$ (101)	" 5.85
--------	--	--------

d) Rhombisches System.

" 130.	Aragonit, $\alpha P\bar{\infty}$ (010), ∞P (110), $P\bar{\infty}$ (011), Zwilling nach ∞P (110)	" 6.70
--------	---	--------

e) Monoklines System.

" 131.	Adular, ∞P (110), αP (001), $P\infty$ (101), Zwilling nach $2P\infty$ (021)	" 6.70
--------	---	--------

" 132.	Orthoklas, αP (001), $\infty P\infty$ (010), ∞P (110), $2P\infty$ (201), Zwilling nach $2P\infty$ (021)	" 6.70
--------	---	--------

" 133.	Orthoklas, αP (001), $\infty P\infty$ (010), ∞P (110), $2P\infty$ (201), Zwilling nach αP (001)	" 6.70
--------	---	--------

" 134.	Augit, αP (001), $\infty P\infty$ (010), ∞P (110), P(111), Zwilling nach $\infty P\infty$ (100)	" 6.70
--------	---	--------

f) Triklines System.

" 135.	Albit, $\alpha P\bar{\infty}$ (010), $\infty P'$ (110), ∞P (110), αP (001), $P\bar{\infty}$ (101), Zwilling nach $\alpha P\bar{\infty}$ (010)	" 6.70
--------	---	--------

Sammlung von 135 Glas-Krystallmodellen nach vorstehender Aufstellung:

Collection of 135 Glass-models according to the above arrangement:

Collection de 135 modèles en verre d'après l'arrangement précédent:

Größe 15—25 cm = Nr. 24 M 585.—

T. Sammlung von 102 Glas-Krystallmodellen

aus Tafelglas,

enthaltend die von den 32 möglichen Klassen von Krystallformen bisher beobachteten 30 Klassen.

Zusammengestellt und erläutert

von

Dr. H. Baumhauer,

Professor der Mineralogie an der Universität Freiburg i. d. Schweiz.

Hierzu Special-Katalog Nr. 12.

T. Collection of 102 crystal models of glass of the 32 possible classes of crystals; this collection contains the 30 classes, which have been observed on crystals in nature. Compiled and explained by Prof. Dr. H. Baumhauer.
(Cf. Spec. Cat. Nr. 12.)

T. Collection de 102 modèles de cristaux en verre des 32 classes de cristaux possibles. Cette collection contient les 30 classes, qu'on a observées dans la nature. Compilée et expliquée par Prof. Dr. H. Baumhauer.
(Cf. cat. spé. Nr. 12.)

Sammlung von 102 Glas-Krystallmodellen nach Katalog Nr. 12:

Collection of 102 Glass-models according to the Catalogue Nr. 12:

Collection de 102 modèles en verre, d'après le catalogue Nr. 12:

Größe 15—25 cm = Nr. 25 M 350.—

U. Systematisch-krystallographische Sammlung von 81 Glasmodellen

zur Erklärung der Beziehungen der einfachen Formen einer Krystallklasse zu den entsprechenden Formen der übrigen Klassen desselben Systems (wie zur Ableitung der hemiödrischen und tetartoëdrischen Formen aus den holoëdrischen). Zusammengestellt nach den Angaben von Prof. Dr. J. Beckenkamp.

Diese Sammlung bezweckt bei der ersten Einführung in die geometrische Krystallographie die Beziehungen der einfachen Formen einer Krystallklasse zu den entsprechenden Formen der übrigen Klassen desselben Systems zu veranschaulichen. Zu diesem Zwecke sind bei den hemiödrischen und tetartoëdrischen Klassen die Glasmodelle in der bekannten Weise über die entsprechenden holoëdrischen Cartonmodelle gelegt. Es sind überall die positiven, beziehungsweise rechten Flächengruppen weiß, die negativen entweder schwarz, gelb, rot oder braun, die linken blau colorirt; dadurch lassen sich die enantiomorphen Klassen sofort übersehen.

Bei den tetartoëdrischen Klassen, die nach der ebenfalls bekannten Methode durch gleichzeitige Anwendung zweier verschiedener hemiödrischer Theilungen hervorgebracht gedacht werden, sind für die vier Flächengruppen des Holoëders die entsprechenden Mischfarben verwendet.

In den holoëdrischen Klassen sind die einfachen Formen als Glasmodelle mit eingezogenen Axenfäden dargestellt. Die hemiödrischen, beziehungsweise tetartoëdrischen Formen, welche in mehreren Klassen auftreten, sind nur einmal, und zwar in derjenigen Klasse vorhanden, welche in der aufgeführten Reihenfolge zuerst genannt wird.

Statt der übrigen Formen können die entsprechenden holoëdrischen Formen als Carton-Modelle in der Klasse entsprechenden Colorirung, aber ohne Glasbeliegung bezogen werden. Diese lassen nicht nur die jedesmal resultirenden hemiödrischen bez. tetartoëdrischen Formen erkennen, sondern eignen sich vor allem auch dazu, die Verschiedenheit der Flächensymmetrie derselben einfachen Formen bei den verschiedenen Klassen zu erkennen. Die Zahl der Carton-Modelle (CM) ist bei jeder Klasse hinter den Glasmodellen angegeben*).

Die Sammlung erscheint zwar sehr bunt, aber deshalb auch gerade sehr übersichtlich. Sie enthält folgende Modelle:

U. Systematic crystallographic collection of 81 glass models serving to explain the relations of the simple forms of one class of crystals to the corresponding forms belonging to the other classes of the same system, and also to aid in deriving the hemihedral and tetartoëdrical forms from the holohedral ones. Compiled according to the instructions of Prof. Dr. J. Beckenkamp.

Rem. This collection is intended to illustrate the relations of the simple forms of one class of crystals to the corresponding forms of another of the same system, of which the study of geometrical crystallography is new. For this reason the glass models of the hemihedral and tetartoëdrical classes are constructed round the cardboard models in the well known manner. The positive

*) Vollständiges Verzeichnis der Cartonmodelle siehe Seite 62 sqq.

resp. right groups of faces are white, the negative ones either black, yellow, red or brown, the left blue; by this means it is perfectly easy to see the enantiomorphous classes at a glance.

In the tetartohedral classes, which, according to the well known method, we presume to be produced by the simultaneous influence of two hemihedral laws, the corresponding secondary colours are used for the four groups of faces of the holohedral crystal.

The simple forms of the holohedral classes are represented by glass models with inserted silk threads, which form the axis.

This collection presents a mixture of many gay colours but is for this very reason most easy to understand.

I. Collection systématique cristallographique de 81 modèles de cristaux en verre, pour la démonstration des relations des formes simples d'une classe de cristaux aux formes correspondantes des autres classes du même système, et encore pour la déduction des formes hémédriques et tétaoédriques des formes holédriques. Compilée d'après les instructions du Prof. Dr. J. Beckenkamp.

Cette collection est arrangée pour illustrer les relations des formes simples d'une classe de cristaux aux formes correspondantes d'une autre classe du même système, compilée pour l'introduction des étudiants dans la cristallographie géométrique.

Pour cette raison les modèles en verre des classes hémédriques et tétaoédriques sont construits enveloppant les modèles de papier cartonné de la manière bien connue. Les groupes des faces positives ou droites sont blanches, les groupes négatives sont colorées noires, jaunes, rouges ou brunes. Les groupes gauches sont colorés bleus. Par ce moyen il est parfaitement facile de distinguer les classes enantiomorphiques.

Dans les classes tétaoédriques, qui suivant la méthode bien connue nous presupposons d'être produites par l'influence simultanée de deux lois de hémédrie, les couleurs secondaires sont employées pour les quatre groupes des faces des cristaux holédriques.

Les formes simples des classes holédriques sont représentées par des modèles en verre, dans lesquelles les axes sont marquées par des fils de soie.

Cette collection a certainement l'air bien colorée mais from cette raison même, elle est très facile à comprendre.

I. Reguläres System.

a) Holoëdrische (hexakisoktaëdrische) Klasse.

Nr. 1.	Hexakisoktaëder mOn (hkl)	10.—
" 2.	Ikositetraëder mOm (hkk)	5.50
" 3.	Tetrakishexaëder ∞ On (lk0)	5.35
" 4.	Triakisoktaëder mO (hhk)	5.50
" 5.	Rhombindodekaëder ∞ O (110)	3.30
" 6.	Hexaëder ∞ O (100)	2.40
" 7.	Oktaëder O (111)	1.80

b) Tetraëdrische (hexakistetraëdrische) Klasse.

Die positiven Flächen der eingezogenen Cartonmodelle sind weiss, die negativen gelb colorirt.		
" 8.	Ableitung des Hexakistetraëders aus dem Hexakisoktaëder	10.50
" 9.	Ableitung des Triakistetraëders aus dem Ikositetraëder	5.50
" 10.	Ableitung des Deltoiddodekaëders aus dem Triakisoktaëder	5.50
" 11.	Ableitung des Tetraëders aus dem Oktaëder	2.—
	3 CM	6.—

c) Pentagonale (dyakisododekaëdrische) Klasse.

Die positiven Flächen der in die Glasmodelle eingezogenen Cartonmodelle sind weiss, die negativen roth colorirt.		
Nr. 12.	Ableitung des Dyakisododekaëders aus dem Hexakisoktaëder	10.50

Nr. 13. Ableitung des Pentagondodekaëders aus dem Tetrakis hexaëder 5 CM 5.50
" 14. Ableitung des rechten Pentagon-Ikositetraëders aus dem Hexakisoktaëder 10.50

d) Gyroëdrische (pentagon-ikositetraëdrische) Klasse.

Die rechten Flächen der Cartonmodelle sind weiss, die linken blau colorirt.

" 15. Ableitung des linken Pentagon-Ikositetraëders aus dem Hexakisoktaëder 10.50

" 16. Ableitung des linken Pentagon-Ikositetraëders aus dem Hexakisoktaëder 6 CM 12.—

e) Tetartoëdrische (tetraëdrisch-pentagondodekaëdrische) Klasse.

Die Körper dieser Klassen sind abgeleitet durch nacheinander erfolgte Anwendung der gyroëdrischen (linke Flächen: blau) und der tetraëdrischen Hemidrie (negative Flächen: gelb). Daher sind bei den eingezogenen Cartonmodellen die Flächen der positiven Oktanten weiss und hellblau, die der negativen Oktanten hellgelb und grün (gelb+blau) colorirt.

Nr. 16. Ableitung des rechten tetraëdrischen Pentagondodekaëders aus dem Hexakisoktaëder 7.50

" 17. Ableitung des linken tetraëdrischen Pentagondodekaëders aus dem Hexakisoktaëder 6 CM 7.50
" 18. Ableitung des linken tetraëdrischen Pentagondodekaëders aus dem Hexakisoktaëder 12.—

II. Tetragonales System.

a) Holoëdrische (ditetragonal-bipyramidal) Klasse.

" 18.	Ditetragonale Bipyramide mPn (hkl)	3.70
" 19.	Tetragonale Bipyramide erster Art mP (hhl)	1.80
" 20.	" zweiter Art mP ∞ (h0l)	1.80
" 21.	Ditetragonales Prisma ∞ Pn (hk0) mit Basis (001)	3.70
" 22.	Tetragonales Prisma erster Art ∞ P (110) mit Basis (001)	2.—
" 23.	" zweiter Art ∞ P ∞ (100) mit Basis (001)	2.40

b) Hemimorphe (ditetragonale) Klasse.

" 24.	Ditetragonale Pyramide mPn (hkl) mit Basis OP (001)	3.—
	6 CM (weiss und schwarz colorirt)	12.—

c) Sphenoëdrische (skalenoëdrische) Klasse.

Die positiven Flächen der Cartonmodelle sind weiss, die negativen gelb colorirt.

Nr. 25. Ableitung des Skalenoëders aus der ditetragonalen Bipyramide 3.70

" 26. Ableitung des Bisphenoids (Tetraëders) aus der tetragonalen Bi-pyramide erster Art 2.—

4 CM 8.—

d) Pyramidale (tetragonal-bipyramidal) Klasse.

Die positiven Flächen der Cartonmodelle sind weiss, die negativen roth colorirt.

Nr. 27. Ableitung der tetragonalen Bipyramide dritter Art aus der ditetragonalen Bipyramide 3.50

" 28. Ableitung des tetragonalen Prisma dritter Art aus dem ditetragonalen Prisma 3.35

4 CM 8.—

e) Trapezoëdrische (tetragonal-trapezoëdrische) Klasse.

Die positiven Flächen der Cartonmodelle sind weiss, die negativen blau colorirt.

Nr. 29. Ableitung des rechten tetragonalen Trapezoëders aus der ditetragonalen Bipyramide 4.20

" 30. Ableitung des linken tetragonalen Trapezoëders aus der ditetragonalen Bipyramide 4.20

5 CM 10.—

f) Tetartoëdrische (bisphenoidische) Klasse.

Die Körper dieser Klasse sind abgeleitet durch nacheinander erfolgte Anwendung der pyramidalen (negative Flächen: roth) und der sphenoidischen Hemiëdrie (negative Flächen: gelb). Daher sind bei den den Glasmodellen dieser Klasse eingezogenen Flächen die der positiven Oktanten weiss und hellroth (weiss+roth), Cartonmodellen die Flächen der negativen Oktanten hellgelb und orange (gelb+roth) colorirt.

Nr. 31.	Ableitung des Bisphenoids dritter Art aus der ditetragonalen Bi-pyramide	M 2.70
	5 CM	" 10.—

g) Hemimorph-hemiëdrische (tetragonal-pyramidal) Klasse.

Nr. 32.	Rechte tetragonale Pyramide dritter Art mit Basis	M 2.50
" 33.	Linke tetragonale Pyramide dritter Art mit Basis	" 2.50

" 33.	6 CM (weiss, hellblau, grau und dunkelblau colorirt)	" 12.—
-------	--	--------

III. Rhombisches System.

a) Holoëdrische (bipyramidal) Klasse.

Nr. 34.	Bipyramide P(111)	M 1.80
" 35.	Rhombisches Prisma ∞P (110) mit Basis oP(001)	" 2.—
" 36.	Rhombisches Brachydome $P\bar{x}$ (011) mit Makrodome $P\bar{x}$ (101)	" 1.90
" 37.	Die drei rhombischen Pinakoide $\infty P\bar{x}$ (100), $\infty P\bar{x}$ (010), oP(001)	" 2.40

b) Hemimorphe (pyramidal) Klasse.

" 38.	Pyramide P(111) mit Basis oP(001)	" 2.—
	4 CM (weiss und schwarz colorirt)	" 8.—

c) Hemiëdrische (bisphenoidische) Klasse.

	Die rechten Flächen der Cartonmodelle sind weiss, die linken blau colorirt.	
Nr. 39.	Ableitung des rechten rhombischen Sphenoids aus der rhombischen Bipyramide	M 2.20
" 40.	Ableitung des linken rhombischen Sphenoids aus der rhombischen Bipyramide	" 2.20

" 40.	3 CM	" 6.—
-------	----------------	-------

IV. Monoklines System.

a) Holoëdrische (prismatische) Klasse.

" 41.	Combination der beiden monoklinen Hemipyramiden $\pm P(111)(\bar{1}\bar{1}1)$	" 1.80
" 42.	Monokline Prisma $\infty P(110)$ mit Basis oP(001)	" 2.40
" 43.	Die drei monoklinen Pinakoide $\infty P\bar{x}(100)$, $\infty P\bar{x}(010)$, oP(001)	" 2.70
" 44.	Klinodoma $P\bar{o}(011)$ mit Orthodoma $P\bar{x}(101)$	" 2.40

	1 CM (weiss und gelb colorirt)	" 2.—
--	--	-------

b) Hemiëdrische (domatische) Klasse.

" 45.	Vordere monokline Pyramide mit dem hinteren Orthopinakoid	" 2.—
	1 CM (weiss, hellroth, hellgelb und orange colorirt)	" 2.—

c) Hemimorphe (sphenoidische) Klasse.

" 46.	Rechte monokline Pyramide mit dem linken Klinopinakoid	" 2.—
	1 CM (weiss, hellgelb, hellblau und grün colorirt)	" 2.—

V. Triklines System.

a) Holoëdrische (pinakoidal) Klasse.

" 47.	Combination der triklinen Pyramiden P'(111), P(111), P _r (111), P(111)	" 1.90
" 48.	Triklines Makropinakoid mit dem Brachypinakoid und der Basis $\infty P\bar{x}(100)$, $\infty P\bar{x}(010)$, oP(001)	" 2.70

	1 CM P'(weiss), P _r P(graue)	" 2.—
--	---	-------

b) Hemiëdrische (pediale) Klasse.

Nr. 49.	Vordere trikline Pyramide mit dem hinteren Makropinakoid (111) (111)(111)(111) $\frac{P'}{2}$, (100) $\frac{\infty P\bar{o}}{2}$	M 2.46
	1 CM $\frac{P'}{2}$ (weiss), $\frac{P'}{2}$ (blau)	" 2.—

VI. Hexagonales System.

a) Holoëdrische (dihexagonal-bipyramidal) Klasse.

" 50.	Dihexagonale Bipyramide mPn (hikl)	M 5.35
" 51.	Hexagonale Bipyramide erster Art P(1011)	" 2.70
" 52.	" zweiter Art mP2 (h. h. 2h. l)	" 2.70
" 53.	Dihexagonales Prisma ∞Pn (hiko) mit Basis (0001)	" 5.35
" 54.	Hexagonales Prisma erster Art ∞P (1010) mit Basis (0001)	" 2.85
" 55.	" zweiter Art $\infty P2$ (1120) mit Basis (0001)	" 3.50

b) Hemimorphe (dihexagonal-pyramidal) Klasse.

" 56.	Dihexagonale Pyramide mPn (hikl) mit Basis oP(0001)	" 4.35
" 57.	Hexagonale Pyramide erster Art P(1011) mit Basis (0001)	" 4.20
" 58.	Hexagonale Pyramide zweiter Art P2(1121) mit Basis (0001)	" 4.20

6 CM (weiss und schwarz colorirt)

c) Trigonal-hemiëdrische (ditrigonal-bipyramidal) Klasse.

Die positiven Flächen der eingezogenen Cartonmodelle sind weiss, die negativen braun colorirt.

Nr. 59.	Ableitung der ditrigonalen Bipyramide aus der dihexagonalen Bipyramide	M 3.70
" 60.	Ableitung der trigonaleu Bipyramide erster Art aus der hexagonalen Bipyramide erster Art	" 2.70
" 61.	Ableitung des ditrigonalen Prisma aus dem dihexagonalen Prisma	" 5.—
" 62.	Ableitung des trigonalen Prisma erster Art aus dem hexagonalen Prisma erster Art	" 2.70

2 CM

d) Rhomboëdrisch-hemiëdrische (ditrigonal-skalenoëdrische) Klasse.

Die positiven Flächen der Cartonmodelle sind weiss, die negativen gelb colorirt.

Nr. 63.	Ableitung des ditrigonalen Skalenoëders aus der dihexagonalen Bipyramide	M 5.35
" 64.	Ableitung des Rhomboëders erster Art aus der hexagonalen Bipyramide	" 2.90

4 CM

e) Pyramidal-hemiëdrische (hexagonal-bipyramidal) Klasse.

Die positiven Flächen der Cartonmodelle sind weiss, die negativen roth colorirt.

Nr. 65.	Ableitung der hexagonalen Bipyramide dritter Art aus der dihexagonalen Bipyramide	M 5.35
" 66.	Ableitung des hexagonalen Prisma dritter Art aus dem dihexagonalen Prisma	" 5.—

4 CM

f) Trapezoëdrische (hexagonal-trapezoëdrische) Klasse.

Die rechten Flächen der Cartonmodelle sind weiss, die linken blau colorirt.

Nr. 67.	Ableitung des rechten hexagonalen Trapezoëders aus der ditetragonalen Bipyramide	M 5.35
---------	--	--------

Nr. 68.	Ableitung des linken hexagonalen Trapezoëders aus der dihexagonalen Bipyramide	M 5.35 " 10.— 5 CM
<i>g) Hemimorph-hemiédrische (ditrigonal-pyramidal) Klasse.</i>		
Nr. 69.	Ditrigonale Pyramide mPn (hikl) mit Basis oP(0001)	M 2.85
" 70.	Trigonale Pyramide P(1011) mit Basis oP(0001)	" 2.35 " 10.— 6 CM (weiss, hellblau, dunkelblau und grau colorirt)
<i>b) Pyramidal-hemimorphe (hexagonal-pyramidal) Klasse.</i>		
Nr. 71.	Rechte hexagonale Pyramide dritter Art r $\left[\frac{mPn}{2}\right] \pi$ (kihl) mit Basis (0001)	M 2.70
" 72.	Linke hexagonale Pyramide dritter Art l $\left[\frac{mPn}{2}\right] \pi$ (hikl) mit Basis (0001)	" 2.70 " 12.— 6 CM (weiss, hellblau, grau und dunkelblau colorirt)
<i>i) Trigonal-tetartoëdrische (trigonal-bipyramidal) Klasse.</i>		
Die Körper dieser Klasse sind abgeleitet durch nacheinander erfolgte Anwendung der trigonalen (negative Flächen: braun) und der pyramidalen Hemiédrie (negative Flächen: roth). Die Flächen der Cartonmodelle sind daher weiss hellroth, hellbraun und braunroth colorirt.		
Nr. 73.	Ableitung der positiven trigonalen Bipyramide dritter Art aus der dihexagonalen Bipyramide	M 3.70
" 74.	Ableitung des positiven trigonalen Prisma dritter Art aus dem dihexagonalen Prisma	" 3.35 4 CM
<i>k) Rhomboëdrisch-tetartoëdrische (rhomboëdrische) Klasse.</i>		
Die Körper sind abgeleitet durch nacheinander erfolgte Anwendung der rhomboëdrischen (negative Flächen: gelb) und der pyramidalen Hemiédrie (negative Flächen: roth). Die Flächen der einzelnen Sextanten der Cartonmodelle sind daher abwechselnd einerseits weiss und rosa und andererseits hellgelb und orange colorirt.		
Nr. 75.	Ableitung des Rhomboëders dritter Art aus der dihexagonalen Bipyramide	M 3.50 5 CM
" 76.	Ableitung des rechten trigonalen Trapezoëders aus der dihexagonalen Bipyramide	M 3.50 5 CM
<i>l) Trapezoëdrisch-tetartoëdrische (trigonal-trapezoëdrische) Klasse.</i>		
Die Körper dieser Klasse sind abgeleitet durch nacheinander erfolgte Anwendung der rhomboëdrischen (negative Flächen: gelb) und der trapezoëdrischen Hemiédrie (linke Flächen: blau). Dementsprechend sind die Flächen der eingezogenen Cartonmodelle weiss, hellblau, hellgelb und grün colorirt.		
Nr. 76.	Ableitung des rechten trigonalen Trapezoëders aus der dihexagonalen Bipyramide	M 4.20
" 77.	Ableitung des linken trigonalen Trapezoëders aus der dihexagonalen Bipyramide	" 4.20 5 CM
<i>m) Ogdöödrische (trigonal-pyramidal) Klasse.</i>		
" 78.	Obere rechte trigonale Pyramide dritter Art mit unterer Basis	2.70
" 79.	Obere linke trigonale Pyramide dritter Art mit unterer Basis	" 2.70 6 CM (mit achtfacher Colorirung)

Die niedrigen Klassen können aus der höheren durch successives Weglassen von Symmetriebenen (eine Symmetrieeaxe bei IVb, des Centrums der Symmetrie bei Vb) abgeleitet werden. Ausser den erwähnten 32 Klassen, die durch das Vorhanden-

sein oder Fehlen von Centrum, Axen und Ebenen der Symmetrie charakterisiert sind, ergeben sich nach derselben Methode noch einige andere Gruppen von Formen, die sich von jenen nicht durch diese Symmetrieelemente, wohl aber durch andere Eigenschaften unterscheiden. Sie sind vorläufig nicht berücksichtigt worden.

Einige tetartoëdrische Klassen lassen sich auch noch auf andere Weise ableiten, als oben geschehen ist, indem zwei andere hemiédrische Theilungen miteinander in Combination treten. Als Beispiel hierfür sind der Sammlung noch beigefügt:

Zu I f. Tetartoëdrische Klasse.

Infolge nacheinander erfolgter Anwendung der pentagonalen (roth) und der teträdrischen Hemiédrie (gelb) sind die Flächen der positiven Oktanten der Cartonmodelle weiss und hellroth, die der negativen hellgelb und orange gefärbt.

Nr. 80. Ableitung des rechten tetartoëdrischen Pentagondodekaëders aus dem Hexakisoktaëder M 7.50

Infolge nacheinander erfolgter Anwendung der pentagonalen (roth) und der gyroëdrischen Hemiédrie (blau) sind die Flächen abwechselnd weiss, hellroth, hellblau, violett gefärbt.

Nr. 81. Ableitung des rechten tetartoëdrischen Pentagondodekaëders aus dem Hexakisoktaëder M 7.50

Ausser dieser Sammlung von Glasmustern ist auch eine ganz entsprechende Sammlung von Holzmodellen zusammengestellt. In den einzelnen Klassen sind aber alle auftretenden Formen aufgenommen und alle in entsprechender Weise coloriert. Diese Sammlung eignet sich auch besonders zur Veranschaulichung der Flächensymmetrie eines und desselben Körpers in den verschiedenen Klassen des Systems. Sie kann als eine Ergänzung dienen zu der Sammlung von 396 Holzmodellen (Katalog Nr. 6a). Deshalb sind die Modelle der holödriischen Klassen der einzelnen Krystallmodelle nicht mit aufgenommen. Sie umfasst 183 Holzmodelle und steht auf Wunsch ein genaueres Verzeichniss dieser Sammlung zu Gebote.

Sammlung von 81 Glas-Krystallmodellen nach vorstehender Aufstellung:

Collection of 81 crystal-models according to the above arrangement:

Collection de 81 modèles de cristaux d'après l'arrangement précédent:

Durchschnittsgröße 15—25 cm = Nr. 26 . . . M 300.—

Gummiball von $15\frac{1}{2}$ cm Durchmesser zur Erläuterung der sphärischen Projektion nach Prof. Dr. J. Beckenkamp.

Auf der Oberfläche sind die Pole der 3 einfachen Formen O(111), $\infty\infty(110)$, $\infty\infty\infty(100)$ durch verschieden gefärbte Punkte, die wichtigsten Zonen durch verschiedene gefärbte Kreise dargestellt. Dem in voriger Modellsammlung angegebenen Lehrgange entsprechend giebt der Ball die Projektion der holödriischen Klasse des regulären Systems an, kann aber auf Wunsch auch für jede beliebige andere Klasse geliefert werden.

Ein colorirter Gummiball von besonders starker Qualität M 10.—

V. Sammlung von 50 Glasmodellen

von einfachen Krystallcombinationen, mit einfachen Axen.

V. Collection of 50 Glass-modells of simple complex crystals; the crystallographic axes being represented by coloured silk threads.

V. Collection de 50 modèles en verre de simple combinaisons; les axes crystallographiques sont représentés par des fils de soie colorée.

I. Reguläres System.

Nr. 1. Oktaëder mit Hexaëder O(110), $\infty\infty\infty(100)$ (Bleiglanz) M 3.—

Nr. 2. " " Rhombendodekaëder O(111), $\infty\infty(110)$ (Spinell) 4.—

Nr. 3.	Oktaëder mit Triakisoktaëder O (111), 20 (221) (Fluorit)	ℳ 5.85
" 4.	Iskositetraëder O (111), 303 (311) (Spinell)	ℳ 5.85
" 5.	Hexaëder mit Oktaëder $\infty\infty$ (100), O (111) (Bleiglanz)	3.-
" 6.	" (Mittelkrystall) $\infty\infty\infty$ (100), O (111) (Bleiglanz)	3.-
" 7.	Rhombendodekaëder $\infty\infty\infty$ (100), $\infty\infty$ (100) (Argentit)	4.-
" 8.	Ikositetraëder $\infty\infty$ (100), 202 (211) (Fluorit)	5.85
" 9.	Tetrakishexaëder $\infty\infty\infty$ (100), $\infty\infty$ (210) (Fluorit)	5.85
" 10.	Hexakisoktaëder $\infty\infty\infty$ (100), 402 (421) (Fluorit)	9.35
" 11.	Rhombendodekaëder mit Oktaëder $\infty\infty$ (110), O (111) (Magnetit)	5.50
" 12.	" " und Hexaëder $\infty\infty$ (110), O (111), $\infty\infty$ (100) (Bleiglanz)	5.50
" 13.	" Icositetraëder $\infty\infty$ (110), 202 (211) (Granat)	7.50
" 14.	Tetraëder mit Hexaëder $\frac{O}{2} z$ (111), $\infty\infty\infty$ (100) (Boracit)	3.-
" 15.	Dodekaëder $\frac{O}{2} z$ (111), $\infty\infty$ (110) (Boracit)	3.70
" 16.	Triakistetraëder, Gegentetraëder und Dodekaëder $\frac{O}{2} z$ (111), $\frac{202}{2} z$ (211), $-\frac{O}{2} z$ (111), $\infty\infty$ (110) (Fahlerz)	10.85
" 17.	Hexaëder mit Pentagondodekaëder $\infty\infty\infty$ (100), $\left[\frac{\infty\infty}{2}\right] \pi$ (201) (Pyrit)	4.70
" 18.	Oktaëder m. Pentagondodekaëder O (111), $\left[\frac{\infty\infty}{2}\right] \pi$ (201) (Kobaltglanz)	5.85
" 19.	Pentagondodekaëder mit Oktaëder $\left[\frac{\infty\infty}{2}\right] \pi$ (201), O (211) (Pyrit)	5.85
" 20.	" Diploëder und Oktaëder $\left[\frac{\infty\infty}{2}\right] \pi$ (201), $\left[\frac{303/2}{2}\right] \pi$ (321), O (111) (Pyrit)	9.36

II. Tetragonales System.

" 21.	Prisma und Pyramide erster Ordnung ∞P (110), P (111) (Zirkon)	ℳ 3.35
" 22.	Prisma zweiter und Pyramide erster Ordnung $\infty P\infty$ (100), P (111) (Zirkon)	ℳ 4.20
" 23.	Prisma zweiter, Pyramide erster Ordnung, und ditetragonales Prisma $\infty P\infty$ (100), P (111), $\infty P2$ (210) (Apophyllit)	5.85
" 24.	Prisma und Pyramide erster Ordnung und ditetragonale Pyramide ∞P (110), P (111), 3P3 (131) (Zirkon)	5.85
" 25.	Prisma erster und zweiter Ordnung, Pyramide erster und zweiter Ordnung und Basis $\infty P\infty$ (100), ∞P (110), P (111), $P\infty$ (011), oP (001) (Vesuvian)	6.70
" 26.	Pyramiden erster, zweiter und dritter Ordnung P (111), 2P ∞ (021), $\left[\frac{4P2}{2}\right] \pi$ (421) (Scheelit)	6.70
" 27.	Posit. und negat. Sphenoid, Pyramiden zweiter Ordnung, Basis $\frac{P}{2} z$ (111), $-\frac{P}{2} z$ (111), 2P ∞ (021), P ∞ (011), oP (111) (Kupferkies)	8.35

III. Hexagonales System.

Nr. 28.	Prisma, Pyramide u. Basis ∞P (1010), P (1011), oP (0001) (Apatit)	5.-
" 29.	Prisma, Pyramide erster und zweiter Ordnung, Basis ∞P (1010), P (1011), 2P2 (1121), oP (0001) (Beryll)	5.85
" 30.	Zwei posit. Rhomboëder u. Pyramide zweiter Ordnung R z (1011), $\frac{1}{4}R z$ (1014), $\frac{4}{3}P2$ (2243) (Eisenglanz)	5.-

Nr. 31.	Posit. u. negat. Rhomboëder R z (1011), $-\frac{1}{2}R z$ (0112) (Kalkspath)	ℳ 5.-
" 32.	Positives u. zwei negative Rhomboëder R z (1011), $-\frac{1}{2}R z$ (1012), $-2R z$ (0221) (Kalkspath)	5.-
" 33.	Rhomboëder mit Prisma zweiter Ordnung R z (1011), $\infty P2$ (1120) (Phenakit)	5.-
" 34.	Prisma, Basis, zwei Pyramiden erster, eine dritter Ordn. ∞P (1010), oP (0001), P (1011), 2P (2021), $\left[\frac{3P^3/2}{2}\right] \pi$ (2311) (Apatit)	10.-
" 35.	Prisma zweiter Ordnung, Rhomboëder erster und dritter Ordnung $\infty P2$ (1120), $-2R$ (0221), $-\frac{2R^2}{2}$ (1341) (Dioptras)	5.85
" 36.	Prisma, positives und negatives Rhomboëder, trigonale Pyramide, Trapezoëder ∞R (1010), +R z (1011), -R z (0111), $\frac{2P2}{1} 1 z \pi$ (2111), $\frac{6P^6/5}{4} 1 z \pi$ (6151) (Quarz, linker Krystall)	9.25
" 37.	Prisma, positives und negatives Rhomboëder, trigonale Pyramide, Trapezoëder ∞R (1010), +R z (1011), -R z (0111), $\frac{2P2}{2} r z \pi$ (1121), $\frac{6P^6/5}{4} r z \pi$ (5161) (Quarz, rechter Krystall)	9.35

IV. Rhombisches System.

" 38.	Brachypinakoid, Prisma, Brachydoma $\alpha P\bar{\infty}$ (010), ∞P (110), P $\bar{\infty}$ (011) (Aragonit)	ℳ 4.20
" 39.	Zwei Pyramiden, Basis, Brachydoma P (111), $\frac{1}{3}P$ (113), oP (001), P $\bar{\infty}$ (011) (Schwefel)	5.-
" 40.	Prisma, die drei Pinakoide, Pyramide, Makrodoma ∞P (110), $\alpha P\bar{\infty}$ (100), $\infty P\bar{\infty}$ (010), oP (001), P (111), P $\bar{\infty}$ (101) (Olivin)	5.85
" 41.	Zwei Prismen, Basis, Brachydoma, zwei Pyramiden $\infty P2$ (120), ∞P (110), oP (001), 2P $\bar{\infty}$ (021), P (111), $\frac{2}{3}P$ (223) (Topas)	7.50
" 42.	Prisma, Sphenoid ∞P (110), $\frac{P}{2} z$ (111) (Bittersalz)	2.50

V. Monoklines System.

" 43.	Klinopinakoid, Prisma, Pyramide $\infty P\infty$ (010), ∞P (110), -P (111) (Gyps)	ℳ 4.20
" 44.	Prisma, Basis, Orthodoma ∞P (110), oP (001), P ∞ (101) (Adular)	3.35
" 45.	Prisma, Klinopinakoid, Orthodoma, Basis, Klinodoma ∞P (110), $\infty P\infty$ (010), P ∞ (101), oP (001), 2P ∞ (021) (Orthoklas)	4.20
" 46.	Prisma, Ortho- und Klinopinakoid, Pyramide ∞P (110), $\infty P\infty$ (100), $\infty P\infty$ (010), P (111) (Augit)	4.20
" 47.	Prisma, Klinopinakoid, Pyramide, Basis ∞P (110), $\infty P\infty$ (010), P (111), oP (001) (Hornblende)	4.20

VI. Triklines System.

" 48.	Kupfervitriol P (111), $\infty P'$ (110), $\infty P\bar{x}$ (100), $\infty P\bar{x}$ (010)	ℳ 4.50
" 49.	Albit oP (001), P \bar{x} (101), $\infty P'$ (110), ∞P (110), $\infty P\bar{x}$ (010), P (111)	4.20
" 50.	Axinit 2P \bar{x} (201), ∞P (110), ∞P (110), ∞P (100), 4P \bar{x} (401)	4.20

Sammlung von 50 Glas-Krystallmodellen nach vorstehender Aufstellung:

Collection of 50 Glass-models according to the above arrangement:

Collection de 50 modèles en verre d'après l'arrangement précédent:

Durchschnittsgröße 15—25 cm = Nr. 27 ℳ 250.—

W. Diese Sammlung bildet in Verbindung mit der Sammlung von 30 Modellen der einfachen Grundformen (Samml. N. Seite 25) und der Sammlung von 34 Modellen der einfachen hemiödrischen und tetartoëdrischen Formen (Samml. O. S. 26) nebst den auf Seite 33 angeführten 12 Zwillingskristallen, eine grössere zusammenhängende Lehrsammlung von 126 Modellen.

W. This collection combined with the collection of 30 models of the simple fundamental forms (v. page 25), with the collection of 34 models of the simple hemihedral and tetartohedral forms (v. page 26) and with the 12 twin-crystals mentioned on page 33 forms a larger connected collection of 126 models.

W. Cette collection combinée avec la collection de 30 modèles de simples formes fondamentales (v. page 25), avec la collection de 34 modèles de simples formes hémédriques et tétrédriques (v. page 26) et avec les macles (v. page 33) forme une plus grande collection de 126 modèles.

Preis der Sammlung von 126 Modellen:

Price of this collection:

Prix de cette collection:

Durchschnittsgrösse 15-25 cm = Nr. 28 . . . M 550.-

X. Sammlung von 10 Glasmodellen der wichtigsten Durchkreuzungszwillinge.

Die verschiedenen einzelnen Krystallindividuen sind durch Glas von verschiedener Färbung zur Anschauung gebracht.

Collection of 10 Glass-models of the most important penetration twins, the single crystals being made distinguishable by differently coloured glass.

Collection de 10 modèles en verre des macles en croix les plus importants; on peut distinguer les cristaux, qui se pénètrent, par les différentes couleurs du verre dont ils sont construits.

- | | | | | |
|-----|-----|--|---------------|-------|
| Nr. | 1. | Fluorit $\infty\infty\infty$ (100), Zwillingsebene O (111) | \mathcal{M} | 5.85 |
| " | 2. | Diamant $+\frac{O}{2}$ \propto (111), $-\frac{O}{2}$ \propto (111), Zwillingsebene $\infty\infty\infty$ (100) | " | 8.35 |
| " | 3. | Pyrit $\left[\frac{\infty O^2}{2}\right] \propto$ (210), Zwillingsebene $\infty\infty$ (100) | " | 10.— |
| " | 4. | Fahlerz $\frac{O}{2} \propto$ (111), Zwillingsebene $\infty\infty\infty$ (100) | " | 5.— |
| " | 5. | Eulytin $\frac{202}{2} \propto$ (211), Zwillingsebene $\infty\infty\infty$ (100) | " | 10.— |
| " | 6. | Chabasit R \propto (1011), Zwillingsebene oR (0001) | " | 7.50 |
| " | 7. | Calcit $-2R$ \propto (0221), Vierling, Zwillingsebene $-1_{/2}R$ (0112) | " | 8.35 |
| " | 8. | Cerussit $\propto P\bar{x}$ (010), P (111), ∞P (110), $\infty P\bar{3}$ (130), Zwillingsebene ∞P (110) | " | 10.85 |
| " | 9. | Staurolith ∞P (110), oP (001), $\propto P\bar{x}$ (010), Zwillingsebene $3_{/2}P\bar{x}$ (032) | " | 8.35 |
| " | 10. | Philippssit $\infty P\infty$ (010), oP (001), ∞P (110); Durchkreuzung von drei Doppel-Zwillingen; Zwillingsebene P (011) | " | 10.— |

Sammlung von 10 Durchkreuzungen „...“

Collection of 10 Beams of
Durchkreuzungszwillingen nach vorstehender Aufstell

Collection 1-12

Collection de 10 macles d'après l'arrangement précédent:
Durchschnittsgrösse 20-25 cm = Nr. 29 " 85

Y. Elementar-Sammlung von 7 Glas-Krystallmodellen zur Darstellung der Symmetrieverhältnisse in den 7 Krystall- systemen nach Prof. Mallard

Disposition des éléments de symétrie dans les 7 systèmes, d'après Mallard. Traité de cristallographie.

Les modèles, en verre, ont les faces très solidement avec des bandes de maroquin reliées. Les axes de symétrie sont représentés par des fils de soie tendus à l'intérieur.

(Les modèles sont à la dimension de 25 cm.)

I.	Système cubique (terquatnaire). $3A^4$, $4A^3$, $6A^2$, C, $3P^4$, $6P^2$	M	4.40
II.	Système quadratique (quaternaire). A^4 , $2A^2$, $2A'^2$, C, P^4 , $2P^2$, $2P'^2$		4.80
III.	Système hexagonal (sénaire). A^6 , $3A^2$, $3A'^2$, C, P^6 , $3P^2$, $3P'^2$		4.—
IV.	Système rhomboédrique (ternaire). A^3 , $3A^2$, C, $3P^2$		3.85
V.	Système rhomboidal droit (terbinaire). A^2 , A'^2 , A''^2 , C, P^2 , P'^2 , P''^2		3.50
VI.	Système monoclinique (binaire). A^2 , C, P^2		3.20
VII.	Système triclinique (asymétrique). C		3.85

Sammlung von 7 Glas-Krystallmodellen nach vorstehender Aufstellung

Collection de 7 modèles de cristaux d'après l'arrangement précédent:

Durchschnittsgrösse 25 cm = Nr. 30 M 25,-

On pourra compléter cette collection par la collection suivante de Liebisch comprenant 58 formes, correspondants aux différents types de meroétrie. Les axes y sont également figurés par des fils de soie. Cette collection représente les 32 systèmes possibles de symétrie.

Z. Sammlung von 58 Glas-Krystallmodellen
mit eingezogenen Symmetrieeachsen.

Zur Erläuterung der Symmetrieeigenschaften der 32 Gruppen
krystallinischer Körper zusammengestellt von
Prof. Dr. Th. Liebisch in Göttingen.

(cf. Spec.-Cat. Nr. 14.)

Die Sammlung ist dazu bestimmt, bei der Ableitung der 32 Gruppen krystallisirter Körper, die nach der Symmetrie des Wachsthumsvorganges zu unterscheiden sind, eine Ausdehnung der Symmetrieeigenschaften jeder Gruppe zu vermitteln.

Die Anordnung der 32 Gruppen entspricht in ihrer Reihenfolge der Ableitung, die in der „Physikalischen Krystallographie“ (1891) von Prof. Th. Liebisch auf analytischem Wege und in dem „Grundriss der physikalischen Krystallographie“ 1896 von demselben Verfasser im Wesentlichen damit übereinstimmend, aber mit den einfachsten geometrischen Hilfsmitteln entwickelt worden ist.

Z. Collection of 58 Crystal-models in glass showing the axis of symmetry represented by silk threads for the demonstration of the properties of symmetry of the 32 groupes of crystallized bodies, arranged by Prof. Dr. Th. Liebisch of Göttingen. (cf. Spec. Cat. Nr. 14.)

This collection is intended to illustrate the properties of symmetry of the 32 crystal-groupes, which must to be distinguished according to the symmetry of their mode of growth.

The 32 groupes are arranged in the same order, in which they are derived analytically in the „Physikalische Krystallographie“ (1891) by Prof. Dr. Th. Liebisch and with the most simple geometrical means in the „Grundriss der physikalischen Krystallographie“ (1896) by the same author.

Z. Collection de 58 modèles de cristaux en verre avec les axes de symétrie représentés par des fils de soie pour la démonstration des propriétés symétriques des 32 groupes de cristaux, arrangée par le Prof. Dr. Th. Liebisch, Göttingen. (cf. Cat. spéc. Nr. 14.)

Cette collection a pour but la démonstration des propriétés symétriques des 32 groupes de cristaux, que l'on doit distinguer en regardant la symétrie de leur manière de naître.

Les 32 groupes sont arrangees is dans le même ordre, dans lequel ils sont dérivées analytiquement dans la „Physikalische Krystallographie“ (1891) du Prof. Dr. Th. Liebisch et avec les plus simples moyens géométriques dans le „Grundriss der physikalischen Krystallographie“ (1896) du même auteur.

Preis dieser Sammlung von 58 Modellen:

Price of this collection of 58 models:

Prix de cette collection de 58 modèles:

Durchschnittsgrüsse 25 cm = Nr. 31 . . . M 300.

AA. Sammlung von 20 Glasmodellen doppelbrechender Krystalle

nach den Angaben von Prof. Dr. U. Grubenmann in Zürich mit eingezogenen Elasticitätsaxen und sonstigen Axen.

(Vergl. Rosenbusch, Mikrosk. Physiographie, III. Aufl. Stuttgart 1892.)

In diesen Modellen ist die Axe der grössten Elasticität a mit orangefarbigen Fäden
 " " mittleren " b " gelben "
 " " kleinsten " c " grünen "
 angedeutet; die optischen Axen sind violett angelegt, wenn $v < \varrho$, und roth, wenn $\varrho < v$; ist die Dispersion unentschieden ($\varrho \geq v$), so sind die Axen durch Doppelfäden, aus roth und violet gedreht, dargestellt.

AA. Collection of 20 Glass-models of biaxial crystals constructed according to the instructions of Prof. Dr. U. Grubenmann in Zürich. The three axes of elasticity and the optic axes are represented by coloured silk threads.

In these models the axis of greatest elasticity a is orange coloured

" " mean " b " yellow "
 " " least " c " green "

The optic axes are violet if $v < \varrho$, and red if $\varrho < v$, in cases where the dispersion is variable ($\varrho \geq v$) the axes are represented by double threads, one being coloured red the other violet.

AA. Collection de 20 modèles en verre de cristaux à deux axes optiques, construit d'après l'instruction du Prof. Dr. U. Grubenmann in Zürich, les trois axes d'élasticité et les axes optiques sont marqués par des fils de soie colorée.

Dans ces modèles l'axe de la plus grande élasticité a est coloré orange

" " moyenne " b " jaune
 " " plus petite " c " vert

Les axes optiques sont colorés violet quand $v < \varrho$, et rouges quand $\varrho < v$; si la dispersion est variable ($\varrho \geq v$) les axes sont marqués par des fils doubles, l'un rouge et l'autre violet.

I. Rhombische Modelle.

Nr. 1. Andalusit	$\infty P(110)$, $\circ P(101)$	$\begin{cases} a = b \\ b = a \\ c = c \end{cases}$	Axenwinkel = 88° ($\varrho \geq v$) Axen gemischt	M 3.35
" 2. Staurolith	$\infty P(110)$, $\infty P\bar{x}(010)$, $\circ P(001)$	$\begin{cases} a = a \\ b = b \\ c = c \end{cases}$	Axenwinkel = 88° ($v < \varrho$) Axen violett	3.70
" 3. Rhomb. Pyroxen	$\times P\bar{x}(010)$, $\infty P\bar{x}(010)$, $\circ P(001)$	$\begin{cases} a = a \\ b = b \\ c = c \end{cases}$	Axenwinkel = 57° ($\varrho < v$) Axen roth	3.70
" 4. Rhomb. Pyroxen	$\times P\bar{x}(100)$, $\infty P\bar{x}(010)$, $\circ P(001)$	$\begin{cases} a = a \\ b = b \\ c = c \end{cases}$	Axenwinkel = 85° ($v < \varrho$) Axen violett	3.70
" 5. Bastit	$\infty P\bar{x}(100)$, $\infty P\bar{x}(010)$, $\circ P(001)$	$\begin{cases} a = b \\ b = a \\ c = c \end{cases}$	Axenwinkel = 55° ($v < \varrho$) Axen violett	3.35
" 6. Rhomb. Amphibol	$\infty P(110)$, $\infty P\bar{x}(100)$, $\circ P(001)$	$\begin{cases} a = a \\ b = b \\ c = c \end{cases}$	Axenwinkel = 80° ($v \geq \varrho$) Axen gemischt	4.20
" 7. Olivin	$\infty P\bar{x}(100)$, $\infty P\bar{x}(010)$, $\infty P(110)$, $\circ P(001)$	$\begin{cases} a = c \\ b = a \\ c = b \end{cases}$	Axenwinkel = 87° ($\varrho < v$) Axen roth	5.—
" 8. Cordierit	$\infty P(110)$, $\infty P\bar{x}(010)$, $\circ P(001)$	$\begin{cases} a = b \\ b = c \\ c = a \end{cases}$	Axenwinkel = ca. 70° ($\varrho < v$) Axen roth	M 4.20

II. Monokline Krystalle.

Nr. 9. Augit	$\infty P\infty(100)$, $\infty P\infty(010)$, $\infty P(110)$, $P(11\bar{1})$.	$b = b$ gelb. Axenebene = ac. Axenwinkel = 59° ($\varrho \geq v$) Axen gemischt	5.85
" 10. Hornblende	$\infty P(110)$, $\infty P\infty(010)$, $\circ P(001)$, $P(11\bar{1})$.	$b = b$ gelb. Axenebene = ac. Axenwinkel = 80° ($v < \varrho$) Axen roth	5.—
" 11. Epidot	$\infty P\infty(010)$, $\circ P(001)$, $P\infty(10\bar{1})$, $\infty P\infty(100)$.	$b = b$ gelb. Axenebene = ac. Axenwinkel = 74° ($v < \varrho$) Axen violett	4.50
" 12. Orthoklas	$\circ P(001)$, $\infty P\infty(010)$, $\infty P\infty(100)$.	$b = c$ grün. Axen-ebene senkrecht auf ac. Axenwinkel = 55° ($v < \varrho$) Axen violett	4.20
" 13. Sanidin	$\circ P(001)$, $\infty P\infty(010)$, $\infty P\infty(100)$.	$b = b$ gelb. Axen-ebene = ac. Axenwinkel = 25° ($\varrho < v$) Axen roth	4.20
" 14. Sanidin	$\infty P\infty(010)$, $\infty P(110)$, $\circ P(001)$, $P\infty(10\bar{1})$.	Carlsbader Zwillings. Die erste Mittellinie ist bei dem einen Individuum nach vorne (oben), bei dem andern nach hinten (oben) gelegen. Optische Orientierung wie in Fig. 13	8.35

- Nr. 15. Orthoklas oP (001), ∞ P ∞ (010), ∞ P ∞ (100). Bavenoér Zwilling. Optische Orientirung wie in Fig. 12. In Zwillingsstellung stehen die Ebenen der optischen Axen der beiden Individuen nahezu senkrecht aufeinander M 10.—

III. Trikline Krystalle.

Die folgenden fünf Modelle der triklinen Feldspäthe: Albit, Oligoklas, Andesin, Labradorit, Anorthit, sind im Wesentlichen nach den Angaben der bezügl. Untersuchungen von Des Cloizeaux und Schuster angefertigt. Da nur die Lage der positiven Mittellinie = a (orange) mit einiger Genauigkeit bestimmt ist, nicht aber die der negativen = c (grün), so ist natürlich in Folge dessen auch die Lage der Ebene der optischen Axen nicht genau festgestellt. Es ist ferner zu berücksichtigen, dass auch die Grösse des Winkels der optischen Axen bei jeder Feldspathvarietät ausserordentlich schwankend ist. Diese Modelle sollen und können daher nur ein annäherndes Bild der optischen Verhältnisse der Plagioklase geben, wobei aber doch die Verschiedenheiten der einzelnen Glieder dieser Reihe deutlich zum Ausdruck kommen. Der leichteren Uebersichtlichkeit halber ist für alle dieselbe Krystallform — die gewöhnliche einfache Albitform — gewählt:

∞ P ∞ (010), ∞ P' (110), ∞ P (1 $\bar{1}$ 0), oP (001), ,P, ∞ (101).

- Nr. 16. Albit. Optische Axenebene normal zu einer Fläche, welche die scharfe Kante oP | ∞ P ∞ = (001) | (010) abstumpft und mit oP (001) den Winkel von ca. 80° bildet. Positiv (die spitze Bisectrix grün). Axenwinkel ca. 85° . $\varrho < v$ Axen roth. M 7.—
- „ 17. Oligoklas. Optische Axenebene normal zu einer Fläche, welche die stumpfe Kante oP | ∞ P ∞ = (001) | (010) abstumpft und mit oP (001) den Winkel von ca. 100° bildet. Negativ (die spitze Bisectrix orange). Axenwinkel ca. 85° . $v < \varrho$ Axen violett 7.—
- „ 18. Andesin. Optische Axenebene normal zu einer Fläche, welche die stumpfe Kante oP | ∞ P ∞ = (001) | (010) abstumpft und mit oP (001) den Winkel von ca. 115° bildet. Negativ (die spitze Bisectrix orange). Axenwinkel ca. 80° . $v < \varrho$ Axen violett 7.—
- „ 19. Labradorit. Optische Axenebene normal zu einer Fläche, welche die stumpfe Kante oP | ∞ P ∞ = (001) | (010) abstumpft und mit oP (001) den Winkel von ca. 124° bildet. Positiv (spitze Bisectrix grün). Axenwinkel ca. 85° . $v \gtrless \varrho$ Axen gemischt 7.—
- „ 20. Anorthit. Optische Axenebene fast genau normal zur Fläche 2P ∞ (021). Negativ (spitze Bisectrix orange). Axenwinkel ca. 80° . $\varrho < v$ Axen roth M 7.—

Sammlung von 20 Glasmodellen nach vorstehender Aufstellung:

Collection of 20 Glass-models according to the above arrangement:

Collection de 20 modèles en verre d'après l'arrangement précédent:

Durchschnittsgrösse 15—20 cm = Nr. 32 M 100.—

BB. Sammlung von 3 Glas-Krystallmodellen
zur Veranschaulichung der Dispersion in monoklinen Krystallen, mit eingezogenen mehrfarbigen Seidenfäden, welche die Lage der optischen Axen und Mittellinien darstellen.

BB. Collection of 3 Glass-models for the demonstration of the dispersion of light in monosymmetric crystals. The optical axes and bisectrix are represented by coloured silk threads.

BB. Collection de 3 modèles en verre pour la démonstration de la dispersion dans les cristaux monosymétriques. Les axes optiques et les bissectrices sont marqués par des fils de soie colorée.

- Nr. 1. ∞ P ∞ (010), ∞ P ∞ (100), oP (001), horizontale Dispersion M 7.—
“ 2. ∞ P ∞ (010), ∞ P ∞ (100), oP (001), geneigte Dispersion “ 7.—
“ 3. ∞ P ∞ (010), ∞ P ∞ (100), oP (001), gedrehte Dispersion “ 7.—

Sammlung von 3 Glas-Krystallmodellen nach vorstehender Aufstellung:

Collection of 3 Glass-models according to the above arrangement:

Collection de 3 modèles en verre d'après l'arrangement précédent:

Durchschnittsgrösse 20 cm = Nr. 33 M 20.—

CC. Sammlung von 70 Krystallmodellen

aus massivem Krystallglas, fein geschliffen und polirt.

CC. Collection of 70 Crystal-models made of solid glass, carefully cut and polished.

CC. Collection de 70 modèles de cristaux, en strass, bien taillés et polis.

I. Reguläres System.

a) Holoëdrische Formen:

- Nr. *1. Oktaëder O (111).
“ 2. Hexaëder ∞ O ∞ (100).
“ 3. Dodekaëder ∞ O (100).
“ 4. Triakisoktaëder 2O (221).
“ 5. Ikositetraëder 2O2 (211).
“ 6. Tetrakisoktaëder ∞ O2 (201).
“ 7. Hexakisoktaëder $3O\frac{3}{2}$ (321).
“ 8. Oktaëder und Hexaëder O (111), ∞ O ∞ (100).
“ 9. Hexaëder und Oktaëder ∞ O ∞ (100), O (111).
“ 10. Hexaëder und Oktaëder (Mittelkrystall) ∞ O ∞ (100), O (111).
“ 11. Oktaëder und Dodekaëder O (111), ∞ O (110).
“ 12. Hexaëder und Dodekaëder ∞ O ∞ (100), ∞ O (110).
“ 13. Dodekaëder und Hexaëder ∞ O (110), ∞ O ∞ (100).
“ 14. Dodekaëder und Oktaëder ∞ O (110), O (111).
“ 15. Oktaëder und Ikositetraëder O (111), 2O2 (121).
“ 16. Hexaëder und Ikositetraëder ∞ O ∞ (100), 2O2 (121).
“ 17. Dodekaëder und Ikositetraëder ∞ O (110), 2O2 (121).

b) Tetraëdrisch-hemiëdrische Formen:

- “ *18. Tetraëder $\frac{O}{2} z$ (111).
“ *19. Triakistetraëder $\frac{2O2}{2} z$ (121).
“ *20. Deltoid-Dodekaëder $\frac{2O}{2} z$ (221).
“ *21. Hexakistetraëder $\frac{3O\frac{3}{2}}{2} z$ (321).
“ 22. Tetraëder und Gegentetraëder $\frac{O}{2} z$ (111), $-\frac{O}{2} z$ (111).
“ 23. Tetraëder und Hexaëder $\frac{O}{2} z$ (111), ∞ O ∞ (100).
“ 24. Hexaëder, Dodekaëder und Tetraëder ∞ O ∞ (100), ∞ O (110), $\frac{O}{2} z$ (111).

- Nr. 25. Dodekaëder, Hexaëder und Tetraëder $\infty O(110)$, $\infty O\infty(100)$, $\frac{O}{2} z(111)$.
 Nr. 26. Tetraëder und Triakisitetraëder $\frac{O}{2} z(111)$, $\frac{2O}{2} z(211)$.

c) Pentagonal-hemiëdrische Formen.

- " 27. Pentagondodekaëder $\left[\frac{\infty O^2}{2}\right] z(201)$.
 " 28. Diploëder $\left[\frac{3O^3/2}{2}\right] z(321)$.
 " 29. Hexaëder und Pentagondodekaëder $\infty O\infty(100)$, $\left[\frac{\infty O^2}{2}\right] z(201)$.
 " 30. Pentagondodekaëder und Hexaëder $\left[\frac{\infty O^2}{2}\right] z(201)$, $\infty O\infty(100)$.
 " 31. Oktaëder und Pentagondodekaëder $O(111)$, $\left[\frac{\infty O^2}{2}\right] z(201)$.
 " 32. Pentagondodekaëder und Oktaëder $\left[\frac{\infty O^2}{2}\right] z(201)$, $O(111)$.
 " 33. Pentagondodekaëder und Diploëder $\left[\frac{\infty O^2}{2}\right] z(201)$, $\left[\frac{3O^3/2}{2}\right] z(321)$.

II. Tetragonales System.

- " 34. Pyramide ($c > a$), $P(111)$.
 " 35. Pyramide ($c < a$), $P(111)$.
 " 36. Ditetragonale Pyramide $P2(212)$.
 " 37. Prisma und Basis $\infty P(110)$, $oP(001)$.
 " 38. Ditetragonales Prisma und Basis $\infty P2(210)$, $oP(001)$.
 " 39. Prisma und Pyramide gleicher Stellung $\infty P(110)$, $P(111)$.
 " 40. Pyramide und Prisma gleicher Stellung $P(111)$, $\infty P(110)$.
 " 41. Prisma und Pyramide verschiedener Stellung $\infty P\infty(100)$, $P(111)$.
 " 42. Pyramide und Prisma verschiedener Stellung und Basis $P(111)$, $\infty P\infty(100)$, $oP(001)$.
 " 43. Pyramide erster und zweiter Stellung $P(111)$, $P\infty(101)$.
 " 44. Prisma und Pyramide verschiedener Stellung und ditetragonale Pyramide $\infty P\infty(100)$, $P(111)$, $3P3(131)$.
 " 45. Tetragonales Skalenoëder $\frac{P^2}{2} z(212)$.

III. Hexagonales System.

a) Holoëdrische Formen.

- " 46. Pyramide $P(1011)$.
 " 47. Dihexagonale Pyramide $P^3/2(21\bar{3}3)$.
 " 48. Prisma und Basis $\infty P(10\bar{1}0)$, $oP(0001)$.
 " 49. Dihexagonales Prisma und Basis $\infty P^3/2(21\bar{3}0)$.
 " 50. Prisma und Pyramide $\infty P(10\bar{1}0)$, $P(1011)$.
 " 51. Prisma, Basis und Pyramide $\infty P(10\bar{1}0)$, $oP(0001)$, $P(10\bar{1}1)$.
 " 52. Prisma, Basis, Pyramide und Deuteropyramide $\infty P(10\bar{1}0)$, $oP(0001)$, $P(1011)$, $2P2(1121)$.

b) Rhomboëdrisch-hemiëdrische Formen.

- " 53. Rhomboëder ($c < a$) $Rz(10\bar{1}1)$.
 " 54. Rhomboëder ($c > a$) $Rz(101\bar{1})$.
 " 55. Skalenoëder $R3z(21\bar{3}1)$.

- Nr. 56. Prisma und Rhomboëder $\infty R(10\bar{1}0)$, $Rz(10\bar{1}1)$.
 " 57. Rhomboëder und Deuteroprisma $Rz(10\bar{1}1)$, $\infty P2(11\bar{2}0)$.
 " 58. Positives und negatives Rhomboëder $-2Rz(02\bar{2}1)$, $Rz(1011)$.
 " 59. desgl. $Rz(1011)$, $-2Rz(02\bar{2}1)$.

IV. Rhombisches System.

- " 60. Pyramide $P(111)$.
 " 61. Prisma $\infty P(110)$.
 " 62. Prisma und Brachydoma $\infty P(110)$, $P\bar{z}(010)$.
 " 63. Makrodoma, Brachydoma und Basis $P\bar{z}(101)$, $P\bar{z}(011)$, $oP(001)$.
 " 64. Zwei Prismen und Pyramide $\infty P(110)$, $\infty P2(120)$, $P(111)$.
 " 65. Sphenoid $\frac{P}{2} z(111)$.

IV. Monoklines System.

- " 66. Positive und negative Pyramide $+P(111)$, $-P(111)$.
 " 67. Prisma und Basis $\infty P(\bar{1}10)$, $oP(001)$.
 " 68. Klinopinakoid, Basis, Orthodoma, Prisma $\infty P\infty(010)$, $oP(001)$, $2P\infty(201)$, $\infty P(110)$.

V. Triklines System.

- " 69. Pyramiden $P'(111)$, $P(1\bar{1}\bar{1})$, $P(\bar{1}1\bar{1})$, $P(\bar{1}\bar{1}\bar{1})$.
 " 70. Prismen, Pyramiden, Makropinakoid und Makrodoma $\infty P'(110)$, $\infty P(1\bar{1}0)$, $P(1\bar{1}\bar{1})$, $P'(111)$, $\infty P\infty(100)$, $2'P'\infty(201)$.

Sammlung von 70 Glasmodellen nach vorstehender Aufstellung:

Collection of 70 Glass-models according to the above arrangement:

Collection de 70 modèles en verre d'après l'arrangement précédent:

Durchschnittsgrösse 5 cm in zwei eleganten Etuis = Nr. 34 . . . M 110.—

Die mit * bezeichneten Nummern bilden eine kleine Sammlung von 30 Glasmodellen.

The numbers marked * form a smaller collection of 30 models.

Les numéros marqués * forment une collection plus petite de 30 modèles.

Durchschnittsgrösse 5 cm in elegantem Etui = Nr. 35 . . . M 52.—

III. KRYSTALLMODELLE AUS PAPPE

Crystal-models of card board

Modèles de cristaux en papier cartonné

DD. Sammlung von 280 Krystallmodellen aus Pappe.

Zusammengestellt von Prof. Dr. K. Vrba in Prag.

Hierzu Special-Katalog.

Diese Modelle bringen in sehr übersichtlicher Weise die verschiedenen einfachen Formen, Combinationen und Zwillingsverwachsungen zur Anschauung und eignen sich ihrer Leichtigkeit und Grösse (16—25 cm) wegen ganz besonders zu Demonstrationen bei Vorlesungen. Aus starker, mit Leim imprägnirter Pappe hergestellt, die Flächen mit dunkelgelbem, die Kanten mit schwarzem Papier überzogen und lackirt, sind diese Modelle bei höchst elegantem Aussehen von grosser Dauerhaftigkeit. Bei den Zwillingen sind die Einzelindividuen durch verschiedene Färbung von einander abgehoben.

DD. Collection of 280 Crystal-models of card-board
arranged by Prof. Dr. K. Vrba in Prag. (cf. Spec. Cat.)

These models show in a very instructive way the simple forms, complex and twin crystals, and are on account of their size (16—25 cm) and lightness especially suited for use in the lecture-room.

Being made of card-board impregnated with glue they are exceedingly strong. The faces are covered with darkyellow, the edges with black paper, which gives the models a very neat appearance.

The single crystals or twins can easily be distinguished because they are made of differently coloured paper.

Collection de 280 modèles de cristaux en papier cartonné
arrangée par Prof. Dr. K. Vrba. (cf. Cat. spec.)

Ces modèles sont excessivement instructifs pour la démonstration des formes simples, des combinaisons et des macles. En conséquence de leur largeur (de 16 à 25 cm) et de leur légèreté ils sont spécialement utiles pour l'usage dans les cours.

Etant construits de papier cartonné imprégné de glu ils sont très durables. Les faces en sont couvertes de papier jaune, les arêtes de papier noir, et ont l'air bien net.

On peut facilement distinguer les cristaux des macles puisqu'ils sont couverts de différents papiers colorés.

Durchschnittsgrösse 16—25 cm = Nr. 36 . . . M 530.—

Auf vielfachen Wunsch hat Herr Prof. Dr. K. Vrba folgende kleinere Sammlung von 100 Modellen zusammengestellt, speciell für den Unterricht auf höheren Lehranstalten.

Following an often expressed wish Prof. Dr. K. Vrba has also arranged the following smaller collection of 100 models which is specially suited for us in higher public schools.

Suivant le désir souvent exprimé Mr. le Prof. Dr. K. Vrba a arrangé une plus petite collection de 100 modèles, avec égard à l'usage dans les écoles secondaires; cette collection contient les modèles suivants.

EE. Sammlung von 100 Krystallmodellen aus Pappe.

Collection of 100 Crystal-models of card-board.
Collection de 100 modèles de cristaux en papier cartonné.

I. Das reguläre Krystallsystem.

a) Holoëdrische Formen.

Nr. †	1.	Hexakisoktaëder (321) $\frac{3O^3}{2}$ (beob. am Granat)	M	2.—
" †	2.	Ikositetraëder (211) $2O^2$ (beob. am Granat, Analcim)	"	2.—
" †	3.	Tetrakishexaëder (210) ∞O^2 (beob. am Kupfer, Fluorit)	"	2.—
" †	4.	Triakisoktaëder (221) $2O$ (beob. am Galenit, Fluorit)	"	2.—
" †*	5.	Dodekaëder (110) ∞O (beob. am Gold, Sodalith)	"	2.—
" †*	6.	Hexaëder (100) $\infty O \infty$ (beob. am Steinsalz, Fluorit, Galenit)	"	2.—
" †*	7.	Oktaëder (111), O (beob. am Magnetit, Fluorit, Spinel)	"	2.—
" †*	8.	(100) $\infty O \infty$, (111) O (Galenit, Fluorit, Steinsalz)	"	2.—
" †	9.	(100) $\infty O \infty$, (110) ∞O (Fluorit)	"	2.—
"	10.	(100) $\infty O \infty$, (211) $2O^2$ (Argentit, Analcim)	"	2.—
"	11.	(100) $\infty O \infty$, (421) $4O^2$ (Fluorit)	"	2.—
" †*12.	12.	(100) $\infty O \infty$, (110) ∞O , (111) O (Galenit)	"	2.—
" †*13.	13.	(111) O, (110) ∞O (Spinel, Franklinit)	"	2.—
"	14.	(111) O, (110) ∞O , (211) $2O^2$, (100) $\infty O \infty$ (Cuprit)	"	2.—
" †	15.	(111) O, (100) $\infty O \infty$, (110) ∞O (Galenit)	"	2.—
" †	16.	(110) ∞O , (211) $2O^2$ (Granat)	"	2.—
"	17.	(110) ∞O , (311) 303, (100) $\infty O \infty$, (111) O (Magnetit)	"	2.—
" †*18.	18.	(111) O, Zwillling nach (111) O (Magnetit, Spinel)	"	2.—
" †	19.	(100) $\infty O \infty$, Penetrationszwillling nach (111) O (Fluorit)	"	2.—

b) Plagiödrisch-hemiödrische Formen.

"	20.	Rechtes Pentagonikositetraëder γ (312) $r \frac{3O^3}{2}$	"	2.—
"	21.	Linkes Pentagonikositetraëder γ (321) $l \frac{3O^3}{2}$	"	2.—

c) Dodekaödrisch-hemiödrische Formen.

" †	22.	Dyakisdodekaëder π (321), $\left[\frac{3O^3}{2} \right]$ (Pyrit, Kobaltin)	"	2.—
" †*23.	23.	Pentagondodekaëder π (210), $\left[\frac{\infty O^2}{2} \right]$ (Pyrit, Kobaltin)	"	2.—
" †*24.	24.	π (210), $\left[\frac{\infty O^2}{2} \right]$, (100) $\infty O \infty$ (Pyrit)	"	2.—
"	25.	π (210), $\left[\frac{\infty O^2}{2} \right]$, Penetrationszwillling nach (110) ∞O (Pyrit)	"	4.—

d) Tetraödrisch-hemiödrische Formen.

" †	26.	Hexakistetraëder \times (321), $\frac{3O^3}{2}$ (Diamant)	"	2.—
" †	27.	Triakistetraëder \times (211), $\frac{2O^2}{2}$ (Tetraödrat)	"	2.—
" †	28.	Deltoiddodekaëder \times (221), $\frac{2O}{2}$ (Blende)	"	2.—
" †*29.	29.	Tetraëder \times (111), $\frac{O}{2}$ (Tetraödrat, Blende)	"	2.—
" †	30.	\times (111), $\frac{O}{2}$, (100) $\infty O \infty$ (Tetraödrat)	"	2.—

Nr.	31.	(110) ∞O , $\alpha(311)$, $\frac{303}{2}$ (Blende)	\mathcal{M}	2.—
"	32.	do. Zwilling nach (111) O (Blende)	"	2.—
"	33.	(100) $\infty O\infty$, (110) ∞O , $\alpha(111)$, $\frac{O}{2}$ (Boracit)	"	2.—

e) Tetraödrische Formen.

"	34.	Rechtes Pentagondodekaeder $\alpha\pi(123)$, $r \frac{30^3/2}{2}$	"	2.—
"	35.	Linkes Pentagondodekaeder $\alpha\pi(213)$, $l \frac{30^3/2}{2}$	"	2.—

II. Das hexagonale Krystalsystem.

a) Holoëdrische Formen.

"	36.	Dihexagonale Pyramide (2133) $P^3/2$	"	2.—
"	37.	Hexagonale Pyramide erster Ordnung (1011) P	"	2.—
"	38.	Dihexagonales Prisma (2130) $\infty P^3/2$ mit der Endfläche (0001) oP	"	2.—
"	39.	Hexagonales Prisma erster Ordnung (1010) ∞P mit der Endfläche (0001) oP	"	2.—
"	40.	Beryll (1010) ∞P , (0001) oP, (1011) P, (2021) 2P, (1121) 2P $\bar{2}$	"	2.—

b) Trapezoëdrisch-hemiëdrische Formen.

"	41.	Rechtes hexagonales Trapezoëder $\tau(3133)$, $rP^3/2$	"	2.—
"	42.	Linkes hexagonales Trapezoëder $\tau(3\bar{1}33)$, $lP^3/2$	"	2.—

c) Pyramidal-hemiëdrische Formen.

"	43.	Apatit (1010) ∞P , (0001) oP, (1011) P, (1121) 2P2, $\pi(21\bar{3}1)$, $\left[\frac{3P^3/2}{2}\right]$	"	2.—
---	-----	---	---	-----

d) Rhomboëdrisch-hemiëdrische Formen.

"	44.	Rhomboëder $\alpha(10\bar{1}1)$, $\frac{P}{2} = R$	"	2.—
"	45.	Hexagonales Skalenoëder $\alpha(2\bar{1}31)$, $\frac{3P^3/2}{2} = R3$	"	2.—
"	46.	Calcit (1010) ∞R , $\alpha(01\bar{1}2)$, $-1/2R$	"	2.—
"	47.	" $\times(2\bar{1}31) R3$, $\alpha(10\bar{1}1) R$	"	2.—
"	48.	" $\times(2\bar{1}31) R3$, (1010) ∞R , $\alpha(0112)$, $-1/2R$	"	2.—
"	49.	dto. Zwilling nach (0001) oR	"	2.—
"	50.	dto. (1011) R	"	2.—
"	51.	Eisenglanz (2243) $4/3P2$, $\alpha(10\bar{1}1) R$, $\alpha(10\bar{1}4) 1/4R$	"	2.—
"	52.	Korund (0001) oR, (2241) 4P2, (9. 9. 18. 2) 9P2, $\alpha(10\bar{1}1) R$, (2143) $4/3P2$	"	2.—
"	53.	Turmalin (1120) $\infty P2$, (1010) ∞R ; am oberen Pol $\alpha(10\bar{1}1) R$, $\alpha(02\bar{2}1) -2R$, am unteren Pol $\alpha(0111) R$, (1012) $-1/2R$	"	3.—

e) Trapezoëdrisch-tetartoëdrische Formen.

"	54.	Rechtes trigonales Trapezoëder $\tau\tau(2133)$, $r \frac{P^3/2}{4}$	"	2.—
"	55.	Linkes trigonales Trapezoëder $\tau\tau(3\bar{1}33)$, $l \frac{P^3/2}{4}$	"	2.—
"	56.	Quarz (1010) ∞R , $\alpha(10\bar{1}1) R$, $\tau\tau(51\bar{6}1)$, $r \frac{6P^6/5}{4}$, $\alpha(10\bar{1}1) -R$	"	2.—
"	57.	" (1010) ∞R , $\alpha(1011) R$, $\tau\tau(61\bar{5}1)$, $l \frac{6P^6/5}{4}$, $\alpha(0111) -R$	"	2.—

f) Rhomboëdrisch-tetartoëdrische Formen.

Nr.	58.	Ilmenit (0001) oR, $\alpha(10\bar{1}1) R$, $\alpha(02\bar{2}1) -2R$, $\alpha\pi(22\bar{4}3) \frac{4/3P2}{4}$	\mathcal{M}	2.—
-----	-----	--	---------------	-----

III. Das tetragonale Krystalsystem.

a) Holoëdrische Formen.

"	59.	Ditetragonale Pyramide (122) P2	"	2.—
"	60.	Tetragonale Pyramide erster Ordnung (111) P	"	2.—
"	61.	Ditetragonales Prisma (120) $\infty P2$ mit der Basis (001) oP	"	2.—
"	62.	Tetragonales Prisma (110) ∞P mit der Basis (001) oP	"	2.—
"	63.	Kassiterit (111) P, Zwilling nach (101) Poo	"	2.—
"	64.	Zirkon (110) ∞P , (100) ∞Poo , (111) P, (131) 3P3	"	2.—
"	65.	Idokras (110) ∞P , (001) oP, (100) ∞Poo , (101) Poo, (331) 3P, (131) 3P3, (111) P	"	2.—

b) Trapezoëdrisch-hemiëdrische Formen.

"	66.	Rechtes tetragonales Trapezoëder $\tau(122)$, $r \frac{P2}{2}$	"	2.—
"	67.	Linkes tetragonales Trapezoëder $\tau(212)$, $l \frac{P2}{4}$	"	2.—

c) Pyramidal-hemiëdrische Formen.

"	68.	Scheelit (101) Poo, (102) $1/2P\infty$, $\pi(311) \left[\frac{3P3}{2} \right]$, (111) P	"	2.—
---	-----	--	---	-----

d) Sphenoidisch-hemiëdrische Formen.

"	69.	Tetragonales Skalenoëder $\tau(212) \frac{P2}{2}$	"	2.—
"	70.	Tetragonales Sphenoid $\alpha(111) \frac{P}{2}$	"	2.—
"	71.	Chalkopyrit $\alpha(111) \frac{P}{2}$, $\alpha(1\bar{1}1) -\frac{P}{2}$, (201) 2P ∞ , (101) Poo, (001) oP	"	2.—

IV. Das rhombische Krystalsystem.

a) Holoëdrische Formen.

"	72.	Rhomboïsche Pyramide (111) P	"	2.—
"	73.	Rhomboïsches Prisma (110) ∞P mit der Basis (001) oP	"	2.—
"	74.	Schwefel (111) P, (011) P \bar{x} , (113) $1/3P$, (001) oP	"	2.—
"	75.	Aragonit (110) ∞P , (010) $\alpha P\bar{x}$, (011) P \bar{x}	"	2.—
"	76.	" do. Zwilling nach (110) ∞P	"	2.—
"	77.	Cerussit (010) $\alpha P\bar{x}$, (111) P, (110) ∞P	"	3.—
"	78.	" do. Zwilling nach (110) ∞P	"	3.—
"	79.	Baryt (010) $\alpha P\bar{x}$, (110) ∞P , (100) $\alpha P\bar{x}$, (021) 2P \bar{x} , (101) P \bar{x} , (001) oP	"	2.—
"	80.	Hemimorphit (010) $\alpha P\bar{x}$, (100) $\alpha P\bar{x}$, (110) ∞P ; oben (001) oP, (031) 3P \bar{x} , (301) 3P \bar{x} , unten (121) 2P \bar{x}	"	2.—
"	81.	Topas (110) ∞P , (120) $\infty P2$, (111) P, (001) oP, (223) $2/3P$, (021) 2P \bar{x} , (243) $4/2P\bar{x}$	"	2.—

b) Hemiëdrische Formen.

"	82.	Rechtes rhombisches Sphenoid $\tau(111) \frac{P}{2}$	"	2.—
"	83.	Linkes rhombisches Sphenoid $\tau(1\bar{1}1) -\frac{P}{2}$	"	2.—
"	84.	Epsomit (110) ∞P , (010) $\alpha P\bar{x}$, $\pi(111) \frac{P}{2}$, $\pi(1\bar{1}1) -\frac{P}{2}$	"	2.—

V. Das monosymmetrische Krystalsystem.

Nr. †*85.	Orthodoma (101) $\pm \infty P\infty$ mit dem Klinopinakoid (010) $\infty P\infty$	\mathcal{M}	2.—
†*86.	Klinodoma (011) $P\infty$ mit dem Orthopinakoid (100) $\infty P\infty$	"	2.—
87.	Gyps (010) $\infty P\infty$, (110) ∞P , (111) $-P$	"	2.—
88.	dto. Zwillingsnach (100) $\infty P\infty$	"	2.—
89.	Melanerit (001) ∞P , (110) ∞P , (101) $P\infty$	"	2.—
†*90.	Augit (100) $\infty P\infty$, (110) ∞P , (010) $\infty P\infty$, (111) P	"	2.—
†*91.	dto. Zwillingsnach (100) $\infty P\infty$	"	3.—
92.	Amphibol (110) ∞P , (010) $\infty P\infty$, (001) ∞P , (111) P	"	2.—
93.	dto. Zwillingsnach (100) $\infty P\infty$	"	2.—
†*94.	Orthoklas (010) $\infty P\infty$, (001) ∞P , (201) $2P\infty$, (110) ∞P	"	2.—
†*95.	dto. rechter Carlsbader Zwillingsnach	"	4.—
96.	dto. linker Carlsbader Zwillingsnach	"	4.—

VI. Das asymmetrische System.

97.	Asymmetrisches Makrodoma (101) $P\infty$ mit dem Brachypinakoid (010) $\infty P\bar{\infty}$	"	2.—
†*98.	Chalkanthit (111) P' , (110) ∞P , (110) ∞P , (100) $\infty P\bar{\infty}$, (121) $2P\bar{2}$, (010) $\infty P\bar{\infty}$	"	2.—
99.	Albit (010) $\infty P\bar{\infty}$, (001) P , (110) ∞P , (110) ∞P , (101) $P\bar{\infty}$, (111) P	"	2.—
100.	dto. Zwillingsnach (110) $\infty P\bar{\infty}$	"	2.—

Sammlung von 100 Krystallmodellen aus Pappe nach vorstehender Aufstellung:

Collection of 100 Crystal-models according to the above arrangement:

Collection de 100 modèles de cristaux d'après l'arrangement précédent:

In Durchschnittsgrösse von 16—25 cm = Nr. 37 . . . \mathcal{M} 180.—

Ausser dieser Sammlung werden auch noch zwei kleinere von 30 bzw. 60 Stück abgegeben; die zur Sammlung von 30 Stück gehörigen sind in der vorstehenden Aufstellung mit *, die zur Sammlung von 60 Stück gehörigen mit † bezeichnet.

We also provide two smaller collections of 30 resp. 60 models, which we marked in the preceding list with * resp. †.

Nous offrons aussi deux petites collections de 30 resp. 60 modèles, qui dans la liste précédente sont marqués avec * resp. †.

Sammlung von 30 Krystallmodellen aus Pappe = Nr. 38 . . . \mathcal{M} 52.—

" " 60 " " " = " 39 . . . " 105.—

FF. Sammlung von 115 Krystallmodellen aus Pappe zur Darstellung der hemiedrischen und tetartoëdrischen Formen, zusammengestellt von Prof. Dr. J. Beckenkamp.

Zugleich Ergänzungssammlung der systematisch-krystallographischen Sammlung von 81 Glasmodellen (siehe Seite 41—47).

Collection of 115 Crystal-models of card-board for the demonstration of the hemihedral and tetartoëdral forms, arranged by Prof. Dr. J. Beckenkamp.

Also supplement to the systematic-crystallographic collection of 81 Glas-models cf. p. 41—47.

Collection de 115 modèles de cristaux en papier cartonné, pour la démonstration des formes hémihédriques et tétaordoédriques arrangeée par le Prof. Dr. J. Beckenkamp.

Supplement de la collection systématique cristallographique de 81 modèles de cristaux en verre cf. p. 41—47.

I. Reguläres System.

a)	Hexakisoktaëdrische Klasse:	"	
b)	Hexakistetraëdrische Klasse:	"	
Nr. 1.	∞On (khk) weiss-gelb	"	\mathcal{M} 2.—

" 2.	∞O (110)	"	" 2.—
" 3.	$\infty O\infty$ (100)	"	" 2.—
c)	Dyakisododekaëdrische Klasse:	"	
" 4.	mOm (hkk) weiss-roth	"	" 2.—
" 5.	mO (hhk)	"	" 2.—
" 6.	∞O (110)	"	" 2.—
" 7.	O (111)	"	" 2.—
" 8.	$\infty O\infty$ (100)	"	" 2.—

d)	Pentagonikositetraëdrische Klasse:	"	
" 9.	mOm (hkk) weiss-blau	"	" 2.—
" 10.	mO (hhk)	"	" 2.—
" 11.	∞On (h0k)	"	" 2.—
" 12.	∞O (110)	"	" 2.—
" 13.	$\infty O\infty$ (100)	"	" 2.—
" 14.	O (111)	"	" 2.—

e)	Tetraëdrisch-pentagondodekaëdrische Klasse:	"	
" 15.	mOm (hkk) weiss-hellgelb-hellblau-grün	"	" 2.—
" 16.	mO (hhk)	"	" 2.—
" 17.	∞On (h0k)	"	" 2.—
" 18.	∞O (110)	"	" 2.—
" 19.	$\infty O\infty$ (100)	"	" 2.—
" 20.	O (111)	"	" 2.—

II. Tetragonales System.

a)	Ditetragonal-bipyramidal Klasse:	"	
b)	Ditetragonal-pyramidal Klasse:	"	
" 21.	Pn (hkl) weiss-schwarz	"	" 2.—
" 22.	P ∞ (101)	"	" 2.—
" 23.	P (111)	"	" 2.—
" 24.	∞Pn (hk0)	"	" 2.—
" 25.	∞P (110)	"	" 2.—
" 26.	$\infty P\infty$ (100)	"	" 2.—

c)	Skalenoëdrische Klasse:	"	
" 27.	P ∞ (101) weiss-gelb	"	" 2.—
" 28.	∞Pn (hk0)	"	" 2.—
" 29.	∞P (110)	"	" 2.—
" 30.	$\infty P\infty$ (100)	"	" 2.—

d)	Tetragonal-bipyramidal Klasse:	"	
" 31.	P (111) weiss-roth	"	" 2.—
" 32.	P ∞ (101)	"	" 2.—
" 33.	∞P (100)	"	" 2.—
" 34.	$\infty P\infty$ (100)	"	" 2.—

e)	Tetragonal-trapezoëdrische Klasse:	"	
" 35.	P (111) weiss-blau	"	" 2.—
" 36.	P ∞ (101)	"	" 2.—
" 37.	∞P (110)	"	" 2.—
" 38.	$\infty P\infty$ (100)	"	" 2.—
" 39.	∞Pn (kh0)	"	" 2.—

	f) Bisphenoidische Klasse:	
Nr. 40.	P (111)	weiss-hellrot-hellgelb-orange
" 41.	P ∞ (101)	" " "
" 42.	∞ P (110)	" " "
" 43.	∞ P ∞ (101)	" " "
" 44.	∞ Pn (hk0)	" " "

	g) Tetragonal-pyramidalre Klasse:	
" 45.	Pn (khl)	weiss-hellblau-grau-dunkelblau
" 46.	P ∞ (101)	" " "
" 47.	P (111)	" " "
" 48.	∞ Pn (hk0)	" " "
" 49.	∞ P (110)	" " "
" 50.	∞ P ∞ (100)	" " "

III. Rhombisches System.

	a) Bipyramidalre Klasse:	
	b) Pyramidale Klasse:	
" 51.	P (111)	weiss-schwarz
" 52.	P ∞ (101)	" " "
" 53.	P ∞ (011)	" " "
" 54.	∞ P (110)	" " "
	c) Bisphenoidische Klasse:	
" 55.	∞ P (110)	weiss-blau
" 56.	P ∞ (101)	" " "
" 57.	P ∞ (011)	" " "

IV. Monoklines System.

	a) Prismatische Klasse:	
" 58.	\pm P, (111), (11 $\bar{1}$)	weiss-gelb
	b) Dematische Klasse:	
" 59.	\pm P, (111), (11 $\bar{1}$)	weiss-hellrot-hellgelb-orange
	c) Sphenoidische Klasse:	
" 60.	\pm P, (111), (11 $\bar{1}$)	weiss-hellgelb-hellblau-grün

V. Triklines System.

	a) Pinakoide Klasse:	
" 61.	P' (111)	weiss (P (111), P _r (11 $\bar{1}$), P' (111) farblos)
	b) Pediale Klasse:	
" 62.	$\frac{P'}{2}$ (111)	weiss, $\frac{P'}{2}$ (111) blau (P (111), P' (11 $\bar{1}$), P' (111) farblos)

VI. Hexagonales System.

	a) Dihexagonal-bipyramidalre Klasse:	
	b) Dihexagonal-pyramidalre Klasse:	
" 63.	Pn (hkl)	weiss-schwarz
" 64.	P (1011)	" " "
" 65.	P2 (1122)	" " "
" 66.	∞ Pn (hik0)	" " "
" 67.	∞ P (1010)	" " "
" 68.	∞ P2 (1120)	" " "

Nr. 69.	P2 (1122)	weiss-braun
" 70.	∞ P2 (1120)	" " "

" 71.	P2 (1122)	weiss-gelb
" 72.	∞ P (1010)	" " "
" 73.	∞ P2 (1120)	" " "
" 74.	∞ Pn (hik0)	" " "

" 75.	P (10 $\bar{1}$ 1)	weiss-roth
" 76.	P2 (1122)	" " "
" 77.	∞ P (1010)	" " "
" 78.	∞ P2 (1120)	" " "

" 79.	P (10 $\bar{1}$ 1)	weiss-blau
" 80.	P2 (1122)	" " "
" 81.	∞ P (1010)	" " "
" 82.	∞ P2 (1120)	" " "
" 83.	∞ Pn (hik0)	" " "

" 84.	P (10 $\bar{1}$ 1)	weiss-hellbraun-grau-dunkelbraun
" 85.	P2 (1122)	" " " " "
" 86.	Pn (hikl)	" " " " "
" 87.	∞ P (10 $\bar{1}$ 1)	" " " " "
" 88.	∞ P2 (1120)	" " " " "
" 89.	∞ Pn (hik0)	" " " " "

" 90.	P (10 $\bar{1}$ 1)	weiss-hellblau-grau-dunkelblau
" 91.	P2 (1122)	" " " " "
" 92.	Pn (hikl)	" " " " "
" 93.	∞ P (1010)	" " " " "
" 94.	∞ P2 (1120)	" " " " "
" 95.	∞ Pn (hik0)	" " " " "

" 96.	P (1011)	weiss-hellrot-hellbraun-braunrot
" 97.	P2 (1122)	" " " " "
" 98.	∞ P (1010)	" " " " "
" 99.	∞ P2 (1120)	" " " " "

" 100.	P (1011)	weiss-hellrot-hellgelb-orange
" 101.	P2 (1122)	" " " " "
" 102.	∞ P (1010)	" " " " "
" 103.	∞ P2 (1120)	" " " " "
" 104.	∞ Pn (hik0)	" " " " "

" 105.	P (10 $\bar{1}$ 1)	weiss-hellgelb-hellblau-grün
" 106.	P2 (1122)	" " " " "
" 107.	∞ P (1010)	" " " " "
" 108.	∞ P2 (1120)	" " " " "
" 109.	∞ Pn (hik0)	" " " " "

m) Trigonal-pyramidal Klasse:						
Nr.	Pn (hikl)	hell: weiss, grün, gelb, blau	dunkel: gran, grün, gelb, blau	.	.	M
110.	P (1011)	"	"	"	"	2.-
111.	P2 (1122)	"	"	"	"	2.-
112.	∞Pn (hik0)	"	"	"	"	2.-
113.	∞P (1010)	"	"	"	"	2.-
114.	∞P2 (1020)	"	"	"	"	2.-
115.						

... eines von 115 Modellen nach vorstehender Aufstellung:

Sammlung von 115 Modellen nach
Anordnung von 115 models according to the above arrangement:

Collection of 115 models according to the arrangement in the preceding section: 115 modèles d'après l'arrangement précédent:

Durchschnittsgrössen 15 cm = Nr. 40 . . M 200.—

IV. VERSCHIEDENE KRYSTALLOGRAPHISCHE MODELLE.

Divers crystallographic models.

Divers modèles cristallographiques.

GG. Modell zur Erläuterung der Kugelprojektion nach Prof. Dr. H. Lénk in Erlangen

Das Modell ist dazu bestimmt, beim krystallographischen Unterricht dem Anfänger die Methode der sphärischen Projektion eines Krystalls klar zu machen. Dieselbe zerfällt bekanntlich in zwei Operationen:

- 1) in die Construction der Flächenpole auf einer um den zu projicirenden Krystall gedachten Kugelfläche,
 2) in die Projection dieser Flächenpole auf die sog. Projectionsebene.

Die gedachte Kugel ist durch die hohle Glaskugel repräsentirt, welche aus zwei durch Metallring und Bajonetverschluss mit einander verbundenen Halbkugeln besteht; zwischen diesen ist eine kreisrunde Glasplatte eingeklemmt, welche als Unterlage für die Krystallmodelle und zugleich als Projectionsebene dienen soll. Die Zenithe der beiden Halbkugeln, von welchen jenes der unteren Kugelhälfte den sog. Augpunkt darstellen soll, sind durch rothe Punkte bezeichnet. Ihre Verbindungs linie geht durch das Centrum der Projektionsplatte und steht auf letzterer senkrecht.

Um nicht gegen das Centralum der Projektionsplatte und sonst auf letztere zu schlagen, Zur Demonstration entfernt man zunächst die obere Halbkugel, legt auf die scheibenförmige Glasplatte eines der beigegebenen Projektionsbilder und orientiert das dazu gehörige, mit Flächennormalen versehene Krystallmodell auf demselben auf Grund der Lage der Krystallaxen, bezw. der in der Projektionsebene selbst liegenden Flächennormalen, die in den meisten Fällen solche der Prismenzone sind. (Diese sich stets wiederholende und sehr sorgfältig auszuführende Operation fällt weg, wenn das Krystallmodell auf dem zugehörigen Projektionsbild ein für alle Male durch Ankleben befestigt wird.) Sodann stülpt man die obere Kugelhälfte wieder auf und drückt dieselbe mittelst des Bajonettschlusses leicht fest.

Die Punkte, in welchen die einzelnen Flächennormalen die Innenfläche der oberen Halbkugel treffen, sind nun die Pole der betreffenden Krystallflächen. Man überzeugt sich leicht, dass die sämtlichen Pole tautozonaler Flächen auf grössten Kreisen (Meridianlinien) liegen.

Sucht man nun nach entsprechender Drehung der ganzen Glaskugel — zu welchem Zwecke diese um ihre horizontale Axe beweglich ist — vom Augpunkt (i. d. u. Kugelhälfte) aus die Flächenpole (i. d. o. Kupelhälften) zu erblicken oder, was gleichbedeutend und einfacher, von den Flächenpolen aus den Augpunkt, so gelingt dies nur, wenn der Blick durch die auf dem Projektionsbild angebrachten Durchlochungen fällt. Diese stellen daher die Schnittpunkte der Verbindungsgeraden zwischen Flächenpolen und Augpunkt mit der Projektionsebene dar und sind darum selbst die **Projektionspunkte** der Flächenpole und der jeweils als Projektionsebene gewählten Fläche.

GG. Model for the demonstration of the spheric projection of crystals according to Prof. Dr. H. Lenk in Erlangen.

This model is intended to illustrate to beginners of the study of crystallography the method of the spheric projection.

This method consists of two operations:

- 1) the construction of the poles of the faces on a spherical surface which is presumed round the crystal,
 - 2) the projection of these poles on the so-called plane of projection.

The spherical surface is represented by a hollow sphere of glass, consisting of two hemispheres joined by a metal ring; between the two parts a round plate of glass is inserted, which serves as a base for the crystal models and at the same time as the plane of projection. The zeniths of the two hemispheres, the lower one of which represents the point of right, are marked by red points. The line connecting these points passes through the centre of the plane of projection and stands perpendicular on it.

When used for demonstrating purposes, take away the upper hemisphere put one of the figures of projection on the glass plate and following the position of the axes fix upon it the crystal model belonging to it and which is provided with normals of the planes, which in most cases are such of the zone of prisms. (This operation, which has to be done very carefully and repeatedly is unnecessary if the crystal model is once for all glued to the respective figure of projection.) Lastly place the upper hemisphere back in its former position and fasten it lightly with the clasp.

The point in which the single normals of the faces (which are presumed to pass through the centre of the sphere) meet the inner surface of the upper hemisphere are then the poles of the respective crystal faces. It is easy to convince oneself of the fact that all the poles of tautozonal faces lie on great circles.

If after the necessary rotation of the whole glass-sphere — and for this purpose it is constructed so as to turn round its horizontal axis — one tries to perceive from the point of sight (in the lower hemisphere) the poles of the faces (in the upper hemisphere) or vice versa, which results in the same and is simpler, one can only succeed in doing so if the eye-line passes through the perforations in the figure of projection. These perforations therefore represent the intersections of the connecting lines between the poles of the faces and are therefore themselves the projecting points of the poles on the face, which is chosen for the plane of projection.

GG. Modèles pour l'explication de la projection sphérique d'après le Prof. Dr. H. Lenk, Erlangen.

Ces modèles sont construits pour faire comprendre au débutant la méthode utilisée pour la projection sphérique.

Celle-ci exige deux opérations:

- 1) Construction des pôles des faces sur la sphère qu'on s'imagine entourant le cristal
- 2) Projection des ces pôles sur un plan, dit plan de projection.

La sphère creuse qui enveloppe le cristal est formée par la réunion de 2 hémisphères fixés par un anneau métallique. Entre ces deux hémisphères on a intercalé un disque de verre qui figure le plan de projection. Les zéniths des deux hémisphères sont figurés par des points rouges, celui de l'hémisphère inférieur représente le point de vue, la ligne qui les joint passe par le centre du plan de projection sur lequel elle est perpendiculaire.

Pour la démonstration on enlève tout d'abord l'hémisphère supérieur, puis on place sur le disque une projection sphérique dessinée sur du papier, ainsi que le cristal qui s'y rapporte dont les faces sont munies de normales. On oriente le cristal sur la projection en se servant des axes cristallographiques ou des normales situées dans le plan de projection, qui dans la plupart des cas sont celles munies à des faces prismatiques. Cette opération délicate qu'il faut répéter chaque fois, sera évitée en collant le cristal une fois pour toutes sur la projection qui s'y rapporte. On rajuste alors l'hémisphère supérieur.

Le points où les normales viennent percer l'hémisphère supérieur représentent les pôles des faces du cristal, il est alors facile de se convaincre que les pôles des faces tautozonales sont situés sur le même grand cercle.

On imprime alors à la sphère une rotation autour de son axe horizontal de façon à voir du point de vue situé dans l'hémisphère inférieure les pôles des faces placés dans l'hémisphère supérieur; on ce qui est plus simple, de voir le point de vue depuis le pôle des faces, ce qui s'obtient aisément grâce aux trous pratiqués dans le papier sur lequel est dessinée la projection du cristal en question. Ces

trous représentent donc les points d'intersection avec le plan de projection des droites qui relient les pôles des faces avec le point de vue, ils représentent par conséquent les projections des pôles des faces sur le plan choisi comme plan de projection.

Verzeichniss der sechs mit Flächennormalen versehenen Krystallmodelle:

- Nr. 1. Reguläres System $\infty\infty\infty$ (100), $\infty\infty$ (110), O (111).
- " 2. Tetragonales System ∞P (110), $\infty P\infty$ (100), P (111), $P\infty$ (101), ∞P (001) (Vesuvian).
- " 3. Hexagonales System ∞P (101̄0), $\infty P2$ (112̄0), P (101̄1), $1/2P$ (101̄2), ∞P (0001) (Nephelin).
- " 4. Rhomboédrisches System ∞R (101̄0), ∞R (0001), Rz (101̄1), R3z (213̄1) (Calcit).
- " 5. Rhombisches System $\infty P2$ (120), ∞P (110), P (111), $1/2P$ (112), $1/3P$ (113), ∞P (001), $P\bar{2}$ (011), $2/3\bar{P}2$ (123) (Topas).
- " 6. Monoklines System $\infty P\infty$ (010), ∞P (110), ∞P (001), $2P\infty$ (021), $P\infty$ (101), $2P\infty$ (201), P (111) (Orthoklas).

Preis des vollständigen Apparates

einschliesslich der sechs mit Flächennormalen versehenen Krystallmodelle (regulär, tetragonal, hexagonal, hexagonal-rhomboédrisch, rhombisch, monoklin) und der dazu gehörigen Projektionsbilder = Nr. 41 M 90.—

HH. Colorirte Gummibälle zur Erläuterung der sphärischen Projektion nach Prof. Dr. J. Beckenkamp.

Auf der Oberfläche des Gummiballes, von $15\frac{1}{2}$ cm Durchmesser, sind für das reguläre System z. B. die Pole der 3 einfachen Formen O (111), $\infty\infty\infty$ (100), $\infty\infty$ (110) durch verschieden gefärbte Punkte, die wichtigsten Zonen durch verschiedenen gefärbten Kreise dargestellt. Dem in der Modellsammlung U, pag. 41—47, angegebenen Lehrgange entsprechend giebt der Ball die Projektion der holohedrischen Klasse des regulären Systems, kann aber auf Wunsch auch für das triklene System oder für jede andere beliebige Klasse geliefert werden.

HH. Rubber-ball for the demonstration of the spherical projection, according to Prof. Dr. J. Beckenkamp.

On the surface of this ball, of $15\frac{1}{2}$ cm diameter, the poles of the 3 simple forms O (111), $\infty\infty\infty$ (100), $\infty\infty$ (110) are marked by differently coloured points, and the most important zones by differently coloured circles. In accord with the method, followed in the collection of models U, pag. 41—47, the ball shows the projection of the holohedral class of the regular system, but can as well be provided for every other class of crystals.

HH. Balle de gomme élastique pour la démonstration de la projection sphérique, d'après le Prof. Dr. J. Beckenkamp.

Sur la surface de cette balle, de $15\frac{1}{2}$ cm de diamètre, les pôles des 3 formes simples O (111), $\infty\infty\infty$ (100), $\infty\infty$ (110) sont marqués par des points colorés, et les zones les plus importantes par des cercles différemment colorés. Suivant la méthode, à laquelle est appliquée la collection U, pag. 41—47, cette balle démontre la projection de la classe holohédrique du système cubique, mais peut être pourvu aussi bien pour toutes les autres classes de cristaux.

Preis des fertig colorirten mit Flächensymbolen (nach Miller) versehenen Balles aus extra starkem Gummi hergestellt:

Für das reguläre System	14.—
" " triklane "	15.—

^{*)} Der auf Seite 47 angegebene Preis für Gummibälle ist ungültig.

JJ. Neue Axenmodelle zur Demonstration der Symmetrieverhältnisse der Krystalle

construit von

Prof. Dr. H. Baumhauer in Freiburg (Schweiz).

(Vergl. „Darstellung der 32 möglichen Krystallklassen auf Grund der Deck- und Spiegelaxen, nebst Beschreibung von Axenmodellen zur Demonstration der Symmetrieverhältnisse der Modelle“, von H. Baumhauer [Leipzig 1899].)

Diese Modelle zeigen für ein grösseres Auditorium gut sichtbar die krystallographischen Achsen, sowie die Deck- und Spiegelaxen, und bringen dabei zur Veranschaulichung die sog. Grundformen, gewisse Zonenverhältnisse, sowie die optischen Achsen nebst deren Dispersion bei rhombischen und monoklinen Krystallen. Vor allen Dingen geben sie ein Mittel an die Hand, um die verschiedenen möglichen Krystallklassen in einfacher Weise abzuleiten und nach ihren Symmetrieverhältnissen zu demonstrieren.

Als Träger dient jedesmal eine aus Birnbaumholz gefertigte Kombination der sechs Krystallsysteme (z. B. $\infty\infty\infty$ (100), $\infty\infty$ (110), O(111) im regulären System), welche in den Richtungen der zu demonstrirenden Achsen durchbohrt ist. In die Öffnungen werden je nach Art der Achsen verschieden gefärbte Aluminiumstäbe gesteckt, die an den freien Enden Oesen zum Durchziehen von Fäden tragen, und auf welche aus Kupferblech hergestellte Symbole der Deck- und Spiegelaxen aufgesteckt werden können. Die optischen Achsen sind durch Stäbe dargestellt, die an einer Längsseite roth, an der anderen blau gefärbt sind.

Da die Modelle mithin vollständig zerlegbar sind, können sie behufs Aufbewahrung auf ein sehr kleines Volumen reducirt werden.

Um kleineren Instituten die Anschaffung dieser instruktiven Apparate zu erleichtern, ist ausser dem vollständigen Satz I noch ein mittlerer II und ein kleinerer III eingerichtet.

- I. Vollständiger Satz zur gleichzeitigen Darstellung von sechs Krystallsystemen in elegantem, dauerhaftem Holzkasten = Nr. 42 M 110.—
- II. Mittlerer Satz zur gleichzeitigen Darstellung von zwei beliebigen Krystallsystemen in elegantem, dauerhaftem Holzkasten = Nr. 43 M 92.—
- III. Kleiner Satz, mit dem immer nur ein beliebiges Krystallsystem auf einmal dargestellt werden kann, in elegantem, dauerhaftem Holzkasten = Nr. 44 M 80.—

JJ. New crystallographic models for the demonstration of the symetrie of crystals, constructed by Prof. Dr. H. Baumhauer (Freiburg i./Switzerland).
(cf. Darstellung der 32 möglichen Krystallklassen etc.)

These new models are constructed in a large scale in order to be adapted for use in big lecture-rooms. They show as well the axes of simple and composed symetrie, and the fundamental forms, as certain properties of zones, the optical axes and their dispersion in orthorhombic and monoclinic crystals. They are especially suitable for the deduction of the different classes of crystals, and for the demonstration of their properties of symetrie.

The collection consists of 6 models, made of pear-tree-wood, one for each crystallographic system (for the regular system f. i. the combination of $\infty\infty\infty$ (100), $\infty\infty$ (110), O(111)). These models are perforated in the direction of the different axes in question. In the holes are fitted rods of aluminium, differently coloured according to the different kinds of axes; they have a small ear on the one end, through which a thread can be passed. On these rods a copper-plate can be fixed, showing the symbol of the axes of simple and composed symetrie.

The optical axes are represented by rods, which are red on the one and blue on the other side.

As these models can be entirely taken to pieces, they can be kept in a comparatively small box.

In order to enable all institutes to buy these models we offer besides the complete collection, also two smaller sets.

- I. Complete set; all the six crystal systems can be demonstrated simultaneously; in elegant wooden case = Nr. 42 M 110.—
- II. Second set; two of the six systems can be demonstrated simultaneously; in elegant wooden case = Nr. 43 M 92.—
- III. Small set; of the six systems only one after the other can be demonstrated; in elegant wooden case = Nr. 44 M 80.—

JJ. Nouveaux modèles cristallographiques; pour la démonstration des propriétés symétriques des cristaux,
construits par le Prof. Dr. H. Baumhauer (Fribourg, Suisse).
(cf. Darstellung der 32 möglichen Krystallklassen etc.)

Ces nouveaux modèles servent à montrer d'une manière visible même pour un grand auditoire les axes de symétrie simple et composée aussi bien que les axes cristallographiques. Ils mettent en évidence les formes primitives, certaines propriétés des zones, les axes optiques et leur dispersion dans les cristaux rhombiques et monocliniques. Ils constituent surtout un moyen excellent pour déduire d'une manière simple les différentes classes cristallographiques possibles, et pour en trouver les propriétés de symétrie.

La collection consiste de 6 modèles en bois de poirier: un pour chaque système cristallographique. Pour la système régulier p. e. il y a la combinaison $\infty\infty\infty$ (100), $\infty\infty$ (110), O(111). Ces modèles sont perforés dans les directions des différents axes dont il y a été question plus haut. Dans ces ouvertures on fait entrer des petites baguettes en aluminium, dont la couleur diffère pour les différentes espèces d'axes. Ces baguettes portent au bout un petit anneau par lequel on peut faire passer un fil; on y attache des figures en feuille de cuivre pour indiquer les axes de symétrie simple et composée.

Les axes optiques sont représentés par des baguettes, rouges d'un côté, bleues de l'autre, dans le sens des génératrices.

Comme les modèles sont entièrement démontables ils occupent ensemble un très-petit volume.

Pour faciliter l'achat des modèles à tous les instituts on a construit en dehors de la collection complète une moyenne et petite collection.

- I. La grande collection, contenue dans une élégante et solide cassette de bois, comprend tout ce qu'il faut pour monter les six modèles à la fois = Nr. 42 M 110.—
- II. La collection moyenne comprend ce qu'il faut pour deux systèmes à la fois = Nr. 43 M 92.—
- III. Dans la petite collection il y a ce qu'il faut pour monter un système séparé. En cassette de bois solide et élégante = Nr. 44 M 80.—

KK. Gypsmodelle der optischen Wellenflächen für Krystalle.

Gypsum models of the surfaces of the optic waves in double refracting crystals.
Modèles en plâtre des surfaces des ondes optiques dans les cristaux biréfringentes.

- Nr. 1. Wellenfläche für optisch einaxige Krystalle mit positiver Doppelbrechung. Ein Ausschnitt des Sphäroids zeigt die Kugel. Grösse 8–9 cm M 4.—
- 2. Wellenfläche für optisch einaxige Krystalle mit negativer Doppelbrechung, entsprechend Nr. 1; das Axenverhältniss 8,8 : 7,8 ist ungefähr das des Kalkspates M 4.—
- 3. Wellenfläche für optisch zweiaxige Krystalle; Verhältniss der Axenlängen 12 : 8,3 : 6,1; Grösse 12–8 cm; bestehend aus

a) dem äusseren Mantel mit Ausschnitten, die den inneren Mantel zeigen (Grösse 12 cm),	
b) dem inneren Mantel.	M 9.—
Preis zusammen	
Nr. 3a. Das zugehörige Ellipsoid mit denselben Axen	4.—
" 4. Dreiaxiges Ellipsoid, längs eines Kreisschnittes im 2. Theile zerlegbar	4.—
" 5. Wellenfläche für optisch zweiaxige Krystalle in einzelnen Octanten, mit sphärischen und ellipsoidischen Linien auf beiden Manteln und acht Nabelpunkten. Verhältniss der Axenlänge 12:9:6. Grösse der halben Fläche (4 Oktanten) 24—9 cm	8.50

Sammlung von 6 Modellen nach vorstehender Aufstellung:

Collection of 6 models according to the above arrangement:

Collection de 6 modèles d'après l'arrangement précédent:

Nr. 45 M 52.—

LL. Holzmodelle der optischen Indexflächen

nach Prof. Dr. P. Groth.

(Vergl. Groth, Krystallographie III. Aufl. p. 79 ff.)

Models of the optical indicatrix according to Prof. Dr. P. Groth.

Ellipsoïdes d'Elasticité d'après le Prof. Dr. P. Groth.

aus polirtem harten Holz, zum Zerlegen eingerichtet:

Nr. 1. Indexfläche für optisch positive Krystalle, mit einem schiefen Schnitt	M 15.—
" 2. " " negative	15.—
" 3. " zweiaxiger Krystalle mit einem Kreis- und einem schiefen Schnitt	40.—
Ein vollständiger Satz dieser drei Modelle Nr. 46	M 60.—

MM. Kolorierte Wellenoberflächen-Modelle aus Gyps

construit von

Prof. Dr. L. Duparc in Genf.

Diese in grossem Massstabe (ca. 16—25 cm Durchmesser) in Gyps hergestellten Modelle sind nach den drei optischen Haupt-Elasticitätsebenen zerlegbar und werden nur durch ein zweckmässig eingerichtetes Stativ zusammen gehalten.

Sie bestehen aus:

1. Sphärische Wellenfläche der regulären Krystalle	M 6.50
Dieselbe mit Stativ	16.50
2. Wellenfläche der negativen einaxigen Krystalle. Die grosse Axe der äusseren Welle misst $22\frac{1}{2}$ cm, die kürzere $15\frac{1}{2}$ cm; die äussere Welle kann abgenommen werden, worauf man die gegenseitigen Verhältnisse der beiden Wellen zu einander leicht erkennen kann	22.—
Dieselbe mit Stativ	34.—
3. Wellenfläche der positiven einaxigen Krystalle. Der Durchmesser der äusseren Kugel misst 16 cm, die Einrichtung ist ebenso wie bei Modell 2	22.—
Dieselbe mit Stativ	32.—
4. Wellenfläche der zweiaxigen Krystalle. Die Einrichtung erlaubt es, die Lage der inneren Welle in der äusseren zu sehen. Die beiden Flächen können auseinander genommen werden	22.—
Dieselbe mit Stativ	33.—

5. Isochromatische Fläche der einaxigen Krystalle nach Bertin, für die Erklärung der optischen Eigenschaften der einaxigen Krystalle in convergentem polarisirtem Lichte	M 5.—
6. Isochromatische Fläche der zweiaxigen Krystalle nach Bertin, für die Erklärung der optischen Eigenschaften der zweiaxigen Krystalle in convergentem polarisirtem Lichte	6.—

MM. Coloured Gypsum-models of the surface of the optical waves, constructed by Prof. Dr. L. Duparc.

These models, of good size (16—25 cm) can be taken to pieces being cut by the three principle planes of elasticity and are only held together by means of a most practical stand.

1. Spherical surface of the wave of regular crystals	M 6.50
2. Surface of the wave of negativ uniaxial crystals. The great axes of the outer wave is $22\frac{1}{2}$ cm long, the short one $15\frac{1}{2}$; the outer wave can be taken off, and it is then easy to see the relation of the two waves to one another	22.—
3. Surface of the wave of positiv uniaxial crystals. The diameter of the outer sphere is about 16 cm, the construction is the same as No. 2	22.—
4. Surface of the wave of biaxial crystals, the model allows to see the inner wave in the outer one, and the two can entirely be detached	22.—
5. Isochromatic surface for uniaxial crystals according to Bertin	5.—
6. Isochromatic surface for biaxial crystals, according to Bertin	6.—

MM. Surfaces d'onde, d'après le Prof. Dr. L. Duparc.

Ces surfaces sont exécutées en plâtre. et de grande dimension. Elles sont démontables et coupées par 3 plans perpendiculaires. Elles sont supportées au moyen d'un dispositif particulier.

1. Surface d'onde sphérique des cristaux cubiques	M 6.50
2. Surface d'onde des cristaux à un axe négatifs. La nappe externe mesure 22,5 centimètres de grand axe. Elle est démontable et la disposition adoptée permet de voir la nappe interne à l'intérieur de la nappe externe	22.—
3. Surface d'onde des cristaux à une axe positifs. La sphère extérieure mesure 16 centimètres de diamètre. La disposition est la même que précédemment	22.—
4. Surface d'onde des cristaux à 2 axes optiques. Le dispositif permet de voir la nappe interne dans la nappe externe. La surface est entièrement démontable. Les deux nappes peuvent être isolées	22.—
5. Surface isochromatique de Bertin pour les cristaux à un axe optique	5.—
6. Surface isochromatique de Bertin pour les cristaux à deux axes optiques	6.—

Sammlung von 6 Modellen nach vorstehender Aufstellung:

Collection of 6 models according to the above arrangement:

Collection de 6 modèles d'après l'arrangement précédent:

Mit den dazu gehörigen 4 Stativen = Nr. 47 , M 120.—

NN. Holzmodelle der Indexflächen zur Erklärung der Theorie der Doppelbrechung und der optischen Eigenschaften der Krystalle nach Prof. Dr. L. Duparc.

Diese Modelle sind aus massivem Birnbaumholz in der Höhe von ca. 20 cm hergestellt, auf 3 senkrecht zu einander liegende Metallachsen montirt und durch zweckmässige Stativen gehalten. Sie sind nach verschiedenen geeignet orientirten Ebenen durchschnitten, wodurch es möglich ist, die Gesetze der Fortpflanzung der Wellen in den verschiedenen Richtungen zu erkennen.

1. Indexfläche des regulären Systems (Kugel), nach 3 aufeinander senkrechten Ebenen durchschnitten und auf 3 gleichen Axen montirt, einschliesslich des Stativs	M 36.—
2. Indexfläche negativer einaxiger Krystalle, Rotationsellipsoid um die kleinste Axe (OZ), montirt auf 3 aufeinander senkrechten Axen, von denen zwei ($OX = OY$) einander gleich sind; durchschnitten nach 2 aufeinander senkrechten Ebenen, eine senkrecht auf OZ (Kreisschnitt), eine parallel den Axen OZ, OX; einschliesslich des Stativs	28.—
3. Indexfläche positiver einaxiger Krystalle, Rotationsellipsoid um die grösste Axe, montirt auf 3 Axen wie Nr. 2; durchschnitten nach 3 Ebenen, eine senkrecht zur Rotationsaxe (Kreisschnitt), die beiden anderen durch eine der beiden anderen Axen und mit dem Kreisschnitt Winkel von ca. 40° bzw. ca. 75° bildend; einschliesslich des Stativs	36.—
4. Indexfläche zweiaxiger Krystalle; Ellipsoid mit 3 ungleichen aufeinander senkrechten Axen OX, OY, OZ, durchschnitten nach den 3 Hauptrichtungen (Axenebenen); einschliesslich des Stativs	38.—
5. Desgl., durchschnitten nach 3 Ebenen, eine parallel OX, OZ, die bei den anderen gehen durch OX und bilden mit der ersten die Winkel von ca. 45° bzw. 72° ; einschliesslich des Stativs	40.—
6. Desgl., aber mit anderen Axenwerthen, durchschnitten nach den zwei Kreisschnitten; einschliesslich des Stativs	36.—
7. Desgl., durchschnitten nach 2 beliebigen Ebenen; einschliessl. des Stativs	32.—
8. Desgl., durchschnitten nach einem Kreisschnitt unter ca. 45° . Dieses Ellipsoid liegt auf einem besonders construirten Stativ, welches eine Orientirung nach allen möglichen Richtungen zulässt; es soll dazu dienen, die verschiedenen Orientirung der Indexflächen in rhombischen, monoklinen und triklinen Krystallen zu zeigen; einschliessl. des Stativs	70.—

NN. Models of the optical indicatrix

to illustrate the theory of double refraction and the optical properties of crystals.

According to Prof. Dr. L. Duparc.

The models are constructed of solid pear-tree-wood, size about 20 cm and mounted on 3 perpendicular axes of metal, and fixed on special stand. They are cut parallel to several differently orientated planes, suited for different purposes, so that one might easily recognize the laws of the propagation of the waves in different directions.

1. Indicatrix of the regular System (Sphere), mounted on 3 equal axes and cut by three planes perpendicular on one another	M 36.—
2. Indicatrix of negat uniaxial crystals, ellipsoid, axis of rotation np; mounted on three perpendicular axis, two of which are equal to one another (ng); cut by two planes, the one perpendicular on the axis of rotation, the other parallel np, ng	28.—
3. Indicatrix of posit uniaxial crystals, ellipsoid, axis of rotation ng, mounted like No. 2, cut by three planes, the one perpendicular on the axis of rotation, the two others passing through np and inclined towards the first under about 40° and 75° resp.	36.—
4. Indicatrix of biaxial crystals, triaxial ellipsoid, cut by the three axial planes	38.—
5. Id. cut by three planes; one parallel nm, np; the two other passing through np and forming angles with the first plane of about 45° and 72° resp.	40.—
6. Id. nm, ng, np being different from those of No. 5 cut by the two spherical sections	36.—
7. Id. cut by two irregular planes	32.—
8. Id. cut by one spherical section under about 45° mounted on a special stand, in order to illustrate the different orientation of the indicatrix of orthorhombic, monoclinic and triclinic crystals	70.—

NN. Ellipsoïdes optiques inverses pour l'explication de la théorie de la double réfraction et des propriétés optiques des cristaux
par le prof. Dr. L. Duparc.

Cette collection comprend une série de surfaces en bois, d'une dimension de 20 centimètres environ, montées sur axes de métal. Ces ellipsoïdes sont des surfaces mathématiques démontables, coupées selon certains plans convenablement orientés, ce qui permet d'établir les lois de la propagation selon différents rayons vecteurs. Cette série est composée comme suit:

Système cubique

1. Sphère du système cubique, coupée par 3 plans perpendiculaires, et montée sur 3 axes égaux	M 36.—
Cristaux à 1 axe optique	
2. Ellipsoïde de révolution autour de np (cristal négatif). La surface est montée sur 3 axes perpendiculaires, dont deux égaux. Elle est coupée par 2 plans perpendiculaires entre eux, l'un de ces plans est perpendiculaire à np (section cyclique), l'autre est parallèle à ng, np	28.—
3. Ellipsoïde de révolution autour de ng (cristal positif). La surface est montée sur les axes ng et np; elle est coupée par 3 plans; l'un, équatorial, perpendiculaire à ng (section cyclique), les deux autres passent par np et sont successivement avec la section cyclique des angles de 40° et de 75 degrés environ	36.—
Cristaux à 2 axes optiques	
4. Ellipsoïde à 3 axes inégaux, ng, np, nm; monté sur les 3 axes en question. L'ellipsoïde est coupé selon les 3 plans principaux ng, np; ng, nm; np, nm	38.—
5. Ellipsoïde à 3 axes inégaux, identique aux premier, mais coupé par 3 plans. Le premier, parallèle à nm, np; les deux autres passant par np et faisant avec le premier des angles de 45° et de 72 degrés environ	40.—
6. Ellipsoïde à 3 axes, ng, nm, np différents des précédents, coupé selon deux plans passant par nm, qui sont les deux sections cycliques	36.—
7. Ellipsoïde à 3 axes inégaux ng, np, nm; coupé selon 2 plans quelconques	32.—
8. Ellipsoïde à 3 axes inégaux ng, np, nm; avec une section cyclique voisine de 45° . Cet ellipsoïde est monté sur un support spécial, qui permet de l'orienter dans toutes les positions possibles	70.—

Sammlung von 8 Modellen nach vorstehender Aufstellung:

Collection of 8 models according to the above arrangement:

Collection de 8 modèles d'après l'arrangement précédent:

Mit den dazu gehörigen Stativen = Nr. 48 M 300.—

OO. Strahlenflächenmodelle

in Messingdraht auf lackirten gusseisernen Stativen; bestimmt zur Demonstration in Vorlesungen.

Durchmesser ohne Stativ ca. 50 cm. Ausserdem werden auch solche in halber Grösse auf Holzstativ geliefert.

Nach Angaben von Professor Dr. P. Groth.

OO. Models of the surfaces of the optic waves made of brass-wire on varnished iron-stands, suited for the demonstration in lecture-rooms.

Diameter — without stand — about 50 cm.

Also such of half the size are provided on wooden stands.

According to the directions given by Prof. Dr. P. Groth.

OO. Modèles des surfaces d'ondes;
fabriqués en fils de cuivre, montés sur des supports de fer de fonte vernis;
pour la démonstration dans les cours.

Diamètre, sans support, ca. 50 cm.

Nous offrons aussi ces modèles du diamètre de ca. 25 cm sur des support de bois.
Arrangée d'après l'instruction du Prof. Dr. P. Groth.

	Durchmesser	50 cm	25 cm	
a. Strahlenfläche der einaxigen negativen Krystalle	\mathcal{M} 30.—	\mathcal{M} 15.—*		
b. " " positiven "	30.—	15.—		
c. " " zweiaxigen Krystalle	84.—	58.—		
d. " monokl. Krystalle für Roth, Gelb und Blau durch die Haupt schnittkurven dargestellt zur Demonstration der geneigten Dispersion	72.—	54.—		
e. Desgl. " horizontalen und der gekreuzten Dispersion	72.—	54.—		
f. " zur Demonstration der Dispersion eines tri- klinen Krystalles	72.—	54.—		

Sammlung von 6 Modellen nach vorstehender Aufstellung:

Collection of 6 models according to the above arrangement:

Collection de 6 modèles d'après l'arrangement précédent:

Durchmesser 50 cm = Nr. 49	\mathcal{M} 350.—
" 25 " = " 50	240.—

PP. Axenkreuze.

Systems of crystallographic axes.

Systèmes d'axes cristallographiques.

A. Aus Holz.

Sechs Axenkreuze von Holz zur Darstellung der Axenrichtungen in den sieben
Krystalsystemen:

Höhe 25 cm	\mathcal{M} 12.—
" 50 "	17.50

B. Aus Metall.

Axenkreuze der sieben Krystalsysteme mit Durchbohrungen zum Einziehen
farbiger Seidenfäden auf lackirten, gusseisernen Stativen.

Durchschnittshöhe (ohne Stativ) ca. 50 cm \mathcal{M} 80.—

QQ. Krystallmodellhalter.

Aus starkem Messingdraht auf schwarzlackirten gedrehten Füssen werden zum
Gebrauch für Modelle aus Tafelglas und Pappe Modellhalter in fünf verschiedenen
Formen, den verschiedenen Formen der Modelle sich anpassend, geliefert.

QQ. Stands for crystal models
made of strong brass-wire, on black polished turned stands; in five different shapes,
to suit the different forms of models.

QQ. Supports pour les modèles de cristaux
fabriqués en fils de cuivre fort, avec des pieds tournés noirs polis; en cinq sortes
différentes, s'ajustant aux formes des modèles.

Ein Sortiment von 10 Stück	\mathcal{M} 15.—
" " 15 "	35.—
" " 100 "	120.—

*) Diese Preise sind nach der neuerdings eingetretenen Preiserhöhung dieser
Modelle festgesetzt worden.

V. APPARATE für krystallographische Untersuchungen.

Apparatus for crystallographic enquiries.

Appareils pour l'étude de la crystallographie.

RR. Goniometer, Polarisations- und Axenwinkel- apparate etc.

I. Anlege-Goniometer.

1. Anlege-Goniometer aus Messing nach Hirschwald, zum
Messen von Holzkrystallmodellen \mathcal{M} 2.50
2. Anlege-Goniometer mit Stahlschenkeln, in Grade getheilt, in
elegantem Etui 18.—
3. Anlege-Goniometer mit festen Stahlschenkeln in elegantem Etui 35.—
4. Grösseres Anlege-Goniometer, bestehend aus einem in $1/2$ ° ge-
theilten zusammenklappbaren Halbkreis von 12 cm Durchmesser. Stählerne
Krystalscheere mit dem Mittelsteg des Halbkreises schieb- und drehbar
verbunden; in elegantem Etui 55.—
5. Zweikreisiges Anlege-Goniometer nach V. Goldschmidt, in
Grade getheilt (vergl. Zeitschrift für Krystallogr. 1895, Bd. XII, 300) 32.—
6. Projections-Anlege-Goniometer nach Goldschmidt 140.—

II. Reflexions-Goniometer.

1. Reflexions-Goniometer nach Wollaston, auf schwerem Me-
tallfuss, mit Fernrohr, Nonius Minute angebend 200.—
2. Reflexions-Goniometer mit horizontalem in $1/2$ Grade getheiltem
Kreis. 2 Nonien geben 1 Minute an, Centrir-Vorrichtung, Fernrohr mit
1 Ocular, Collimator mit Webskyschem Spalt 260.—
3. Reflexions-Goniometer mit Spectrometer, auf Dreifuss mit Stell-
schrauben. Der silberne verdeckte Limbus von 15 : 15 Minuten getheilt;
Alhidade mit 2 Nonien, 30 Sekunden angebend. Theilung des Limbus und
der Nonien in einer Ebene. Beobachtungsfernrohr mit der Alhidade be-
weglich und feststellbar. Spaltcollimator fest. 4 verschiedene Oculare und
4 Lichtsignale, Feinstellschraube an der Axe des Krystallträgers 710.—
4. Universal-(Theodolit-)Goniometer (von R. Fuess), Horizontal-
und Vertikal-Kreis ca. 10 cm Durchmesser. Eintheilung $1/2$ Grade; je 2 No-
nien geben Minuten an. Für die Signalgebung kommt die Methode der
Autocollimation zur Anwendung. 4 Signale auf Revolverscheibe zum ra-
schen und bequemen Umwechseln während der Beobachtung. Fernrohr
durch Zahn und Trieb beweglich. Fadenkreuz in Ocular durch eine
Schraube mit vorstehendem gerändertem Kopf justierbar. Vor dem Ob-
jectiv des Fernrohres befindet sich ein Zangenobjectivwechsler, um durch
Anklemmen eines der schwächeren Objective das Fernrohr in ein Mikroskop
umzuwandeln; dadurch sind für die Beobachtung von Flächen stärkere
Vergrösserungen zu erzielen, wie dies mit der ausserdem angebrachten
Vorschlaglupe möglich ist. In ein gewöhnliches Goniometer mit horizon-
talem Limbus kann das Universalgoniometer umgewandelt werden, indem
die anklemmbare Centrir- und Justirvorrichtung an die in vertikaler Rich-
tung verstellbare Führungsstange des Horizontalkreises gebracht wird.
Die Verschiebung des Centrir- und Justirapparates in der Richtung der
Kreisachsen geschieht mittelst stark steigender Schraube 750.—

5. Dasselbe Instrument mit verdecktem ca. 15 cm grossen und in $\frac{1}{4}$ Grade getheiltem Silber-Limbus, Alhidade mit 2 Nonien, 30 Sekunden angebend	M 950.—
6. Goniometerlampe für Auer'sche Glühkörper eingerichtet, nach V. Goldschmidt (vergl. Zeitschr. für Krystallogr. XXIII, 149)	50.—
V. Goldschmidt (vergl. Zeitschr. für Krystallogr. XXIII, 149)	

III. Polarisations- und Axenwinkelapparate.

1. Grosser Axenwinkelapparat für homogenes Licht (von R. Fuess). Silberner verdeckter Limbus, 2 Nonien, 30 Sekunden angebend. Vollkommene Centrir- und Justirvorrichtung mit Schrauben. Erhitzungsapparat mit Thermometern; auch zur Erwärmung eines Oelbades eingerichtet. Zwei Taben für mehr oder weniger convergentes Licht. Hülfs-collimator mit Lichtsignal für die Justirung der Krystallplatten. Spectroskop mit aufsetzbarem Nicol (vergl. Liebisch, Physikal. Krystallogr. p. 489, Fig. 271)	790.—
2. Grosser Axenwinkelapparat, Kreis 15 cm Durchmesser, 2 Nonien (Minuten angebend), mit grossen Nicolschen Prismen, Oelgefassen und Erhitzungsapparat. Bewegung der optischen Theile durch Trieb, Justier-einrichtung durch Cylinderschlitten und Schrauben, wie an den Goniometern. Vorrichtung zur Bestimmung der Circularpolarisation	480.—
3. Dasselbe Instrument, vereinfacht	250.—

4. Universal-Apparat für Krystallographisch-optische Unter-suchungen (von R. Fuess), wesentlich verbessert und vervollständigt. Goniometrischer Theil von dem Habitus der Goniometer 2 und 3 (siehe oben), mit offenem ca. 15 cm grossen und in $\frac{1}{3}$ Grade getheiltem Kreise. Feinstellung des Theilkreises mittelst Mikrometerschraube. Centrier- und Justiereinrichtung mit sehr ausgiebigen Schlittenbewegungen. Fernrohr mit 1 Ocular, Collimator mit Webskyschem Spalt. Für den Gebrauch des Instrumentes als Axenwinkelapparat wird der Centrier- und Justierapparat an das untere, dafür eingerichtete Ende einer in vertikaler Richtung verstellbaren Stange geklemmt. Das gewöhnliche Krystalltischen wird durch eine Pincette, welche zum Festhalten der Krystallplättchen dient, ersetzt:	
a. Senkrechtes Polarisationsinstrument, mit sehr grossem Ge-sichtsfeld, für paralleles und convergentes Licht nebst Stauroskop mit Calderonscher Calcitdoppelplatte und Klocken empfindlicher Gypsplatte	320.—
b. Stativ mit Säulen, in welches die optischen Theile des senkrechten Polarisationsinstrumentes passen, nebst komplettem goniometri- schen Obertheil. Einrichtung zur Bestimmung der Circularpolarisation	400.—
c. Erhitzungsapparat mit 2 Thermometern	45.—
d. 2 Oelgefasse verschiedener Grösse mit halbkreisförmigen Aus- schnitten und Spiegelglaswänden à 10 M.	20.—
e. Quarzkeil und Viertelundulationsglimmerplatte	20.—
Zusammen	M 805.—

5. Kleines senkrechtes Polarisations Instrument mit Stauroskop nach Calderon, mit Irisblende	190.—
6. Dasselbe ohne Stauroskop	165.—
7. Selbstständiges Stauroskop nach Calderon	100.—
8. Polarisations-Apparat nach Nürnberg, in eleganter Aus- führung von Messing, mit Nicol, aussziehbarem Tisch mit Nonius etc.	140.—
9. Derselbe Apparat mit Goniometer	160.—
10. Stauroskop nach Brezina	110.—
11. Dichroskop mit der Verbesserung von V. von Lang (Groth: Physikal. Krystallogr. pag. 154), in elegantein Etui	15.—
12. Turmalinzangen je nach Grösse und Reinheit der Turmaline in drei verschiedenen Qualitäten:	
Nr. 1 kleine Turmalinzange	9.—
" 2 mittlere	15.—
" 3 grosse	35.—

IV. Totalreflectometer.

1. Totalreflectometer nach Liebisch, an Stelle der Centrir- und Justirvorrichtung auf das Goniometer aufsetzbar (vergl. Zeitsehr. für Instrumentenkunde 1885, S. 13; Groth, Physikal. Krystallographie III. Aufl. Fig. 650 S. 672)	M 270.—
2. Dasselbe nach Liebisch: einfacheres Instrument, auf den Centrikopf des Goniometers zu befestigen (vergl. Groth, Phys. Kryst. III. Aufl. Fig. 646 S. 667)	120.—
3. Dasselbe auf einem Dreifuss mit festem Kreis und zwei gegenüberliegenden Nonientheilungen (vergl. Groth a. a. O. Fig. 649 pag. 671)	280.—
4. Dasselbe nach Pulfrich, ein Universal-Instrument für Krystalloptik, Fernrohrkreis in $1\frac{1}{2}^{\circ}$ getheilt; 2 Nonien geben direct eine Minute an (vergl. Groth a. a. O. Fig. 652 S. 676)	340.—
Glascylinder, Brechbarkeit 1,61, mit Fassung, Corrections- vorrichtung und Vergleichsprisma	110.—
Geradsichtiges Spectroscop zum Total-Reflectometer	55.—
5. Refractometer für Krystalluntersuchungen (Brechbarkeit des Prismas 1,74). Die mit einem Cardanischen Ringsystem versehene Vertikalkaxe mit Horizontalkreis gestattet, die auf der Prismenfläche ruhende Krystallplatte um einen messbaren Winkel zu drehen	300.—
6. Grosses Refractometer nach Abbe. Doppelprisma aus stark brechendem Flintglas auf einem getheilten Sector drehbar, der ein Beobachtungsfernrohr trägt und mit diesem um eine horizontale Axe umlegbar, auf schwerem Messingfuss ruht. Anwendbar für Brechungsindizes zwischen 1,30 und 1,65. Mit Gebrauchsanweisung in Etui (vergl. Groth a. a. O. Fig. 654 S. 678)	230.—

SS. Luppen.

1. Grosse Stativlupe mit schwerem Messingfuss und langem doppel-gelenkigem Arm; 2 Linsen, Vergrösserung 3- und 6-fach	18.—
2. Kleine Stativlupe in derselben Einrichtung; 2 Linsen, Vergrösserung 3- und 6-fach	10.50
3. Neue Demonstrationslupe mit Hartgummitisch und Object-klemmen zum Festhalten des Präparates und beweglichem Lupenarm, Vergrösserung nach Wahl 10-, 14- oder 20-fach	18.—
4. Achromatische Lupe in Messingfassung mit einer 3fachen achromatischen Cylinderlinse, aus 1 Crown- und 2 Flintglaslinsen zusammengesetzt, von sehr starker Vergrösserung	18.—
5. Achromatische Lupen in Hornschalen zum Einschlagen, 17 mm Durchmesser	
a) mit zwei Linsen	8.—
b) mit drei Linsen	12.—
6. Coddington-Lupe *) mit einer besonders scharfen Cylinderlinse und mit eingeschliffener Blende	4.50
10 Stück	42.—
7. Lupe mit Schalen zum Einschlagen und Blende mit 2 Con- vexlinsen	
a) in Horn 25 mm Durchmesser	2.75
b) " 20 "	2.75
8. Dieselbe Lupe mit 3 Convexlinsen	
a) in Horn 25 mm Durchmesser	3.50
b) " 20 "	3.—

*) In vielen mineralogischen Universitäts-Instituten bei den Uebungen der Praktikanten eingeführt.

Bezüglich aller anderen zur Krystalluntersuchung dienenden Instrumente und Utensilien wird auf den soeben erschienenen Katalog 1a, siebente Auflage, über Mineralien, Mineralpräparate, mineralogische Apparate und Utensilien verwiesen.

Bonn, im April 1900.

*Dr. F. Krantz,
Rheinisches Mineralien-Contor.*

Scheiben für Steinschneidemaschinen

nach einer neuen Methode mit Diamant besetzt und von ausserordentlicher Leistungsfähigkeit.

Mit diesen Scheiben lassen sich etwa 2000 cm Gesteinsfläche schneiden, was für ca. 400—500 Dünn schliffe ausreicht. Weitere Vortheile sind die Schnelligkeit, mit der die Scheibe arbeitet, und der sehr geringe Verlust des unter Umständen kostbaren Materials.

Preis einer fertig besetzten Scheibe ₣ 12.—
„ von 6 fertig besetzten Scheiben „ 65.—

INHALTSVERZEICHNIS.

	Seite
I. Krystallmodelle in Holz.	
A. Sammlung von 30 Krystallmodellen	5
B. „ 50 (mit besonderer Berücksichtigung des mineralogischen Unterrichts auf höheren Schulen zusammengestellt)	6
C. Sammlung von 80 Krystallmodellen (enthaltend die holozödrischen, hemiödrischen und tetartoödrischen Formen; nach C. Hintze)	8
D. Sammlung von 150 Krystallmodellen, nach C. Hintze	12
E. „ 56 von Verzerrten und Pseudosymmetrischen Krystallen, nach J. Hirschwald	13
F. Systematisch-Krystallographische Sammlung von 396 Modellen, nach P. Groth	15
G. Systematisch-Krystallographische Sammlung von 88 colorirten Modellen. Zur Ableitung der hemiödrischen und tetartoödrischen Formen nach P. Groth	16
H. Mineralogisch-Krystallographische Sammlung von 743 Modellen krystalisirter Mineralien nach P. Groth	19
I. Mineralogisch-Krystallographische Sammlung von 213 Modellen; Supplement zu H: nach P. Groth	20
K. Petrographisch-Krystallographische Sammlung von 100 Krystall-Modellen gesteinbildender Mineralien, nach H. Rosenbusch	20
L. Sammlung von 10 Modellen der Krystalle des Calciumoxalates in Pflanzen	23
II. Krystallmodelle in Glas.	
M. Sammlung von 15 Glaskrystallmodellen der wichtigsten Grundformen	24
N. „ 30 „ der einfachen Grundformen	25
O. „ 34 „ der hemiödrischen und tetartoödrischen Formen	26
P. Sammlung von 64 Glaskrystallmodellen enthaltend die Sammlungen N. u. O.	29
Q. „ 60 „ von Combinationen etc. nach K. Busz	29
R. Kleinere Sammlung von 36 Glaskrystallmodellen von Combinationen etc. nach K. Busz	33
S. Grosse Sammlung von 135 Glaskrystallmodellen	34
T. Sammlung von 102 Glaskrystallmodellen der Formen der 30 bisher beobachteten Krystallklassen, nach H. Baumhauer	40
U. Systematisch-Krystallographische Sammlung von 81 Glasmodellen nach J. Beckenkamp	41
V. Sammlung von 50 Glasmodellen von einfachen Krystallcombinationen mit einfachen Axen	47
W. Grössere Lehrsammlung von 126 Glaskrystallmodellen	50
X. Sammlung von 10 Glasmodellen der wichtigsten Durchkreuzungswillinge	50
Y. Sammlung von 7 Glas-Krystallmodellen nach M. Mallard	51
Z. Sammlung von 58 Glaskrystallmodellen mit eingezogenen Symmetriachsen nach Th. Liebisch	51
AA. Sammlung von 20 Glasmodellen doppeltbrechender Krystalle mit eingezogenen opt. Elasticitätsachsen etc. nach U. Grubenmann	52
BB. Sammlung von 3 Glaskrystallmodellen zur Veranschaulichung der Dispersion	54
CC. Sammlung von 70 Glaskrystallmodellen aus massivem Krystallglas	55

III. Krystallmodelle aus Pappe.	Seite
DD. Sammlung von 250 Krystallmodellen aus Pappe, nach K. Vrba	58
EE. Kleinere Sammlung von 100 Krystallmodellen aus Pappe, nach K. Vrba	59
FF. Sammlung von 115 Krystallmodellen aus Pappe, nach J. Beckenkamp	62
IV. Verschiedene Krystallographische Modelle.	
GG. Modell zur Erläuterung der Kugelprojection, nach H. Lenk	67
HH. Colorirte Gummibälle zur Erläuterung der sphärischen Projection, nach J. Beckenkamp	69
II. Neue Axenmodelle zur Demonstration der Symmetrieverhältnisse nach H. Baumhauer	70
KK. Gypsummodelle der optischen Wellenflächen der Krystalle	71
LL. Holzmodelle der optischen Indexflächen, nach P. Groth	72
MM. Colorirte Wellenoberflächenmodelle aus Gyps, nach L. Duparc	72
NN. Modelle der Indexflächen, zur Erklärung der Theorie der Doppelbrechung, nach L. Duparc	73
OO. Strahlendurchflächenmodelle aus Messingdraht, nach P. Groth	75
PP. Axenkreuze aus Holz und Metall	76
QQ. Krystallmodellhalter	76
V. Apparate für Krystallographische Untersuchungen.	
RR. Goniometer, Polarisations- und Axenwinkelapparate etc.	77
Scheiben für Steinschneidemaschinen	80

CONTENTS.

I. Crystal-Models of Wood.

A. Collection of 30 Crystal-Models	5
B. " 50 " (selected for the teaching in public schools)	6
C. " 80 containing the holohedral, hemihedral and tetartohedral forms; according to C. Hintze	8
D. Collection of 150 Crystal-Models, according to C. Hintze	12
E. " 56 models of distorted and pseudosymmetrical crystals, according to J. Hirschwald	13
F. Systematic-Crystallographical collection of 396 models, according to P. Groth	15
G. Systematic-Crystallographical collection of 88 coloured models, illustrating the derivation of the hemihedral and tetartohedral forms, according to P. Groth	16
H. Mineralogical-crystallographical collection of 743 models of crystallized minerals, according to P. Groth	19
I. Mineralogical-crystallographical collection of 213 models, being a supplement to collection H.	20
K. Petrographic-crystallographical collection of 100 crystal models of the rock-forming minerals, according to H. Rosenbusch	20
L. Collection of 10 crystal models of the calciumoxalate in plants	23

II. Glass-Crystal Models.

M. Collection of 15 Glass-models of the most important fundamental forms	24
N. " 30 " simple	25
O. " 34 " hemihedral and tetartohedral "	26
P. " 64 " containing collection N and O	29
Q. " 60 " combinations etc. according to K. Busz	29
R. Collection of 36 Glassmodels of combinations etc. according to K. Busz	33

S. Large Collection of 135 Glassmodels	Seite
T. Collection of 102 Glassmodels, containing the forms of the 30 hitherto observed classes of crystals, according to H. Baumhauer	40
U. Systematic-crystallographical collection of 81 Glassmodels, according to J. Beckenkamp	41
V. Collection of 50 Glassmodels of simple combinations, with crystallographic axes	42
W. Collection of 126 Glassmodels	50
X. " 10 " of Penetration twins	50
Y. " 7 " according to M. Mallard	51
Z. Collection of 58 glass-models with the different axes of symmetry, according to Th. Liebisch	51
AA. Collection of 20 glass-models of biaxial crystals, according to U. Grubenmann	52
BB. Collection of 3 glass-models for the demonstration of the dispersion of light	54
CC. Collection of 70 crystal-models of solid glass	55

III. Crystal-Models of Card-board.

DD. Collection of 250 Crystal-models, according to K. Vrba	58
EE. Smaller collection of 100 crystal-models, according to K. Vrba	59
FF. Collection of 115 crystal-models, according to J. Beckenkamp	62

IV. Divers crystallographical models.

GG. Model for the demonstration of the spheric projection, according to H. Lenk	67
HH. Coloured rubber balls for the same purpose, according to J. Beckenkamp	69
II. New crystallographic models for the demonstration of the symmetry of crystals according to H. Baumhauer	70
KK. Gypsum models of the surfaces of the optic waves in double refracting crystals	71
LL. Models of the optical indicatrix, according to P. Groth	72
MM. Coloured Gypsum models of the surfaces of the optic waves, according to L. Duparc	72
NN. Models of the optical indicatrix, according to L. Duparc	73
OO. Models of the surface of the optic waves, made of brass-wire, according to P. Groth	75
PP. Systems of crystallographic axes	76
QQ. Stands for crystal-models	76

V. Apparatus for crystallographic enquiries.

RR. Goniometer, Refractometer etc. etc.	77
Diamond-set saws for stone-cutting engines	80

CONTENU.

I. Modèles de cristaux en bois.

A. Collection de 30 modèles de cristaux	5
B. " 50 " (pour l'instruction dans les écoles secondaires)	6
C. Collection de 80 modèles de cristaux (comprenant les formes holoédriques, hémédriques et tetartoédriques, d'après C. Hintze)	8
D. Collection de 150 modèles de cristaux, d'après C. Hintze	12
E. " 56 " défigurés et pseudosymétriques d'après J. Hirschwald	13

	Seite
F. Collection cristallographique systématique de 396 modèles, d'après P. Groth	15
G. Collection cristallographique systématique de 88 modèles en bois colorés d'après P. Groth	16
H. Collection crystallographique minéralogique de 743 modèles, comprenant des cristaux typiques des minéraux cristallisés, d'après P. Groth	19
I. Collection cristallographique minéralogique de 213 modèles; supplément de la collection précédente; d'après P. Groth	20
K. Collection cristallographique pétrographique de 100 modèles des minéraux des roches, d'après H. Rosenbusch	20
L. Collection de 10 modèles des cristaux de l'oxalate de calcium	24
II. Modèles de cristaux en verre.	
M. Collection de 15 modèles des formes fondamentales	24
N. " 30 " " hémédriques et tétaoédriques	25
O. " 34 " " hémédriques et tétaoédriques	26
P. " 60 " pour la démonstration des combinaisons, d'après K. Busz	29
R. Collection de 36 modèles pour la démonstration des combinaisons, d'après K. Busz	33
S. Grande collection de 135 modèles	34
T. Collection des 102 modèles des 30 classes de cristaux, observées dans la nature, d'après H. Baumhauer	40
U. Collection systématique cristallographique de 81 modèles, d'après J. Beckenkamp	41
V. Collection de 50 modèles de simple combinaisons	47
W. Grande collection de 126 modèles	50
X. Collection de 10 modèles des macles en croix, les plus importants	50
Y. Disposition des éléments de symétrie dans les 7 systèmes, d'après M. Mallard	51
Z. Collection de 58 modèles avec les axes de symétrie d'après Th. Liebisch	51
AA. Collection de 20 modèles de cristaux à deux axes optiques, d'après U. Grubenmann	53
BB. Collection de 3 modèles pour la démonstration de la dispersion	54
CC. " 70 modèles de cristaux en strass	55
III. Modèles de cristaux en papier cartonné.	
DD. Collection de 250 modèles, d'après K. Vrba	58
EE. " plus petite de 100 modèles	59
FF. " de 115 modèles, pour la démonstration des formes hémédriques et tétaoédriques, d'après J. Beckenkamp	62
IV. Divers modèles cristallographiques.	
GG. Modèle pour la démonstration de la projection sphérique d'après H. Lenk	67
HH. Balle de gomme élastique pour la démonstration de la projection sphérique, d'après J. Beckenkamp	69
II. Nouveaux modèles cristallographiques, pour la démonstration des propriétés symétriques des cristaux, d'après H. Baumhauer	71
KK. Modèles en plâtre des surfaces des ondes optiques dans les cristaux bérénfringents	71
LL. Ellipsoïdes d'élasticité d'après P. Groth	72
MM. Surfaces de l'onde d'après L. Duparc	73
NN. Ellipsoïdes optiques inverses, d'après L. Duparc	75
OO. Modèles des surfaces d'onde en fils de cuivre, d'après P. Groth	76
PP. Systèmes d'axes cristallographiques	76
AA. Supports pour les modèles de cristaux	76
V. Appareils pour l'étude de la cristallographie.	
RR. Goniomètres, Réfractomètres etc. etc.	77
Nouvelle scie pour des machines à couper les roches	80

Gustav Fischer, Verlagsbuchhandlung, Jena.

Grundriss der Krystallographie.

Für Studierende und zum Selbstunterricht

von

Dr. Gottlob Linck,

o. ö. Professor der Mineralogie an der Universität Jena.

Mit 482 Originalfiguren im Text und 2 farbigen Tafeln.

Preis: brosch. 8. Mk., geb. 9 Mk.

Litterarisches Centralblatt vom 25. 7. 1896.

Das Gesamturteil über das Buch kann nur ein recht günstiges sein. Sowohl die Einleitung als die Schilderungen der Krystallklassen sind klar und anschaulich gehalten und die Vertiefung in den Gegenstand geht, wie auch in den physikalischen Kapiteln, gerade soweit, wie es der Zweck des Buches erheischt. Die Bezeichnungsweisen von Weiss, Naumann und Miller finden sich gleichmässig berücksichtigt. Indem das reguläre System anstatt des triklinen den Anfang macht, wird ohne Zweifel das Studium der Formen erheblich erleichtert. Dreierlei Vorzüge müssen noch besonders betont werden: die übersichtlichen tabellarischen Zusammenfassungen der Formen, die grosse Anzahl neu konstruirter trefflicher Figuren, die Beibehaltung der alther gebrachten Namen Pyramide, Sphenoïd, Hemipyramide anstatt der radikal ändernden Fedorowschen Nomenklatur. Wenn Bravais seiner Zeit über die sphenoidische Tetartödrie im tetragonalen System stolperte, so ist dies am Ende zu begreifen, weshalb auch dem Verfasser heute noch gewisse Bedenken gegen die Existenz derselben beikommen, ist nicht recht einzusehen. Der Begriff der zusammengesetzten oder mittelbaren Symmetrie kommt erst beim triklinen System gelegentlich zur Geltung und ist zur Charakterisierung früherer Klassen nicht verwertet. Die Zwillingsbildung reihen sich in praktischer Weise den einzelnen Systemen direkt an. In dem physikalischen Abschnitte wird, wie üblich, besonderes Gewicht auf die optischen Verhältnisse gelegt, die durchaus angemessene und instruktive Behandlung erfahren. Den Schluss bildet eine Verallgemeinerung der von Tutton und Muthmann erhaltenen Ergebnisse.

Science vom 19. Juni 1896.

... On the whole, the book is an excellent introduction to modern crystallography, it is certainly the best book of its kind published in any language ... In the hands of an instructor it should unquestionably serve a useful purpose and should make an excellent textbook.

Das geotektonische Problem

der
Glarner Alpen

von

A. Rothpletz.

Mit 11 lithogr. Tafeln und 34 Figuren im Text.

Text und Atlas Preis 36 Mk.

Neue geotektonische Modelle

construit von

Prof. Dr. Duparc in Genf.

Diese Modelle sind aus Gyps hergestellt und in der Weise geologisch kolorirt worden, dass man sowohl die Schichtenfolge auf dem Profil wie auf der Oberfläche verfolgen kann. Zu jedem Modell gehört eine Kappe, welche die Schichtenfolge im Relief und die Gebirgsoberfläche vor der Denudation wiedergiebt. Für die Construction dieser Reliefsmodelle hat man wohlbekannte Gebirge ausgewählt. Das natürliche Verhältniss der Höhen und Längen wurde eingehalten. Die Modellirung der Oberflächen ist bisweilen etwas idealisirt, lehnt sich aber in ihrer ganzen Erscheinung an die Wirklichkeit an.

Die Modelle sind ungefähr 40 cm lang, 20 cm hoch und 10 cm breit, nur ein Modell (die doppelte Glarnerfalte nach A. Heim) ist 98 cm lang, 22 cm hoch und 10 cm breit. Die ganze Sammlung besteht aus 8 Modellen und kostet Mk. 400.—

Dünnschliff-Sammlungen

für

praktische mikroskopische Übungen.

A. Im Anschluss an die nach dem Lehrbuche der Petrographie von H. Rosenbusch zusammengestellte Sammlung von 250 typischen massigen Gesteinen nebst Dünnschliffen und kurzer Beschreibung ist neuerdings eine

Ergänzungs-Sammlung von 50 Gesteinen und Dünnschliffen

hergerichtet worden, welche sich auf das neue Werk von H. Rosenbusch:

Elemente der Gesteinslehre (Stuttgart 1898)

gründet und welche die wichtigsten Typen der in diesem Werke beschriebenen krystallinen Schiefer und Sedimentärgesteine umfasst. Wie der Sammlung von 250 Gesteinen und Dünnschliffen, wird auch dieser eine gedruckte kurze Beschreibung beigelegt.

Preis der Sammlung von 50 Dünnschliffen in elegantem Etui Mk. 65.— mit den dazu gehörigen Handstücken im Format von $8\frac{1}{2} \times 11$ cm. Mk. 110.—

B. Durch Zugang einer grossen Anzahl neuer und interessanter Gesteinstypen, die in der früheren Sammlung von 250 Gesteinen und Dünnschliffen noch nicht aufgenommen werden konnten, erschien es zweckmässig ein

Supplement von 30 Gesteinen und Dünnschliffen

zu liefern. Dasselbe enthält fast nur seltene Gesteine (z. B. Pulaskit, Jacupirangit, Ijolith, Leucitsyenit, Leucitporphyr, Monchiquit etc. etc.) die aber bereits in dem Lehrbuche von H. Rosenbusch: Mikroskopische Physiographie der Gesteine, erwähnt und beschrieben sind.

Auch diesem Supplement wird eine ähnliche Beschreibung der makroskopischen und mikroskopischen Verhältnisse beigegeben.

Preis der Sammlung von 30 Dünnschliffen in elegantem Etui Mk. 40.— mit den dazu gehörigen Handstücken im Durchschnittsformat von $8\frac{1}{2} \times 11$ cm Mk. 95.—

NB. Die Verzeichnisse und Beschreibungen dieser beiden Sammlungen werden in kurzem erscheinen und auf Verlangen zugesandt.